

**Arbeitsprogramm der Projekt-Gruppe N.T.**  
~~xxxxxxxxxxxxxxxxxxxxxxxxxxxxxx~~

Sur Entwicklung eines Hochgeschwindigkeitsflugzeugs, das bei einer Geschwindigkeit von 2000-4000 km/h und einer Flugzeit von 3-5 Std. im 100 km Höhe bei einer Nutzlast von 1000-2000 kg eine Reichweite von 11 000 km besitzt, wird eine Entwurfsguppe gebildet, die nach wissenschaftlichen Gesichtspunkten Grundlagen- und Zweckforschung für das Projekt betreibt.

Sie gliedert sich in folgende Arbeitsgruppen:

**A) Wissenschaftliche Abteilung.**

**I. Gruppe: Theoretische Aerodynamik.**

- Untergruppen: 1. Stabilität  
                  2. Flugmechanik  
                  3. Flugeigenschaften  
                  4. Versuchsanlagen

**II. Gruppe: Theorie des Triebwerks:**

- Untergruppen: 1. Triebwerksgestaltung  
                  2. Treibstoff  
                  3. Werkstoffe

**III. Gruppe: Statik:**

- Untergruppen: 1. Festigkeitsrechnungen  
                  2. Konstruktionsentwicklung

**IV. Gruppe: Schwingungen.**

**V. Gruppe: Höhenphysik und Flugmedizin**

- Untergruppen: 1. Atmosphäre  
                  2. Strahlung  
                  3. Medizin

**VI. Gruppe: Bibliothek.**

**B) Konstruktions Abteilung.**

**I. Gruppe: Flugwerk.**

- Untergruppen: 1. Tragwerk  
                  2. Rumpf (Überdruckkabinen)  
                  3. Steuerung  
                  4. Ausrüstung (Meßgerüte)  
                  5. Fahrwerk  
                  6. Sicherheitsmaßnahmen

**II. Gruppe: Wissenschaftliche Forschungsanrichtungen.**

**C) Verwaltungs Abteilung.**

- 2 -

Als erstes Arbeitsprogramm für diese Gruppen ist vorgesehen:

a) Gruppe: Theoretische Aerodynamik.

I. Unterschall.

1. Entwicklung von Schnellflugprofilen für kleine Übergeschwindigkeiten zur Erzielung hoher unterkritischer Machzahlen. Ebenes Problem.
2. Einfluß der Streckung auf die kritische Machzahl.
3. Aufstellung von Rechenschemen zur raschen Durchführung von Druckverteilungsrechnungen an Profilen mit Einfluß der Streckung.
4. Entwicklung des Strömungsfeldes (Betrag und Richtung der Geschwindigkeiten) im Außenraum von Schnellflugprofilen für Tragflügel endlicher Streckung einschließlich Kompressibilitäteinfluß.
5. Die Berechnung der Übergeschwindigkeiten und kritischen Machzahlen bei positiv und negativ gefeilten Tragflügel großer und kleiner Streckung endlicher Dicke.
6. Berechnung des Auftriebs-, Widerstands- und Längsmoments im kritischen Machzahlbereich.
7. Verbesserung der bisher bekannten Methoden zur Berechnung des Kompressibilitäteinflusses. (Prandtl - Busemann - Göttert'sche Regel).
8. Stabilitätsrechnungen. Ermittlung der Neutralpunkt-Lage.
9. Formgebung und Druckverteilung von Ringkörpern wie Einlauf- und Fang-Diffusoren von Turbinen-Ladelufttriebwerken.
10. Ruderwirksamkeit bei hohen Machzahlen. Ruder- und Leitwerksgestaltung.
11. Entwürfe von Hochgeschwindigkeitsflugzeugen.
12. Flugleistungsberechnungen.
13. Flugmechanik und Flugeigenschaften bei hohen Machzahlen.
14. Das Problem des schiebenden Flügels mit Kompressibilitäteinfluß.
15. Einfluß der Reynolds-Zahl (Grenzschicht) auf die kritische Machzahl.

- 3 -

- 3 -

## II. Überschall.

Mittlere Bearbeitung der Punkte 1. bis 15.

16. Erforschung von Maßnahmen, den Wellenwiderstand bei Überschallgeschwindigkeit für vorgegebene Machzahlen ( $M > 1$ ) möglichst klein zu halten.

### a) Gruppe: Theorie des Triebwerks.

#### I. Triebwerksgestaltung.

1. Analyse vorhandener Triebwerke und ihrer Elemente nach a) Wirkungsgrad, b) maximal auftretender Temperatur (Kompressor-Engpass), c) Brennstoffenwand (Gewicht).
2. Thermodynamische Berechnung und Entwicklung neuer motorischer Arbeitsverfahren.
3. Bestimmung der optimalen Fluggeschwindigkeit, Fluggeschwindigkeit und Energie.
4. Entwicklung von Leistungsmöglichkeiten.
5. Entwicklung von Strömungsmethoden.
6. Gasdynamik.
7. Regelungsmechanik.

#### II. Treibstoff.

1. Systematische Zusammenstellung der charakteristischen Daten vorhandener Treibstoffe.
2. Versuch der Aufstellung einer Skala zwischen dem Extremen Brennstoff-Umluft.
3. Vertiefung der theoretischen Erforschung der physikalisch-chemisch-thermodynamischen Prozesse im Grenzbereich zwischen der Treibstoffchemie und der inneren Ballistik.
4. Berechnung des Klimes im Triebwerk.
5. Richtung von Treibstofftypen in Zusammenarbeit mit dem Triebwerkskonstrukteur, dem Werkstofftechniker und dem Treibstoffchemiker.
6. Planung von experimentellen Versuchsarbeiten.

- 4 -

- 4 -

III. Werkstoffe.

1. Zusammensetzung der für das vorliegende Projekt in Frage kommenden Konstruktionsbaustoffe und ihre Festigkeitseigenschaften.
2. Zusammensetzung der hitzebeständigen Werkstoffe:
  - (1) Metallische } Werkstoffe
  - (2) Keramische }
  - (3) Kritische Betrachtung dieser Werkstoffe mit Bezug auf das vorliegende Projekt.
3. Entwicklung hoch-hitzebeständiger Werkstoffe:
  - (1) Ermittlung der physikalisch-chemischen Bedingungen, unter denen die Werkstoffe im vorliegenden Projekt eingesetzt werden.
  - (2) Entwicklung metall-keramischer Werkstoffe, welche geeignet sind, den chemischen Angriffen der Abgase bei hohen Temperaturen standzuhalten.
4. Praktische Festigkeitsuntersuchungen an den zur Verwendung gelangenden Werkstoffen.

c) Gruppe: Statik.

1. Festigkeitsfragen der Statik um:
  - (1) Flugwerk
  - (2) Leitwerk
  - (3) Fahrwerk
  - (4) Höhenkammer
  - (5) Triebwerkseinheiten

im Hinblick auf die besonderen Beanspruchungen des vorliegenden Projektes (Landung, Böen, Stöße, Schwingungen).

d) Gruppe: Schwingungen.

1. Berechnung der kritischen Fluggeschwindigkeit.
2. Plattenrechnungen mit mehreren Freiheitsgraden.

e) Gruppe: Höhenphysik und Flugmedizin.

1. Darstellung der Atmosphäre nach Temperatur, Dicke und Luftsammensetzung.
2. Strahlungsforschung für große Höhen.
3. Flugmedizinische Probleme für den Höhenflug.

- 5 -

- 5 -

f) Gruppe: Bibliothek.

1. Wissenschaftliches Berichtswesen.
2. Übersetzungen.

g) Gruppe: Flugwerk.

1. Bauelementeforschung im Hinblick auf
  - a) Raumausnutzung
  - b) Gewicht
  - c) Materialverarbeitung und -Verformung.
2. Triebwerkseinbau in Flügel und Rumpf mit Berücksichtigung des Kühlens.
3. Entwicklung von Überdruckkabine mit besonderer Berücksichtigung:
  - a) des Klimas
  - b) der Strahlung und Temperatur.
4. Steuerungsentwicklung mit besonderer Berücksichtigung der Temperatur-Unterschiede.
5. Ausrüstung:
  - a) Flugüberwachungsgeräte
  - b) Triebwerksüberwachungsgeräte
  - c) Sondergeräte (Meßtechnik).
6. Fragen zu Start und Landung.
7. Fragen der Rettung aus der 100 km-Zone.

h) Gruppe: Wissenschaftliche Forschungseinrichtungen.

1. Konstruktion eines Überschallkanals für Machzahlen  $M = 5$ .
2. Versuchstand für Strahltriebwerke im Überschallkanal.
3. Meßgeräte für den Überschallflug.

- 6 -

**Next 6 Page(s) In Document Exempt**

Berlin-Karlshorst, den 3.2.1948.  
Döntzstrasse 9

Aktennotiz.

Es wurden folgende Änderungsmaßnahmen besprochen:

- 1.) Das Gerät soll gekürzt werden auf eine Lauflänge  $s = 100 \text{ m/m}$   
Daraus ergeben sich folgende Änderungen:

Maximale Laufgeschwindigkeit der Schlitten  
in x- und y - Richtung

$$\frac{da_x}{dt} = 5 \text{ mm/sec}$$

$$\frac{da_y}{dt} = 5 \text{ mm/sec}$$

Maximale Wegehöhen

$$a_x = 15 \text{ mm}$$

$$a_y = 15 \text{ mm}$$

- 2.) Die Anordnung der Schlitten bleibt grundsätzlich so wie  
bereits projiziert.

Um die genügende Annäherung des Schlitten-Drehpunktes an  
den Spiegel-Drehpunkt zu gewährleisten, ohne sich konstruk-  
tive Beschränkungen aufzuerlegen, wird ein gedachter Dreh-  
punkt verwandt. Der Spiegel sitzt unterhalb der Apparatur,  
der Stangenmittelpunkt liegt in einer Gabelkonstruktion.  
Die Endbegrenzung wird durch einen Schalter bewirkt. Der  
Drehpunkt des Spiegels soll ungefähr in der Tischebene  
liegen, da die gesamte Länge der Optik (Joergens) im aus-  
gefahrenen Zustand eine Baulänge von etwa 700 mm aufweist.  
Über die Abmessungen der Filmapparatur sind alle Daten  
hier bekannt.

- 2-
- 3.) Beziiglich des Längsantriebes des Schlittens ( in z-Achse ) wurde beschlossen, ein Getriebekasten zu verwenden, an dem der 25 Watt-Motor und zwei Selsine angeschlossen werden. Das Geschwindigkeitsverhältnis von Motor zur Hauptantriebswelle des Schlittens in z-Richtung soll etwa 1 : 3 sein. Die Selsine soll mit annähernd gleicher Drehzahl wie die Hauptwelle laufen. Ein Selsine-Modell schickt Dr.H. umgehend an Herrn Cxen.
- 4.) Zum Antrieb für die Drehrichtung wurde folgende Lösung gewählt:  
Der Antriebsmotor treibt ein Schneckenrad. Diese Schnecke treibt zwei Räder, deren Rotationsebenen um  $90^{\circ}$  versetzt sind. Jedes dieser Schneckenräder treibt ein Ritzel an. Das eine Ritzel treibt die Trommel der Spiegelapparatur, das andere den Drehmechanismus für die Optik an. Für den Antrieb der Optik wird dasselbe Rad verwendet, wie für die Trommel vorgesehen ist. Die Verbindung zwischen Landschaftsprojektor und Spiegelapparatur erfolgt entweder durch Seil oder Kette, wobei der Kettenlösung der Vorzug zu geben ist.
- 5.) Für die Spiegelapparatur wird ein Extra-Tisch gebaut. Dieser soll möglichst dieselbe Plattenhöhe haben wie der Schalttisch, obwohl diese Forderung keine technische Bedingung darstellt.

gez: Dr. Hilgers.

Der Antrieberregler 1.00. P. 10-2.01.00 ist bis zu 100% der Leistung der gleichen wie der Antrieberregler 1.00. P. 10-2.00. Die Schaltung des Antrieberreglers 1.00. P. 10-2.00 ist aus dem Stromaufbau (Blatt 1) zu erkennen. Der einzelne Antriebsmotor erhält eine eigene Steuerleitung Blatt 6 zu beobachten.

### a) Motorantrieb

#### a) Ankerspannung

Der Antrieberregler ist dabei lösbarer. Durch eine Regelsteuerung wird die Ankerspannung für den Motorantrieb auf 100. P. 10-2.01.00 gesteuert. Der Regler ist von der Steuerleitung 1.00. P. 10-2.00 abhängig. Die Impulsrate bleibt in einem Regalbereich annähernd konstant, je gegen ändert sich die Ankerspannung proportional der Fließspannungsumlage. Im Mittelpunkt liegt eine konstante Ankerspannung an der Maschine. Der Motor und damit die Ankerspannung von der Maschine ist von der Impulsrate unabhängig. Das Fahrzeug wird dabei nicht geschwungen. Am Ende des Regals liegt die Ankerspannung an 100. P. 10-2.00 abhängig.

#### b) Regelvorgang

Wird an die Steuereinheit der Motorsteller Kollektiv 10-2.00. In Mittelposition eines Regelspannungsregels. Wenn die Spannung mit wachsender Spannung in Richtung prozentualen Regals in der Steuereinheit so, dass der Strom der Maschinentesten Kollektiv erreicht, so schaltet der Kollektivschalter nach der Fließrichtung, von der Mittelposition auf. Wenn der Motor Kontakt zu der Kollektiv wird, so setzt der Steuerkreis ein die Steuereinheit HV über die Transistorzündung zur elektronischen Hilfseinheit, d.h. HV, welche mit stetiger Steuereinheit verbunden und auf die Zeitkronoskop des Motorantriebs eingestellt ist. Der Motorantrieb ist Gleichspannung mit 100. P. 10-2.00 das Antriebsdrehmoment ist, bei 100. P. 10-2.00. Der Motorantrieb ist auf 100. P. 10-2.00 abhängig.

- 2 -

### A. Aufbau des Antriebsreglers.

Der Antriebsregler 1.00.Pg 10-2.01.00 ist bis auf die Schaltung der gleiche wie der Antriebsregler 1.08-2.00.00. Die Schaltung des Antriebsreglers 1.00. Pg 10-2.01.00 ist aus dem Stromlaufplan (Blatt 1) zu ersuchen. Die einzelnen Bauelemente sind auf der Stückliste Blatt 2 zu nachschauen.

### B. Wirkungsweise.

#### a) Allgemeines.

Der Antriebsregler ist ein Impulslagegeber. Durch eine Relaisanordnung wird die volle Ankerspannung für den Gestellantriebsmotor impulsweise gegeben. Die Impulsfolge ist von der Größe der angelegten Eingangsregelspannung abhängig. Die Impulsdichte bleibt im ganzen Regelbereich annähernd konstant, dagegen ändert sich die Impulsbreite proportional der Eingangsregelspannung. Im Mittelwert liegt eine kleinere Ankerspannung am Gestellantriebsmotor und somit ist die Drehzahl von der Impulsbreite und von der Impulsfolge abhängig. Das Drehmoment wird dabei nicht geschwächt, denn bei jedem Impuls liegt die volle Ankerspannung am Gestellantriebsmotor.

#### b) Regelvorgang.

Wird an die Steuernute des polarisierten Relais RP mit Mittelposition eine Regelspannung gelegt, dann steigt mit wachsender Spannung und damit proportional der Strom in der Steuernute an. Hat der Strom den Umschaltwert des Relais erreicht, so schaltet der Relaisanker A, je nach der Stromrichtung, von der Mittelposition auf Kontakt Z bzw. Kontakt T um. Dabei wird ein zweiter Stromkreis, der über die Hilfrelais RH 1 bzw. RH 2 führt, geschaltet. Das betreffende Hilfrelais, z.B. RH 1, legt mit seinen Schaltkontakten  $rh_1^{I\bar{z}}$  und  $rh_1^{II}$  über zwei Drosseln den Anker des Gestellantriebsmotors an die 24 V Gleichspannung. Gleichzeitig wird die Kompensationswicklung, der parallel ein Kondensator geschaltet ist, an die 24 V-Gleichspannung gelegt.

- 3 -

Die Spannung am Kondensator steigt und damit proportional der Strom in der Kompensationswicklung nach einer Exponentialfunktion an. Durch einen Widerstand  $R_x$  kann die Zeitkonstante und der Maximalwert des Stromes verändert werden. (Siehe Stromlaufplan Blatt 1).

Ist der Strom in der Kompensationswicklung soweit angestiegen, dass die Erregung bis auf die Abfallerregung des polarisierten Relais RM kompensiert ist, dann fällt der Heizanker A ab, das Hilfrelais RM 1 wird stromlos, der Motoranker wird abgeschaltet und kurzgeschlossen. Der Kondensator entlädt sich und der Strom in der Kompensationswicklung nimmt nach einer Exponentialfunktion ab.

Ist der Strom in der Kompensationswicklung soweit abgefallen, dass die Erregung bis auf die Anzugserrregung des polarisierten Relais RP kompensiert ist, dann zieht der Heizanker A wieder an und beginnt von neuem.

Die geschilderten Vorgänge sind auf Blatt 2 graphisch dargestellt. Der Stromverlauf in der Kompensationswicklung bei eingeschaltetem Motoranker ist durch die Gleichung

~~Maximalstrom~~

$$J_1 = \frac{E}{R_x + R_1} (1 - e^{-\frac{t}{T}})$$

~~Maximalstrom~~

$$J_2 = \frac{E}{R_x + R_2} e^{\frac{t}{T}}$$

und bei kurzgeschlossenem Motoranker durch die Gleichung

~~Maximalstrom~~

$$J_1 = \frac{E}{R_x} (1 - e^{-\frac{t}{T}})$$

~~Maximalstrom~~

$$J_2 = \frac{E}{R_x} e^{\frac{t}{T}}$$

gegeben.

Die für den Steuervorgang wichtigen Umschaltzeiten  $t_1$  und  $t_2$  sind durch je zwei parallele Geraden gekennzeichnet und durch die Schnittpunkte der Kurven  $J_1$  und  $J_2$  gegeben.

Setzt man den Maximalstrom in der Kompensationswicklung  $J_1$  und den Maximalstrom in der Steuerwicklung auch gleich 1, so erkennt man, dass mit zunehmendem Steuерstrom das Umschaltzeitverhältnis  $t_1 : t_2$  sich ändert.

- 4 -

Mit zunehmendem Steuerstrom in der Steuerwicklung werden die beiden Gerades im gleichen Abstand parallel zur Absisse nach oben verschoben. Durch diese Verschiebung wird der Anstieg der Kurve  $J_1$  langsamer, während der Abfall der Kurve  $J_2$  an Steilheit zunimmt.

Wird der Steuerstrom in der Steuerwicklung = 1, so kann der Kompensationstrom nicht mehr zur Wirkung kommen. Der Relaisanker bleibt am Kontakt liegen und der Motor bekommt dauernd die volle Ankerspannung. (Siehe graphische Kurvendarstellung Blatt 2).

Die Regelwirkung beruht lediglich auf der Änderung der Umschaltzeitverhältnisse  $t_1 : t_2$ . Auf Blatt 4 ist die Impulszahl in Abhängigkeit vom Steuerstrom = 1 dargestellt. Die errechneten Werte der Impulse liegen etwas höher als die, die der praktische Versuch gezeigt hat. Das ist darauf zurückzuführen, weil bei der Berechnung der Kompensationströme  $J_1$  und  $J_2$  die Induktivität nicht berücksichtigt worden ist und die Schaltzeit der Hilfsrelais  $RH_1$  bzw.  $RH_2$  von 12 msec zu gering angenommen wurde.

### c) Messergebnisse

Der Strom in der Kompensationswicklung des Relais A wurde mit einem Schleifenoszillographen gemessen (siehe Blatt 5 und 6). Die Aufnahmen zeigen Anstieg und Abfall des Kompensationstromes bis zu den Umschaltpunkten des Relaisankers A.

Das Oszillogramm I, Blatt ... zeigt bei kleinem Steuerstrom ein schnelles Ansteigen des Kompensationstromes bis zum Umschaltpunkt des Relaisankers A, während der Abfall des Kompensationstromes langsam erfolgt.

Mit zunehmendem Steuerstrom (Oszillogramme II - V) wird der Anstieg des Kompensationstromes verlangsamt, während der Abfall des Kompensationstromes rascher erfolgt. Die aus den Aufnahmen entnommenen Werte  $t_1$  und  $t_2$  stimmen mit dem theoretischen Werte  $t_1$  und  $t_2$  gut überein.

- 5 -

Auf Blatt 7 u. 8 sind die Impulsströme bei eingeschalteten Motoranker bei verschiedenen Strömen in der Steuerspule der Relais RP mit dem Schleifenoszillographen aufgenommen worden, wobei bedeutet:

- ✓  $t_1$  = Impulsdauer
- ✗  $t_2$  = Schaltpause
- ✗  $t_3$  = Schaltzeit des Hilfrelais
- ✗  $t_4$  = Generatorimpuls bei kurzgeschlossenen Anker.

Auf Blatt 9 ist die Impulszahl in Abhängigkeit vom Steuerstrom graphisch dargestellt worden. Die Übereinstimmung mit der theoretischen Darstellung auf Blatt 4 ist annähernd gleich.

Auf Blatt 10 ist die Drehzahl an der Ausgangsschale des Gestellantriebemotors in Abhängigkeit vom Strom in der Steuerspule des Relais RP dargestellt. Der Drehzahlverlauf nimmt fast einen linearen Charakter an und genügt den gestellten Anforderungen.

2 - 6 -

Satz 18:

Berechnung der Kompensationsströme

$$R_1 = 2000 \text{ ohm}$$

$$R_2 = 1700 \text{ ohm}$$

$$C = 60 \mu F$$

$$\frac{d}{dt} \cdot J_3 = \frac{dJ_1}{dt} \cdot R_1$$

$$E = (J_1 + R_1 C \frac{dJ_1}{dt}) R_2 + J_1 \cdot R_1$$

$$J_1 (R_1 + R_2) + \frac{dJ_1}{dt} C \cdot R_1 \cdot R_2 = E$$

$$J_1 + \frac{dJ_1}{dt} C \frac{R_1 \cdot R_2}{R_1 + R_2} = \frac{E}{R_1 + R_2}$$

$$J_1 + J_2 A = B$$

$$J_1 = a e^{\alpha t} + ; \quad J_2 = b e^{\alpha t} \cdot dt$$

$$a \cdot e^{\alpha t} + b + A (a - \alpha e^{\alpha t}) = B$$

$$\text{Setzt man } b = B -$$

$$\frac{E}{R_1 + R_2}$$

- 7 -

dann ist

$$a \cdot e^{\alpha t} + A (e^{\alpha t})' = 0$$

entweder in der Koeffizienten gleich Null,  $E_1$ , soweit es möglich ist

oder

$$a \cdot e^{\alpha t} (1 + A') = 0$$

oder  $a \cdot e^{\alpha t} = 0$  und  $A' = 0$

oder  $A' = 0$  und  $a \cdot e^{\alpha t} = 0$

oder  $a = 0$

$$\frac{E}{R_1 + R_2} C$$

$$J_1 = a \cdot e^{\alpha t} + b = a \cdot e^{\alpha t} + \frac{E}{R_1 + R_2}$$

Annahme: C sei ungeladen. Für die Zeit  $t = 0$  wird auch

$$J_1 = 0; \text{ dann ist}$$

$$J_1 = 0 = a + \frac{E}{R_1 + R_2}$$

und

$$a = - \frac{E}{R_1 + R_2}$$

$$J_1 = a \cdot e^{\alpha t} + b = - \frac{E}{R_1 + R_2} + \frac{E}{R_1 + R_2} e^{\alpha t}$$

oder

$$J_1 = - \frac{E}{R_1 + R_2} (1 - e^{-\alpha t})$$

Diese Gleichung gilt für die Aufladung des Kondensators von Spannung 0 beginnend. Dies ist jedoch seuretechnisch ohne Bedeutung, da dieser Fall lediglich beim ersten Einschalten eintritt.

- 8 -

Das Umschalten des Relaiskontaktees erfolgt in dem Augenblick, in dem die Spannung am Kondensator und damit proportional der Strom in der Kompenationswicklung  $H_1$  soweit angestiegen ist, bis die Erregung auf die Abfallerregung kompensiert ist.

Die Spannung  $E$  wird abgeschaltet und durch den Kontakt  $r_1$  die Kompenationswicklung  $H_1$  und der Widerstand  $R_2$  kurzgeschlossen.

Der Kondensator entlädt sich, d.h. die Spannung am Kondensator fällt und damit proportional der Strom in der Kompenationswicklung  $J_2$ .

Für  $A = 0$  wird der abfallende Strom  $J_2$  in der Kompenationswicklung

$R_2$  und in der Kompenationswicklung  $H_1$  proportional zu  $t$  verlaufen, d.h. es gilt:

$$J_2 = a \cdot e^{-t} + b \quad J_2' = a \cdot e^{-t}$$

$$a \cdot e^{-t} + b + A \cdot e^{-t} = 0$$

Ist  $b = 0$ , dann wird:

$$a \cdot e^{-t} + A \cdot e^{-t} = 0$$

oder

- 9 -

- 10 -

$$a \cdot e^{\lambda t} \cdot (1 + A \pi) = 0$$

und

$$\lambda = -\frac{1}{A}$$

$$J_2 = a \cdot e^{-\lambda t}$$

Für die Zeit  $t = 0$ ; wird:

$$J_2 = a \cdot \frac{1}{R_1 + R_2}$$

End der Abfallstrom

$$J_2 = \frac{1}{R_1 + R_2} \cdot e^{-\lambda t}$$

Diese Gleichung gilt für die Entladung des Kondensators.

Das Umschalten des Relaisankers erfolgt in dem Augenblick, in dem  
die Spannung am Kondensator und damit proportional der Strom in  
der Kompensationswicklung soweit abgefallen ist, bis die Erregung  
auf die Anzugserrregung kompensiert ist und der Vorgang von neuem  
beginnt.

- 10 -

Ausrechnung der Kompensationströme  $J_1$  und  $J_2$

$$A = - \frac{1}{t} = \frac{R_1 + R_2}{R_1 \cdot R_2} \quad C = \frac{2 \cdot 10^3 \cdot 1,7 \cdot 10^3}{2 \cdot 10^2 \cdot 1,7 \cdot 10^2} \cdot 60 \cdot 10^{-6} = 0,0552$$

| $t$                          | 0,01  | 0,02  | 0,03  | 0,04  | 0,05  | 0,1   | 0,15  | 0,2   | 0,25  |
|------------------------------|-------|-------|-------|-------|-------|-------|-------|-------|-------|
| $\frac{1}{t}$                | 0,181 | 0,363 | 0,545 | 0,727 | 0,91  | 1,81  | 2,72  | 3,63  | 4,54  |
| $J_1 = 1 - e^{-\frac{1}{t}}$ | 0,128 | 0,285 | 0,425 | 0,518 | 0,593 | 0,835 | 0,933 | 0,973 | 0,989 |
| $J_2 = e^{-\frac{1}{t}}$     | 0,872 | 0,715 | 0,575 | 0,482 | 0,407 | 0,165 | 0,067 | 0,027 | 0,011 |

- 9 -

Berechnung von  $t_1$  und  $t_2$ 

$$\gamma_1 = 1 - e^{-\gamma t_1}$$

$$\gamma_1 = 1 - e^{-\gamma t_1} = (t_1 + \gamma t_1)$$

$$1 - e^{-\gamma t_1} = (t_1 + \gamma t_1) \cdot e^{-\gamma t_1}$$

$$1 - e^{-\gamma t_1} = t_1 (1 - e^{-\gamma t_1})$$

$$1 - e^{-\gamma t_1} = (1 - e^{-\gamma t_1}) (1 - e^{-\gamma t_1})$$

$$1 - e^{-\gamma t_1} = 1 - e^{-\gamma t_1}$$

$$e^{-\gamma t_1} = \frac{1}{2}$$

$$t_1 = \frac{\ln 2}{\gamma}$$

$$\gamma_2 = \gamma_1 + \Delta \gamma$$

$$\gamma_2 = \gamma_2 + (\gamma_1 + \Delta \gamma) = \gamma_2 + \Delta \gamma$$

$$\gamma_2 = \gamma_2 + (\gamma_1 + \Delta \gamma) = \gamma_2 + \Delta \gamma$$

$$\frac{\Delta \gamma}{\gamma_2} = 1 - e^{-\gamma_2 t_2}$$

$$\Delta \gamma = \frac{1}{n} (1 - e^{-\gamma_2 t_2})$$

$$\Delta \gamma = \frac{1}{n} \left( \frac{1}{1 - e^{-\gamma_2 t_2}} \right)$$

- 10 -

Ausrechnung von  $t_1$  und  $t_2$

$\Delta t = 0,2 + \text{Schaltzeit des Hilfsrelais } BH_1 = 0,06 = \text{konst.}$

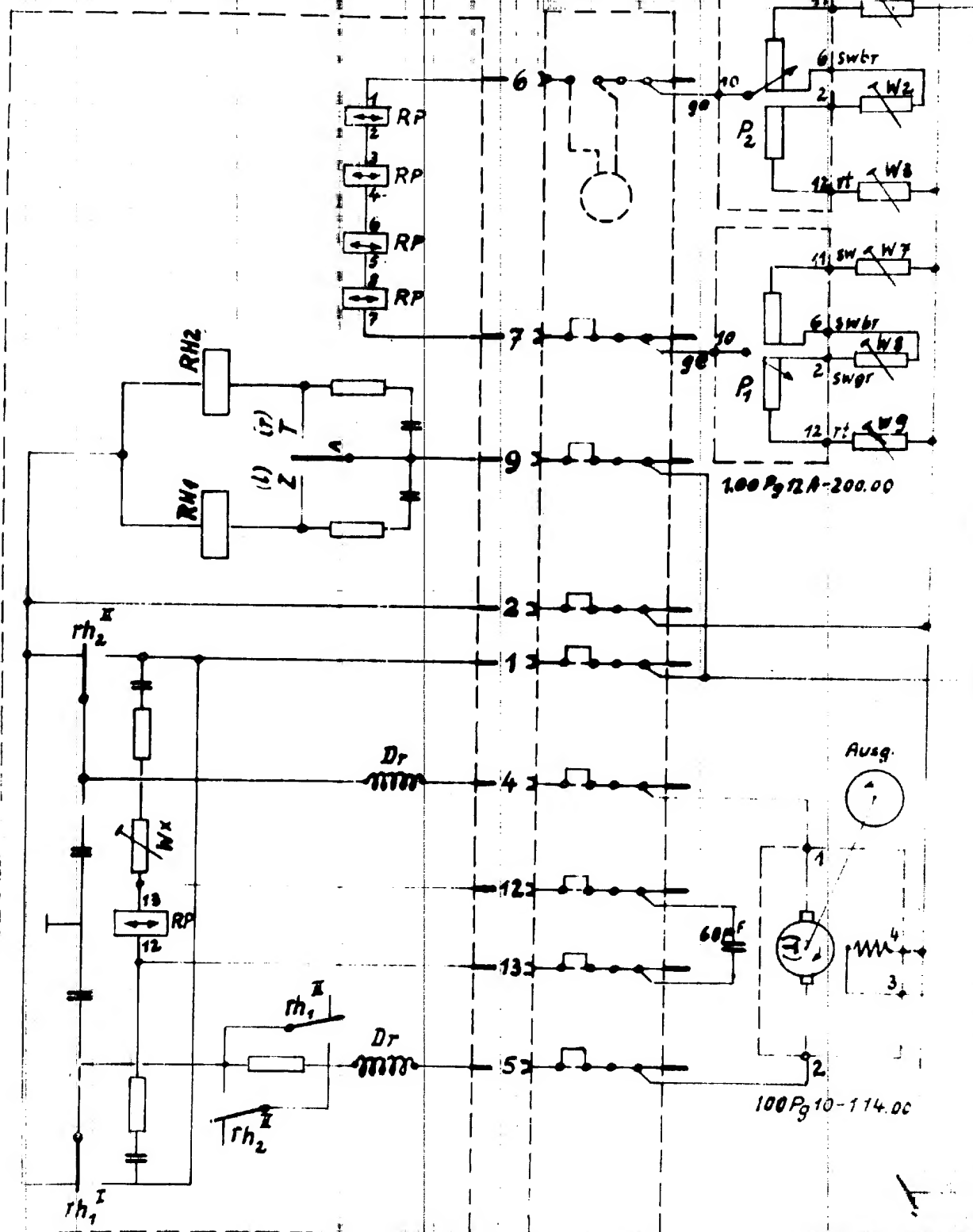
$$\Delta t = 0,2 + 0,06 = 0,26$$

| $t_1$ | $t_1$  | $t_2$  | $t_1 + t_2$ | $\frac{1}{t_1 + t_2}$ |
|-------|--------|--------|-------------|-----------------------|
| 0,1   | 0,0188 | 0,0706 | 0,0894      | 11,17                 |
| 0,2   | 0,0216 | 0,0459 | 0,0675      | 14,8                  |
| 0,3   | 0,0256 | 0,0343 | 0,0599      | 16,7                  |
| 0,4   | 0,0311 | 0,0275 | 0,0586      | 17,1                  |
| 0,5   | 0,0405 | 0,0230 | 0,0635      | 15,75                 |
| 0,6   | 0,0519 | 0,0198 | 0,0717      | 12,85                 |
| 0,7   | 0,0641 | 0,0173 | 0,1283      | 7,8                   |

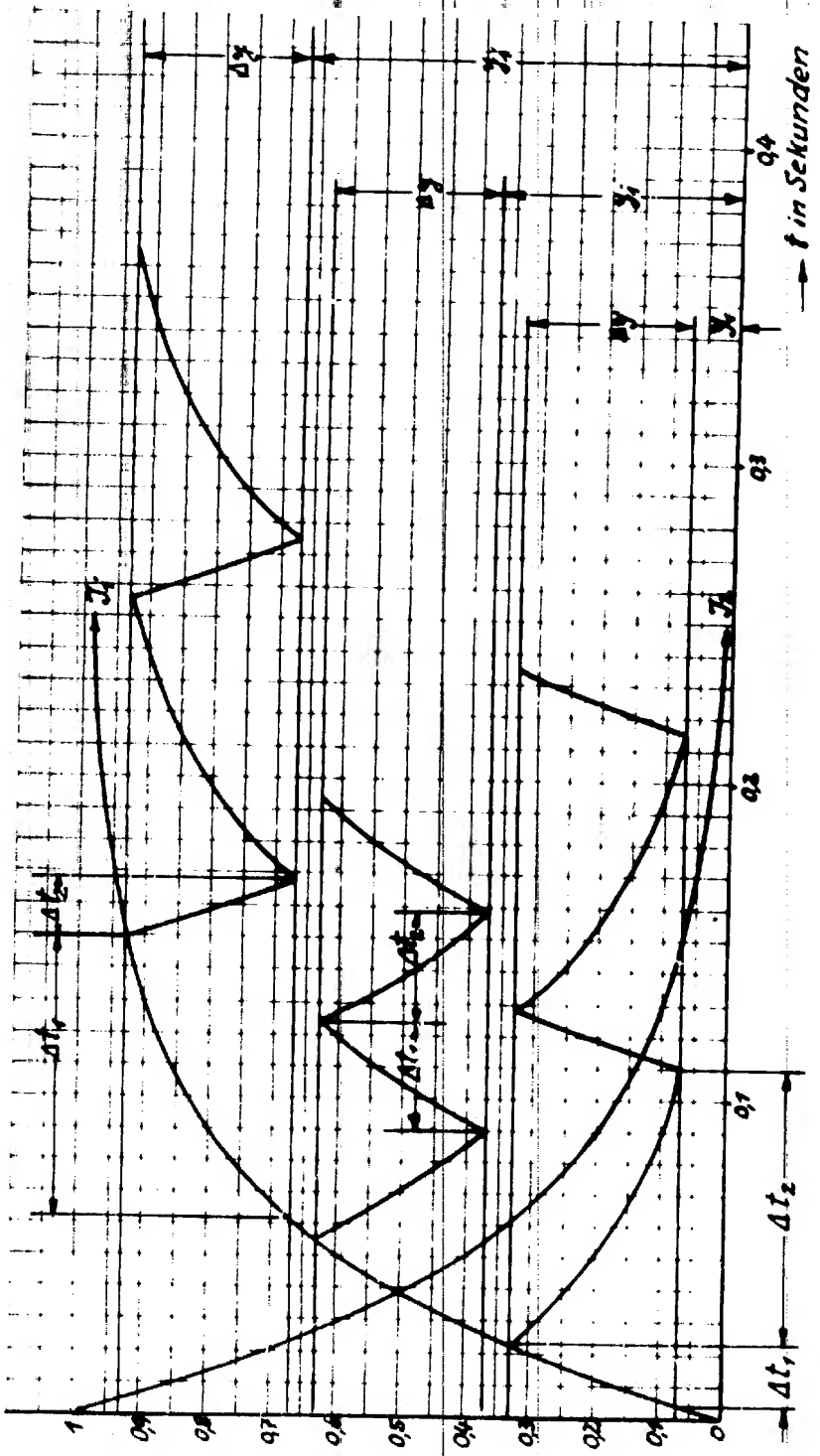
100. Pg. 102,01.00

PG 14

100 Pg T2A-200.00



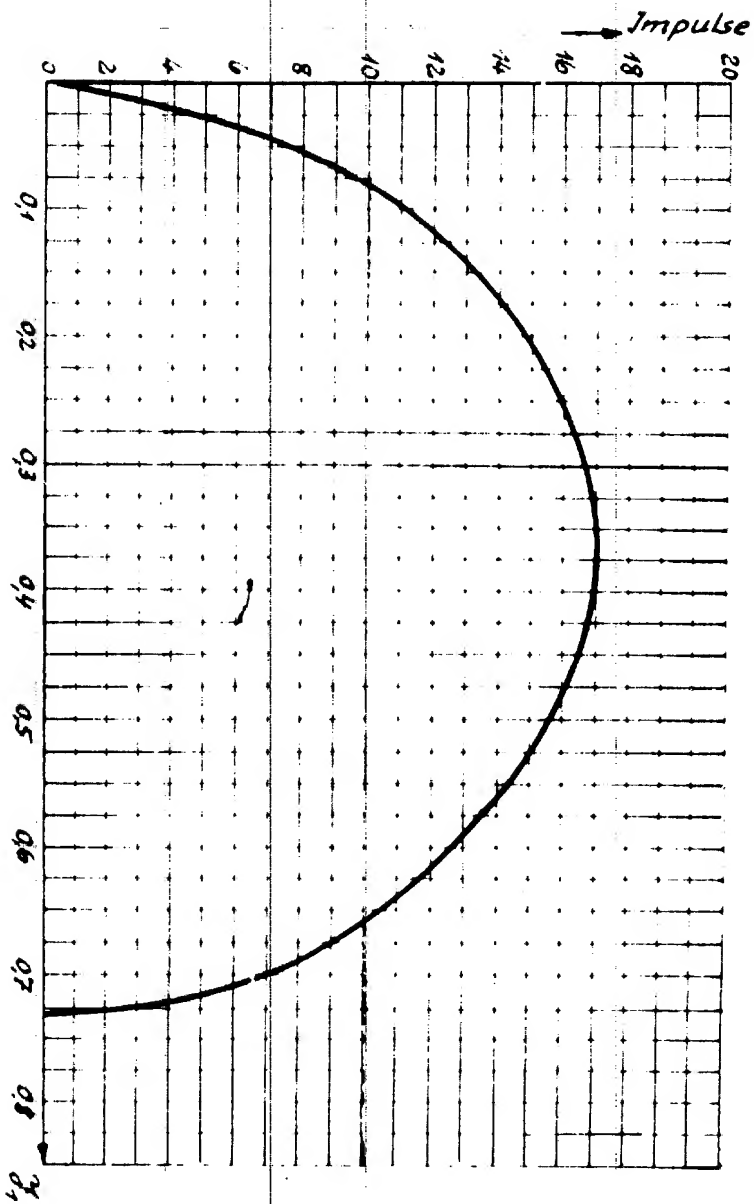
Black 1



$\Delta t_1$  - Abfallzeit polar Relais RP + Hilfsrelais - konst.

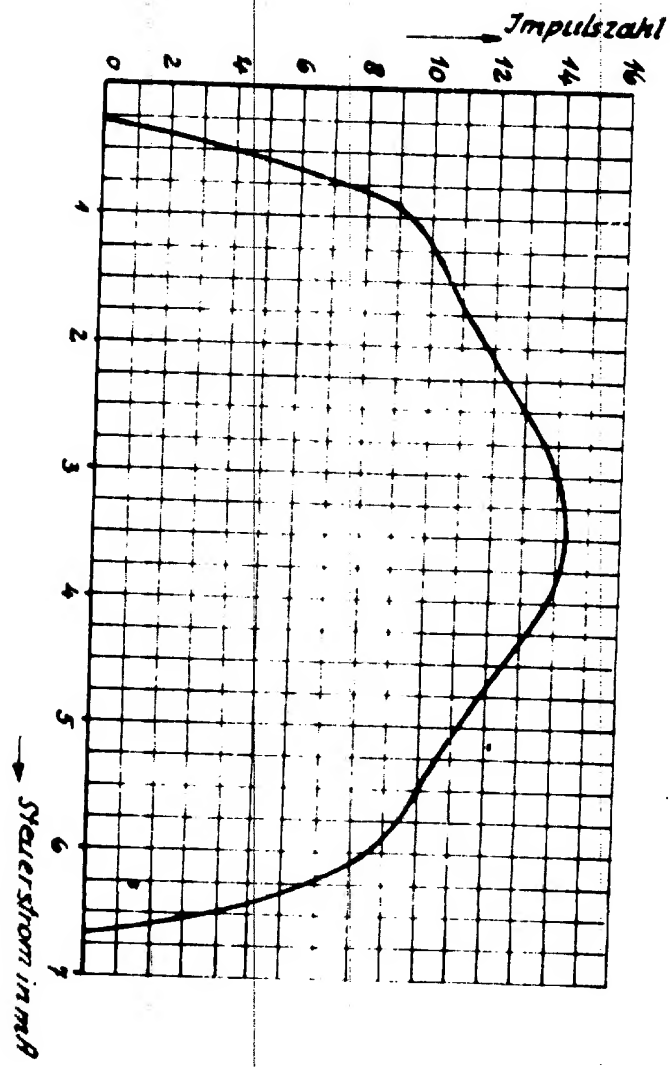
$\Delta t_2$  - Anzugszeit polar Relais RP = abhängig vom Steuerstrom  
+ Schaltzeit des Hilfsrelais RH = konst.

Blatt 2



Theoretische (errechnete) Frequenzkurve

Blatt 3

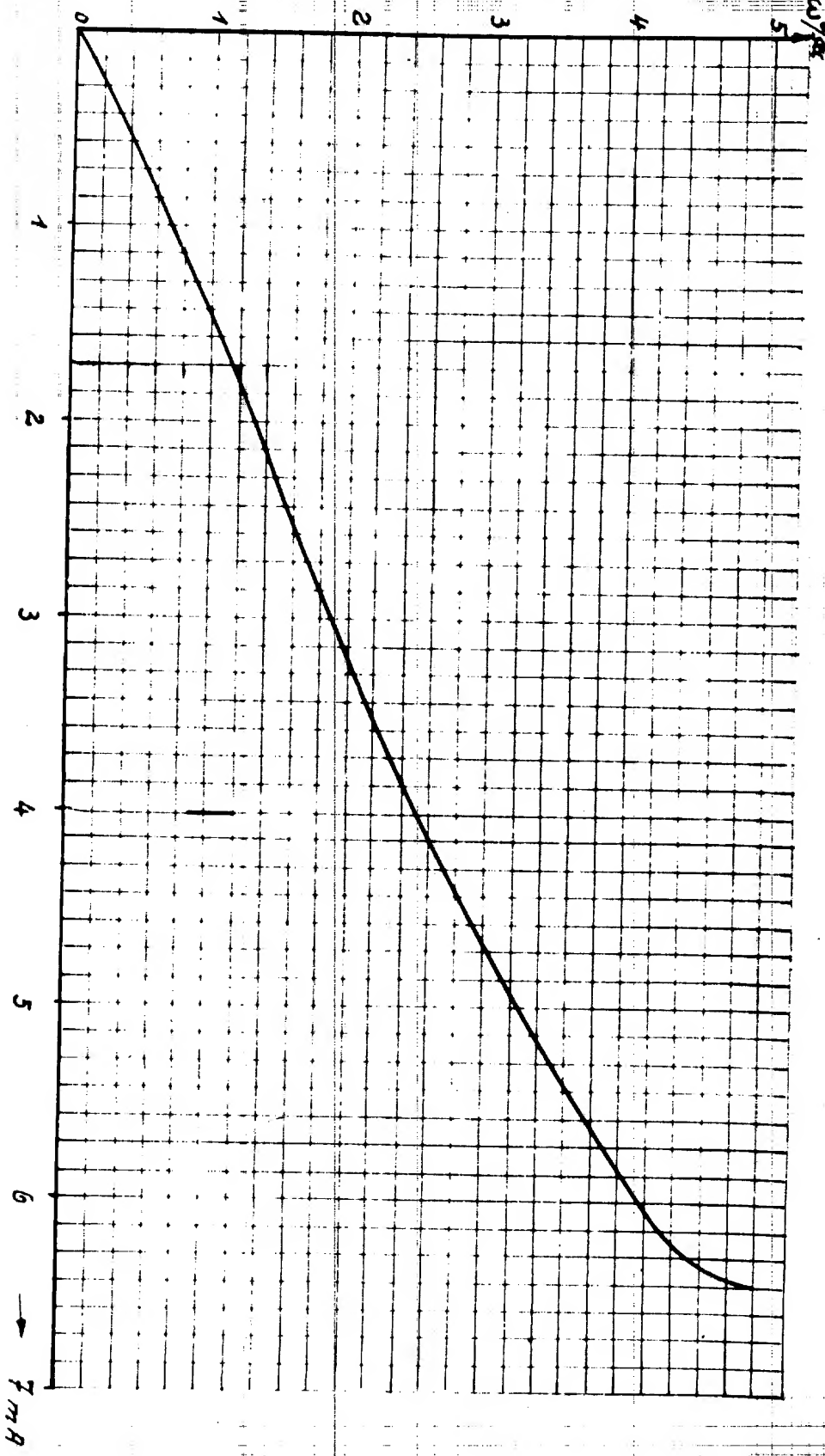


Durch Versuche ermittelte Frequenzkurve

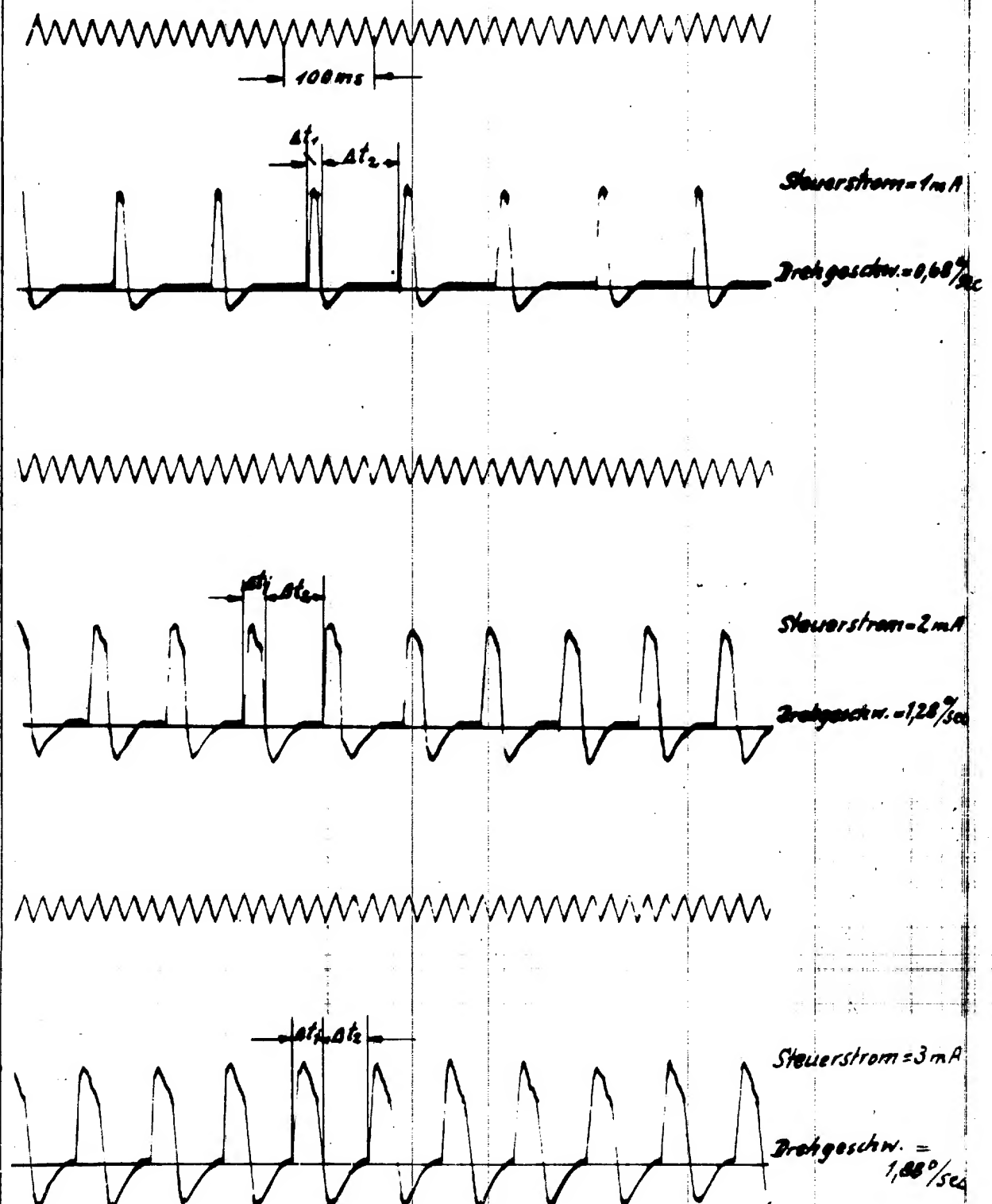
B/att 4

Motordrehzahl in Abhängigkeit vom Steuerstrom

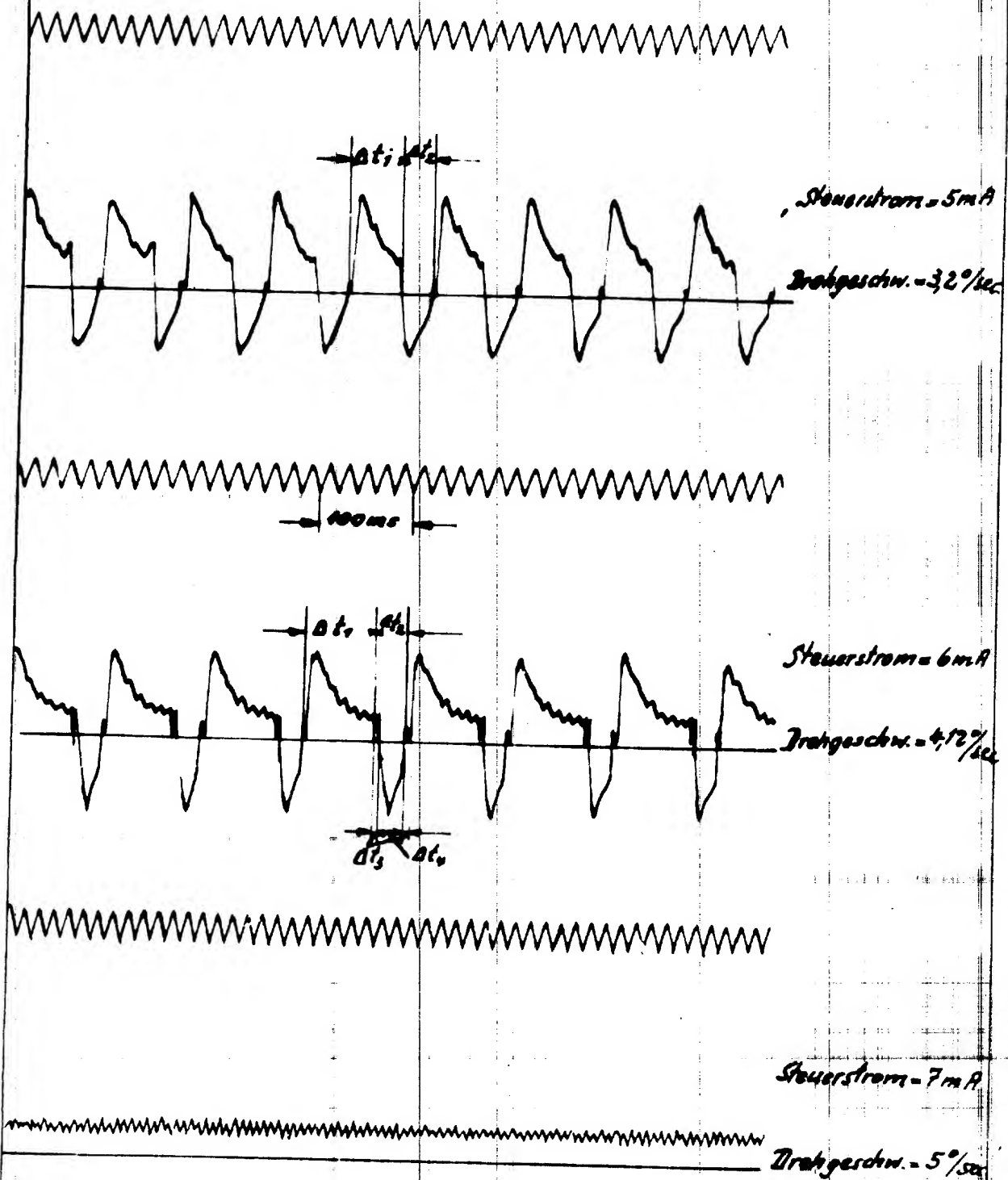
Blatt 5



### Impulsabgabe des Antriebreglers an den Motoranker



## Impulsabgabe des Antriebreglers an den Motorantrieb



Magnetische Verstärker für die West - ost - Grenze

INHALT) Nach einem geschichtlichen Überblick über die Entwicklung der auf magnetischer Grundlage beruhenden, mit gleichstromvormagnetisierten Drosselspulen arbeitenden sogenannten Verstärker, die vielfach auch Eisenverstärker genannt werden, wird über besondere Ausführungsarten magnetischer Verstärker berichtet, die in der Mess- und Regeltechnik als Relais, Messverstärker und Nullstromverstärker benutzt werden können. Die bei der praktischen Anwendung vorliegender Verstärker in Betracht kommenden Flussgrößen (Spannungs-, Frequenz- und Wellenformeinflüsse, Temperatur- und Fremdfeldeneinflüsse, Einflüsse einer im Steuerstrom enthaltenen Wechselstromkomponente) werden zusammengestellt. Die mögliche Ausführung der magnetischen Nullstromverstärker wird kurz beschrieben.

K I E H L U T T I G

Die sogenannten magnetischen Verstärker, die vielfach auch Eisenverstärker genannt werden, beruhen auf der in der Elektrotechnik für verschiedene Artike Zwecke ausgenutzten Ercheinung, dass die Induktivität einer Wechselstrom durchlössigen Drosselspule mit Eisenkern, auf die eine Gleichstrommagnetisierung zusätzlich einwirkt (gleichstromvormagnetisierte Drosselspule) /1/, von der Stärke des diese Gleichstrommagnetisierung hervorruhenden Stromes gesetzmäßig abhängig ist. Eine derartige Drosselspule stellt einen Induktionswiderstand dar, dessen Größe durch einen rein elektrischen Eingriff, nämlich durch die Gleichstromvormagnetisierung des Eisenkerns, innerhalb bestimter Grenzen stetig verändert werden kann. Durch Anwenden besonderer Schaltungsanordnungen mit entsprechend besetzten gleichstromvormagnetisierten Drosseln ist es möglich, mit verhältnismäßig schwachen Gleichströmen deutlich stärkere Wechselströme gesetzmäßig zu verstetigen und diese eine Verstärkerwirkung zu erreichen. Hierbei ist Verstärkungsfaktor definiert durch das Verhältnis zwischen dem Stromverbraucher, z.B. Glühlampe, Lautsprecher, usw., zugeführten ausgangsleitung in der Wirkung des steuernden Gleichstromes und dem Widerstandswert, wodurch sich ergibt eine Inverstaltung.

- 2 -

Diese Art magnetischen Verstärkung kleiner Strome und Spannungen bietet die wertvolle Möglichkeit, einerseits die durch Einführen der Röhre in die Mess- und Regeltechnik gebrachten Vorteile mit Ersatz der intermittierend arbeitenden Verfahren durch stetige beizubehalten, andererseits aber die mit Verstärkerröhren auf manchen Anwendungsgebieten verbundenen Unannehmlichkeiten, wie begrenzte Lebensdauer der Röhren, Nachteile der Röhren bei rauen Betriebsverhältnissen, Schwierigkeiten beim Verstärken kleiner Gleichspannungen, zu vermeiden. Die magnetischen Verstärker, die rein elektrisch, also ohne irgendwelche mechanisch bewegten Teile, geräuschlos arbeiten, keinerlei Abnutzung unterworfen sind und sich somit durch besondere Zuverlässigkeit und Betriebssicherheit auszeichnen, dürften daher für die Mess- und Regeltechnik eine grosse Bedeutung erlangen.

Die bei den magnetischen Verstärkern angewandten Schaltungen entsprechen im wesentlichen den mit mehreren Gleichstromvormagnetisierten Drosselspulen arbeitenden Anordnungen, die J. E. STERLING /2/, J. N. A. JULY /3/, G. VALLAURI /4/ und andere /5/ als statischen Frequenzwandler, v. M. AG /6/, G. HOTTSCHEIDER /7/, V. KRÄMER /8/ und H. RITZ /9/ zum Messen starker Gleichströme und F. P. V. ALBACONTESON /10/, L. KÜHN /11/, L. MANDRILLAT /12/ und R. PAPPELIXI /13/ zur Modulation von Hochfrequenzströmen benutzt haben. M. THOMAS /13/ hat schon im Jahre 1928 einen insbesondere zur Temperaturregelung mit Thermoelementen oder Widerstandsthermometern geeigneten, vom Gleichstromnetz gespeisten magnetischen Verstärker beschrieben, dessen Verstärkungsfaktor 12.0 ist. Im Jahre 1935 berichten J. F. T. und C. CHVITAL /14/ über eine Stromrichtersteuerung mit Gitterschaltern und magnetischem Verstärker, der die Leistungsverstärkung 4000 ergab. In Amerika hat sich besonders C. E. COOPER /15/ mit dem Bau von magnetischen Verstärkern für Televorverstärkungen beschäftigt und im Jahre 1937 über hochempfindliche mehrstufige magnetische Verstärker berichtet, die bereits bei einer Eingangsleistung von etwa 1 Mikrowatt ansprechen und die Verstärkungsfaktoren 50.000 (vierstufig) bzw. 1.000.000 (fünfstufig) erreichen. Weiterhin hat G. HADDE /16/ in seinem im Jahre 1937 veröffentlichten zusammenfassenden Bericht darauf hingewiesen, dass bei der Gleichstromvormagnetisierten Drosselspule die Verluste und Erwärmung sehr gering sein, die hohe Verstärkung

- 3 -

teren ergeben. Ferner hat G. KIRATH /16/ schon im Jahre 1933 auf die Bedeutung der neuzeitlichen Nickeleisenlegierungen, z.B. Mumetal, Ferroalloy, Werkstoff 1044, für die Messung von Gleichströmen mit vormagnetisierten Drosselspulen hingewiesen und zahlreiche Kennlinien wiedergegeben, die auch für den bei magnetischer Verstärker, bei denen es sich um geringe Gleichstromstärken handelt, eine wertvolle Grundlage darstellen.

In folgenden wird über besondere Ausführungsarten von magnetischen Verstärkern berichtet, die in der Mess- und Regeltechnik als Relais, Messverstärker und Nullstromverstärker benutzt werden können. Sie bei der praktischen Anwendung dientiger Verstärker in Bezug auf kommenden Einflussgrößen, wie Spannung, Frequenz und Wellenform, Temperatur und Fremdfeldeneinflüsse, werden abgesondert. Die bauliche Ausführung der magnetischen Nullstromverstärker wird kurz beschrieben.

\*) Vgl. z. Geiger, Grundlagen der magnetischen Verstärker für die Mess- und Regeltechnik, Diss. Veröff. Siemens-Werk 19 (1940) H. 3, S. 4.

1) Die Zahlen im eckigen Klammern // beziehen sich auf das Schriftumsverzeichnis am Schluss des Aufsatzes.

- 4 -

RELAIS UND RELEVANZ DER TAKTH1. Als kontaktfreies Relais für K.G.D.  
der magnetische Verstärker.

Der magnetische Verstärker ermöglicht, durch ein- und ausschalten oder durch Verändern eines der Steuerwicklunglungen zugeführten Eingangstromes einen bedeutend stärkeren Ausgangstrom gesetzmässig zu beeinflussen; er kann also als Relais benutzt werden, das rein elektrisch, d.h. ohne irgendwelche mechanisch bewegten Teile arbeitet /17/.

Bei der in Bild 1 dargestellten, auf dem Prinzip der rückgekoppelten Drosselpulse /18/ beruhenden Schaltungseinordnung sind die beiden übereinstimmend bemessenen wechselstromseitig in gleichen Sinne und gleichstromseitig in entgegengesetztem Sinne hintereinandergeschalteten eisengeschlossenen Drosselpulsen  $L_1$ ,  $L_2$ , die auch zu einer Dreischenkondensator zusammengezogen werden können, als stetig regelbarer Widerstand mit der Birde  $R_B$  (stromverbraucher) und mit einem Gleichrichter  $G$  (Kupferoxydul- oder Selen-Trockengleichrichter) in Brückenschaltung hintereinandergeschaltet und an die Wechselspannung  $U$  angeschlossen, die über einen Isoliertransformator  $T$  des Wechselstromnetzes entnommen wird. Der vom Gleichrichter  $G$  abgegebene Gleichstrom, der den in den Wechselstromwicklungen der Drosselpulsen  $L_1$ ,  $L_2$  fließenden Wechselstrom  $I_B$  proportional ist, durchfließt die in entgegengesetztem Sinne hintereinandergeschalteten und mit einem Nebenwiderstand  $R_N$  versehnen Rückkopplungswicklungen der Drosselpulsen  $L_1$ ,  $L_2$ . Der Wechselstrom  $I_B$ , der vom Gleichrichter  $G$  gleichgerichtet wird und als Gleichstrom  $I_G$  selbst vormagnetisierend wirkt, modert sich bezüglich seiner Größe und Phasenlage mit der Artikulation des Gleichstrom- (steuer-)wicklungen der Drosselpulsen  $L_1$ ,  $L_2$  zugeführten Gleich- (steuer-) Stromes  $I_S$ , weil sie vernünftig bzw. der magnetische Leiterstand der Eisenkerne von  $L_1$  und  $L_2$  vor der durch die Gleichströme  $I_S$  und  $I_G$  hervorgerufenen Gleichstrommagnetisierung gesetzmässig abhängig ist. Wie bei den übereinstimmend bemessenen Wechselstromwicklungen gleichnamig, ist  $I_B$  geschaltet und die beiden ebenfalls übereinstimmend bemessenen Gleichstromwicklungen (steuer- bzw. Rückkopplungswicklungen)

- 5 -

gegenseitig in Reihe geschaltet sind, so haben sich die Grundwellen und die ungeradzahligen Oberwellen der an den beiden Wechselstromwicklungen wirksamen Teilspannungen in der gegensinnigen Reihenschaltung der Steuer- bzw. Rückkopplungswicklungen auf.

Bezeichnet  $L = L_1 + L_2$  die gesamte Induktivität der in dieser Weise geschalteten gleichstromvorgemagnetisierten Drosselpulen und  $R$  den gesamten Wirkwiderstand des diese Drosselpulen, die Bürde  $R_B$  und den Gleichrichter  $G$  enthaltenden Wechselstromkreises, so gilt bei sinusförmiges Verlauf der Spannung  $U$  und des Stromes  $I_B$  bei der Kreisfrequenz

$$\frac{I_B}{I_A} = \frac{U}{R^2 + (\omega L)^2}, \quad \operatorname{tg} (U, I_A) = \frac{L}{R}$$

Für den Fall, dass  $R$  sehr klein ist im Vergleich zu  $L$ , wird  $I_A = U/\omega L$ , wobei  $L$  eine Funktion von  $I_A$  ist. Dann ergibt die an die Bürde  $R_B$  abgegebene Leistung  $I_{B_B}^2 R_B$  einen größeren Wert als nimmt als die in den Gleichstromteilverwicklungen (Gesamtwiderstand  $R_B$ ) verbrauchte Leistung  $I_{A_B}^2 R_B$ ; dann ist, abgesehen von dem Unterschied in der Stromart, eine Verstärkerwirkung vorhanden, und der Verstärkungsfaktor lässt sich durch den Ausdruck  $(I_{B_B}^2 R_B) / (I_{A_B}^2 R_B)$  definieren.

$I_1, I_2$  gleichstromvorgemagnetisierte Drosselpulen

$R_B$  Bürde

Kupferoxydul- oder Selen-Trockengleichrichter

$R_H$  Nebenwiderstand

$T$  Isoliertransformator

$U$  Wechselspannung

$I_A$  Eingangstrom

$I_B$  Ausgangstrom

Bild 1.

Grundschatzung eines als kontaktloses Relais wirkenden magnetischen Verstärkers.

- 6 -

**Bild 2.**

Ausgangsstrom  $I_B$  in Abhängigkeit vom Ringangastrom  $I_g$  für verschiedene Werte der Betriebsspannung  $U$ , wobei das Verhältnis zwischen dem Rückkopplungs-Gleichstrom  $I_G$  und dem Ausgangs-Echselstrom  $I_B$  konstant ist.

Bild 2 zeigt den Ausgangsstrom  $I_B$  in Abhängigkeit vom Ringangastrom  $I_g$  für verschiedene Werte der Betriebsspannung  $U$ , wobei das für die Stärke der Rückkopplungswirkung maßgebende Verhältnis zwischen den die Rückkopplungswicklungen durchfliessenden Gleichstrom  $I_G$  und den in den Leckstromwicklungen fliessenden Ausgangsstrom  $I_B$  konstant ist. In Bild 3 ist  $I_B$  als Funktion von  $I_g$  für verschiedene mit dem Nebenwiderstand  $R_N$  eingestellte Werte des Stromverhältnisses  $I_B/I_g$  bei konstanter Betriebsspannung  $U$  dargestellt. Der Verlauf der Kennlinie  $I_B = f(I_g)$  ist von der Richtung des Ringangastromes  $I_g$  abhängig. Wenn  $I_B = 0$  ist, hat  $I_B$  eine bestimmte, von den Abmessungen und magnetischen Eigenschaften der Drosselpulen  $L_1, L_2$ , von der Höhe der Betriebsspannung  $U$  und von dem Stromverhältnis  $I_B/I_g$  abhängige Größe, die Ruhestrom genannt werden soll. Bei positiven Werten von  $I_g$  (die Ströme  $I_B$  und  $I_g$  wirken in gleichem Sinne auf die Gleichstromvormagnetisierung) nimmt  $I_B$  mit  $I_g$  in starkem Maße zu (steil verlaufende Kennlinie), während bei negativen Werten von  $I_g$  (die Ströme  $I_B$  und  $I_g$  wirken in entgegengesetztem Sinne auf die Gleichstromvormagnetisierung) der Strom  $I_B$  zunächst bis zu einem Mindestwert abnimmt und dann in schwächerem Maße wieder zunimmt (flache, fast waagerecht verlaufende Kennlinie). Der unsymmetrische Verlauf der Kennlinie  $I_B = f(I_g)$  ergibt eine richtungsabhängige Arbeitsweise dieses magnetischen Verstärkers.

- 7 -

Führt (Ausgangsstromquelle) ein Hilfstrom  $I_H$  bringt, dann die Steuerwicklung mit dem Betriebsstrom  $I_B$  zum Verteilungspunkt des Steuerrichter  $G_H$ . Fernwiderstand  $R_H$  ist hierfür für  $I_H$  von der Abhängigkeit der Steuerwicklungen ab den Bildern 4 und 5 zu erkennen. Bild 3.

Ausgangstrom  $I_B$  in Abhängigkeit vom Eingangstrom  $I_S$  für verschiedene Werte des Stromverhältnisses  $I_B/I_S$  bei konstanter Betriebsspannung  $U$ .

Bei der Schaltungsanordnung nach Bild 1 ist, wie aus Bild 3 hervorgeht, mit einer Steigerung der Rückkopplungswirkung (Kennliniensteilheit) bzw. des Verstärkungsfaktors ein Vergrößern des bei  $I_S = 0$  vorliegenden Ruhestromes verbunden, der aus praktischen Gründen eine bestimmte Größe, z.B. 10 mA, nicht überschreiten soll. Während bei der Anordnung nach Bild 1 ein Verkleinern des Ruhestromes nur durch ein entsprechendes Vermindern des Verstärkungsfaktors erreichbar ist, kann bei den in Bild 4 und 5 dargestellten Schaltungen der Ruhestrom unter Beibehalten eines bestimmten Verstärkungsfaktors bzw. einer bestimmten Kennlinien-Steilheit nach Bedarf verkleinert und auf verhältnismässig kleine Werte gebracht werden. Dies wird dadurch erreicht, dass in den Drosselpulsen  $L_1$ ,  $L_2$  durch einen Hilfgleichstrom  $I_H$  eine zusätzliche Gleichstrommagnetisierung hervorgerufen wird, die der von dem Rückkopplungsgleichstrom  $I_B$  erzeugten Gleichstrommagnetisierung entgegengewirkt. Der Hilfstrom  $I_H$  wird einem zweiten, über einen Vorwiderstand  $R_H$  an die Sekundärwicklung des Isolationstransformators  $T$  angeschlossenen Gleichrichter  $G_H$  entnommen und über einen Vorwiderstand  $R_H$  den Steuerwicklungen hintereinandergeschalteten Hilfwicklungen (Bild 5) zugeführt, die Kompensationswicklungen genannt werden. Während bei der Schaltung in Bild 4 der Hilfstrom  $I_H$  und der Steuerstrom  $I_B$  in einer gemeinsamen Wicklungsgruppe, in den Steuerwicklungen, unmittelbar überlagert werden (Stromüberlappung), werden bei der Schaltung in Bild 5 die Ströme  $I_B$  und  $I_H$  zwei voneinander unabhängigen, aber miteinander magnetisch verketteten Wicklungsgruppen, den Steuer- und Kompensationswicklungen, zur

- 8 -

führt (Amperewindungsüberlagerung). Getrennte Wicklungen für den Hilfstrom  $I_H$  bringen einen bestimmten Verlust an Wickelraum für die Drosselpulpen mit sich, haben aber den Vorteil, dass das Momentanwert von Herabsetzen des Ruhestromes dienenden Teile, wie Gleichrichter  $G_H$ , Vorwiderstände  $R_V$ ,  $R_H$  und Kompensationswicklungen für  $I_H$  von den Abmessungen bzw. von der Anpassung der Steuerwicklungen an den Widerstand des den Steuerstrom  $I_B$  führenden Eingangstromkreises vollständig unabhängig wird.

5.2.  $I_H$  gleichstromvorgestrahlte Spulen

Niedrig

Kupferoxydul- oder Salzen-Trockengleichrichter

Moskowitdrossel

Isolierttransformator

Spannungsregler

Drossel

Eingangstrom

Ausgangstrom

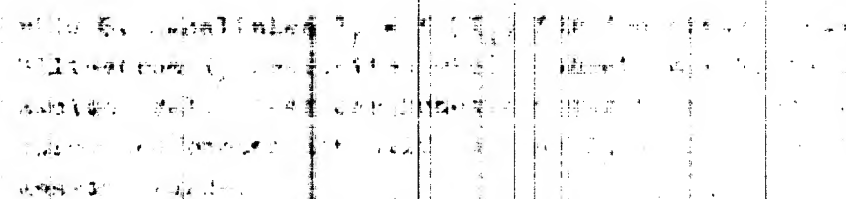
Moskopplungs-Gleichstrom

Hilfsgleichstrom zur Verkleinerung des bei  $I_B = 0$  vorhandenen Ruhestromes  $I_H$

$G_H$  Kupferoxydul- oder Salzen-Trockengleichrichter, dem der Hilfstrom  $I_H$  entnommen wird.

$R_V$  und  $R_H$  Vorwiderstände des Gleichrichters

Bild 4. Grundschaltung nach Bild 1, bei der zwecks Verkleinerung des bei  $I_B = 0$  vorhandenen Ruhestromes  $I_H$  ein konstanter Hilfsgleichstrom  $I_H$  den Steuerwicklungen der Drosselpulpen zugeführt wird.



- 9 -

 **$L_1, L_2$  gleichstromvormagnetisierte  
Drosselspulen** **$R_1$  Widerstand** **$G$  Kupferoxydul- oder Selen-  
Trockengleichrichter** **$R_2$  Nebenwiderstand** **$T$  Isolierttransformator** **$U$  Wechselspannung** **$I_{\text{B}}$  Eingangstrom** **$I_{\text{A}}$  Ausgangstrom** **$I_{\text{M}}$  Mitkopplungs-Gleichstrom** **$I_{\text{H}}$  Hilfgleichstrom zum Verkleinern  
des bei  $I_{\text{B}} = 0$  vorhandenen Ruhe-  
stromes  $I_{\text{B}}$**  **$G_H$  Kupferoxydul- oder Selen-  
Trockengleichrichter, dem der  
Hilfstrom  $I_{\text{H}}$  entnommen wird** **$R_1$  und  $R_2$  Widerstände  
des Gleichrichters  $G_H$ .**

Bild 5. Grundschaltung nach Bild 1, bei der zwecks Verklei-  
nerung des bei  $I_{\text{B}} = 0$  vorhandenen Ruhestromes  $I_{\text{B}}$  ein konstanter  
Hilfgleichstrom  $I_{\text{H}}$  den zusätzlichen Kompressionswicklungen  
zugeführt wird.

Bild 6. Kennlinien  $I_{\text{B}} = f(I_{\text{B}})$  für den ersten Fall, dass ohne  
Hilfstrom  $I_{\text{H}}$  gearbeitet wird (Ruhestrom = 45 mA), und für den  
zweiten Fall, dass der Ruhestrom durch Anwenden eines ent-  
sprechend bemessenen Hilfstromes  $I_{\text{H}}$  auf 10 mA oder 5 mA herab-  
gesetzt wurde.

- 10 -

In Bild 6 sind die Kennlinien  $I_B = f(I_A)$  für die Fälle dargestellt, dass ohne Hilfstrom  $I_H$  gearbeitet wird (Ruhestrom 45 mA) bzw. dass der Ruhestrom durch Anwenden eines entsprechend bemessenen Hilfstroms  $I_H$  auf 10 mA oder auf 5 mA herabgesetzt worden ist.

Die gleichstromvormagnetisierte Drosselspule ist besonders im überkennischen Schmittum mit der gittergesteuerten Elektronenröhre verglichen werden /19/, wobei 1. die an der Drosselspule wirksame Wechselspannung ( $U$ ) und die Anodenbeschleunigung an der Röhre, 2. der in der Drosselspule fließende Wechselstrom ( $I_B$ ) und der Anodenstrom der Röhre und 3. der Steuergleichstrom ( $I_g$ ) und die Gitterspannung der Röhre vergleichsweise einander entsprechen. Somit entspricht der zum Herabsetzen des Ruhestromes bzw. zum Verlagern der Kennlinie dienende Hilfstrom ( $I_H$ ) der Gittervorspannung der Röhre, mit der bekanntlich ein Verlagern der Kennlinie herbeigeführt werden kann.

Bei den Anordnungen nach Bild 1, 4 und 5 ist der Ausgangstrom  $I_B$  nicht nur von Fließgaststrom  $I_g$ , sondern auch von der Spannung, Frequenz und Wellenform der Wechselstromquelle sowie von Temperaturschwankungen und magnetischen Fremdfeldeneinflüssen in bestimmtem Maße abhängig. Die Bilder 2, 7, 8 und 9 zeigen den Spannungseinfluss (Spannungsänder  $\pm 10\%$  der Nennspannung) und den Frequenzeinfluss (Frequenzänder  $\pm 10\%$  der Nennfrequenz) bei den als kontaktfreies Relais wirkenden magnetischen Verstärkern nach Bild 1, 4 und 5. Ein Wellenformeinfluss macht sich bei derartigen Schaltungen zunächst insofern bemerkbar, als die in der Wechselspannung  $U$  enthaltenen Oberwellen infolge der die Stärke der Oberwellen schwächenden Induktiven Wirkung der Drosselspulen in den Ausgangstrom  $I_B$  in entsprechend verminderter Masse auftreten. Es zeigt sich beispielsweise, dass eine in der Wechselspannung enthaltene dritte Oberwelle in Betrage von 10 % der Grundwelle ein Ändern des Ausgangstromes von etwa 2 % hervorruft. Bei den praktisch vorkommenden Wellenformverzerrungen ist der Einfluss kleiner und beträgt nur etwa 0,5 bis 1 %.

- 11 -

Bild 10 zeigt die bei einer Anordnung nach Bild 5 gemessenen Kennlinien  $I_B = f(I_S)$  für die Temperaturen 20° C und 40° C. Der Temperatur einfluss, der hauptsächlich durch die Temperaturabhängigkeit des in dem Rückkopplungsstromkreis liegenden Kupferoxydul- oder Selen-Trockengleichrichters G hervorgerufen wird, ist verhältnismässig gross, aber beim Verwenden dieses Verstärkers als Relais durchaus zulässig.

Bezüglich des Fremdfeldesinflusses wurde festgestellt, dass bei einer Anordnung nach Bild 5 die durch ein magnetisches Gleichfeld von 5 Gauss bei ungünstiger räumlicher Lage für  $I_S = 0$  hervorgerufene Änderung des Ausgangsstromes  $I_B$  etwa  $\pm 0,1$  mA, d.h. etwa  $\pm 0,2$  % des bei voller Aussteuerung fließenden Ausgangsstromes (50 mA) beträgt, und dass weiterhin der durch ein magnetisches Wechselfeld von 5 Gauss bei ungünstiger Phasenlager für  $I_S = 0$  hervorgerufene Ausgangstrom  $I_B$  etwa  $\pm 0,5$  mA, d.h. etwa  $\pm 1$  % des bei voller Aussteuerung fließenden Ausgangsstromes (50 mA) beträgt. Der Fremdfeldseinfluss hält sich also im erträglichen Grenzen, eine besondere magnetische Abschirmung ist nicht erforderlich. Der Einfluss einer im Steuerstrom enthaltenen  $\cos \omega t$  Stromkomponente ist gering und kann durch Parallelschalten eines Kondensators zu den Steuerwicklungen auf Null gebracht werden.

Aus diesen Angaben geht hervor, dass die einfache Verstärkeranordnung nach Bild 5 ohne weiteres als Relais benutzt werden kann, das beispielsweise mit einer Eingangsleistung von etwa 1 bis 3 mW eine Ausgangsleistung von etwa 0,5 bis 1 W zu steuern ermöglicht, wobei die zwischen den Eingangs- und Ausgangstrom bestehende Gesetzmässigkeit durch die verschiedenartigen Einflussgrössen keine praktisch unsaubrige Störung erfährt.

- 12 -

**Bild 7. Spannungseinfluss bei einem als kontaktfreies Relais wirkenden magnetischen Verstärker nach Bild 5.**

Die Kurven zeigen den Einfluss der Spannung auf die Anziehungs- und Abziehschleife eines magnetischen Verstärkers. Die Kurve A zeigt die Anziehungs- und Abziehschleife eines magnetischen Verstärkers, der auf einer Eisenplatte aufgebaut ist. Der Verstärker besteht aus einer Spule, einer Eisenplatte, einer Kugel und einer Schleife. Die Kurve B zeigt die Anziehungs- und Abziehschleife eines magnetischen Verstärkers, der auf einer Eisenplatte aufgebaut ist. Der Verstärker besteht aus einer Spule, einer Eisenplatte, einer Kugel und einer Schleife.

**Bild 8. Frequenzeinfluss bei einem als kontaktfreies Relais wirkenden magnetischen Verstärker nach Bild 1.**

Die Kurven zeigen den Einfluss der Frequenz auf die Anziehungs- und Abziehschleife eines magnetischen Verstärkers. Die Kurve A zeigt die Anziehungs- und Abziehschleife eines magnetischen Verstärkers, der auf einer Eisenplatte aufgebaut ist. Der Verstärker besteht aus einer Spule, einer Eisenplatte, einer Kugel und einer Schleife. Die Kurve B zeigt die Anziehungs- und Abziehschleife eines magnetischen Verstärkers, der auf einer Eisenplatte aufgebaut ist. Der Verstärker besteht aus einer Spule, einer Eisenplatte, einer Kugel und einer Schleife.

**Bild 9. Frequenzinfluss bei einem als kontaktfreies Relais wirkenden magnetischen Verstärker nach Bild 5.**

Die Kurven zeigen den Einfluss der Frequenz auf die Anziehungs- und Abziehschleife eines magnetischen Verstärkers. Die Kurve A zeigt die Anziehungs- und Abziehschleife eines magnetischen Verstärkers, der auf einer Eisenplatte aufgebaut ist. Der Verstärker besteht aus einer Spule, einer Eisenplatte, einer Kugel und einer Schleife. Die Kurve B zeigt die Anziehungs- und Abziehschleife eines magnetischen Verstärkers, der auf einer Eisenplatte aufgebaut ist. Der Verstärker besteht aus einer Spule, einer Eisenplatte, einer Kugel und einer Schleife.

- 13 -

Die Anwendung der Schaltung ist in Bild 10 dargestellt. Der Spulenstrom  $I_s$  ist hier über einen Widerstand  $R_s$  abgegriffen und dem Meßwiderstand  $R_m$  parallel geschaltet. Der Spulenstrom  $I_s$  ist proportional zu  $\frac{B}{H}$ , wobei  $B$  die Flussdichte im Eisenkern und  $H$  die Feldstärke ist. Da die Flussdichte  $B$  proportional zur Feldstärke  $H$  ist, so ist  $I_s \propto H$ . Der Spulenstrom  $I_s$  ist also proportional zu  $H$ . Der Spulenstrom  $I_s$  ist proportional zu  $H$ , so daß die Flussdichte  $B$  proportional zu  $H$  ist. Bild 10 zeigt eine Temperaturstabilisierung, bei der ein thermoelektrischer Widerstand  $R_t$  in die Schaltung eingeschaltet ist. Der Widerstand  $R_t$  ist proportional zu  $T$ , der Temperatur. Der Widerstand  $R_t$  ist proportional zu  $T$ , so daß die Flussdichte  $B$  proportional zu  $T$  ist. Bild 10 zeigt eine Temperaturstabilisierung, bei der ein thermoelektrischer Widerstand  $R_t$  in die Schaltung eingeschaltet ist. Der Widerstand  $R_t$  ist proportional zu  $T$ , der Temperatur. Bild 10. Temperaturstabilisierung, bei einer als kontaktfreies Relais wirkenden magnetischen Verstärker nach Bild 5.

Die Temperaturstabilisierung ist in Bild 10 dargestellt. Der Spulenstrom  $I_s$  ist über einen Widerstand  $R_s$  abgegriffen und dem Meßwiderstand  $R_m$  parallel geschaltet. Der Spulenstrom  $I_s$  ist proportional zu  $H$ , so daß die Flussdichte  $B$  proportional zu  $H$  ist. Der Spulenstrom  $I_s$  ist proportional zu  $H$ , so daß die Flussdichte  $B$  proportional zu  $H$  ist.

## 2. Messverstärker

Schreibt beim Vorsetzen des magnetischen Verstärkers als Relais die angegebenen Anforderungen des Ausgangstromes ohne weiteres unbedingt eins, weil es lediglich Strom ankommt, der im Ausgangsstromkreis liegenden Seite, z.B. Glühlampe oder akustische Signalfreizeit, bei einer bestimmten Wert des Eingangstromes einen zusicherend ausreichenden Strom erreichenden Ausgangstrom aufzufordern zu stellen, werden bei einem Messverstärker bedeutend höhere Anforderungen gestellt. Hier liegt die schwierige Aufgabe vor, einen Ausgangstrom zu erzeugen, der praktisch nur vom Eingangstrom abhängig ist, von den verschiedenartigen Maßegrößen jedoch nur zu sehr geringem Maße, etwa  $\pm 1$  bis  $3\%$  vom Sollwert, beeinflußt wird.

Der Einfluß von Frequenzschwankungen kann dadurch pauschal gemacht werden, dass zwischen den Verstärker und die Wechselstromquelle einen kleinen elektromagnetischen Spannungsgleichhalter /20/ schaltet, wie er heute für Meßzwecke vielfach angewendet wird. Frequenzschwankungen haben, wenn der Verstärker von einem Wechselstromnetz gespeist wird, infolge der Kleinheit der hier vorkommenden Frequenzschwankungen, etwa  $\pm 0,5$  bis  $1\%$ , keinen störenden Einfluss, soweit der Frequenzeinfluss des Verstärkers durch den des Spannungsgleichhalters aufheim ausgeschlichen wird. Der Frequenzeinfluss hält sich, wenn der Verstärker in ein-

- 14 -

Kisenblechgehäuse, z.B. Zahlergehäuse, eingesetzt wird, in erträglichen Grenzen. Dagegen hat der hauptsächlich durch den im Rückkopplungstromkreis liegenden Trockengleichrichter hervorgerufene  $T_{e,A,p} = \frac{1}{2} \pi u_{\text{max}} f_{\text{line}}$ , der durch besondere Ankerschaltungen mit temperaturempfindlichen Hilfswiderständen nicht in ausreichendem Maße ausgeglichen werden kann, eine für einen Messverstärker unzulässige Größe. Hier kann Abhilfe zw. dadurch geschaffen werden, dass man den im Rückkopplungstromkreis liegenden Kupferoxydul- oder Silizium-Trockengleichrichter durch einen Schwinggleichrichter /21/ ersetzt, der bekanntlich keinen störenden Temperatureinfluss verursacht, wenn seine Erregervwicklung von einem Strom durchflossen wird, dessen Phasenlage temperaturunabhängig ist.

Bild 11 zeigt die Schaltungsanordnung eines magnetischen Messverstärkers, die sich von der Anordnung nach Bild 5 dadurch unterscheidet, dass der im Rückkopplungstromkreis liegende Trockengleichrichter G durch einen von der Wechselspannung U fremderregten Schwinggleichrichter dG ersetzt worden ist, dessen Erregervwicklung über eine zur Phaseneinstellung des Erregerstromes  $I_{BG}$  dienstlichen facultativen Widerstand  $L_V$  mit der Sekundärwicklung des Spannungsgleichhalter T<sub>2</sub>C (Dreischakeltransformator) mit Kondensator S /20/ verbunden ist. Die Phasenlage des Erregerstromes  $I_{BG}$  wird so gewählt, dass der in den Rückkopplungswicklungen fließende Gleichstrom  $I_G$  in den Eisenkernen der Wechselspulen  $L_1$ ,  $L_2$  eine zusätzlich Gleichstromvormagnetisierung hervorruft, die die Wirkung der vom Steuerstrom  $I_B$  verursachten Gleichstromvormagnetisierung unterstützt (Rückkopplung). Die Bürle besteht hier beispielsweise aus einem Gleichstrommesser A, z.B. einem Drehspul-Mittenschreiber, ie an einen dem Ausgangswechselstrom gleichrichtenden Kupferoxydul-Trockengleichrichter G angeschlossen ist und von dem Gleichstrom  $I_B$  durchflossen wird, der eine eindeutige Funktion des Steuerstromes  $I_B$  ist.

In Bild 12 sind die Kennlinien  $I_B = f(I_g)$  eines derartigen magnetischen Messverstärkers für verschiedene Bürdenwiderstände

- 15 -

von 50, 100 und 400 Ohm dargestellt. Für einen bestimmten Bereich,  $I_b = 0$  bis  $0,3 \text{ mA}$ , haben diese Kennlinien einen angenähert linearen Verlauf, d.h. das in dem Ausgangstromkreis liegende Messgerät, das den Steuerstrom  $I_g$  abbildet, hat einen angenähert linearen Skalenverlauf. Auf dieser Grundlage kann eine einfache Verstärkeranordnung geschaffen werden, bei der der dem Messgerät  $M$  zugeführte Gleichstrom  $I_g$  praktisch nur von der Größe des Steuerstromes  $I_b$  abhängig ist und von den verschiedenartigen Einflussgrößen in praktisch zulässigem Maße, etwa  $\pm 1$  bis  $3 \%$  vom Sollwert, beeinflusst wird.

- $L_1, L_2$  gleichstromvormagnetisierte Drosselpulen
- $M$  Gleichstrom-Messgerät als Würde
- $C$  Kupferoxydul - oder Selen-Trockengleichrichter für das Messgerät  $M$
- $SG$  Schwinggleichrichter
- $L_V$  induktiver Vorwiderstand für die Erregungswirkung des Schwinggleichrichters  $SG$
- $I_{B0}$  Erregerstrom des Schwinggleichrichters  $SG$
- $R_B$  Nebenwiderstand
- $T_KC$  Spannungsgleichhalter
- $U$  Wechselspannung
- $I_b$  Eingangstrom
- $I_G$  Rückkopplungs-Gleichstrom
- $I_H$  Hilfegleichstrom zum Verkleinern des bei  $I_b = 0$  vorhandenen Ruhestroms  $I_B$
- $G_H$  Kupferoxydul - oder Selen-Trockengleichrichter, dem der Hilfstrom  $I_H$  entnommen wird
- $R_V$  und  $E_H$  Vorwiderstände des Gleichrichters  $G_H$ .

- 16 -

**Bild 11.** Schaltungsaufordnung eines magnetischen Messverstärkers, die sich von der Anordnung nach Bild 5 dadurch unterscheidet, dass der im Rückkopplungsstromkreis liegende Kupferoxydul- oder Selen-Trockengleichrichter G durch einen fremderregten Schwinggleichrichter SG ersetzt wurde.

**Bild 2.** Kennlinien  $I_3 = f(I_2)$  eines magnetischen Messverstärkers nach Bild 11 für Burdenwiderständen von 50, 200 und 400 Ohm.

- 17 -

### MAGNETISCHE HULLSTROMVERSTÄRKER

Zur Zusammenfassung der Entwicklungsergebnisse auf dem Gebiet der selbsttätigen Gleichstromkommutatoren und Kompressionsbeschleuniger /22/ hat der Verfasser die Möglichkeit untersucht, dass bei derartiger Messgeräten bisher erforderlichen Wechselstrom-Bürenverstärker durch einen mit Gleichstromvormagnetisierten Drosselpulen arbeitenden, vom Wechselstromnetz gespeisten Gleichstromverstärker zu ersetzen, dessen Eingang der Nullstrom unmittelbar zugeführt wird und der als magnetischer Nullstromverstärker bezeichnet werden kann. Bei den sich selbsttätig abgleichenden Brückenschaltungen und Kompenatoren liegt bekanntlich die grundsätzliche Aufgabe vor, dass bei einer Abweichung von Kompressionszustand im Kompressionsstromkreis (Nullweg) auftretende Ausgleichstrom (Nullstrom) den Eingang einer Verstärkeranordnung ausführen, in deren Ausgang ein gleichzeitig als Nullinstrument und Umschalter, als Nullmotor /23/, wirkendes elektrisches Maschinen ohne mechanische Leistung, z.B. Induktionszähler- oder Brechspulmaschinen, eingeschaltet ist, um die in der Brücke- oder Kompressionsschaltung vorgesehne Abgleichverrichtung (z.B. Schleifdrahtanordnung) im Sinne einer Herbeiführung bzw. Aufrechterhaltung des Kompressionszustandes stattfindet. Da derartige Kompressionsmessgeräte sich sowohl durch die Größe der Eingangs- und Ausgangsleistung des Verstärkungsfaktors und der Ansprechempfindlichkeit als auch durch die Stromart des den Nullmotor zuführten Ausgangstromes unterscheiden, wurden mehrere Ausführungsarten des magnetischen Nullstromverstärkers geschaffen, deren Schaltungsanordnungen, Eigenschaften und Anwendungsmöglichkeiten in folgenden behandelt werden.

#### 1. Erste Ausführungsart des einstufigen magnetischen Nullstromverstärkers

Bild 13 zeigt die Schaltungsanordnung eines vom Wechselstromnetz gespeisten magnetischen Nullstromverstärkers, der bei einer Gleichstrom-Eingangsleitung von etwa 1 mA voll ausgesteuert ist und

- 18 -

hierbei eine Wechselstrom-Ausgangsleistung von etwa 0,5 W zu entnehmen gestattet, wobei der die Stromwicklung eines synchron freien regen Induktionszählgerätes durchfließende Ausgangstrom  $I_3$  in bezug auf Größe und Richtung bzw. Phasenlage der Eingangstrom  $I_1$  (Nullstrom) entspricht. Die aus der Grundschaltung nach Bild 1  $I_1$  (Nullstrom) hervorgegangene symmetrische Differenzschaltung besitzt zwei Paare von richtungsabhängig mit Rückkopplung arbeitenden gleichstromverstärkten Drosselpolen  $L_1 L_2$ ,  $L_3 L_4$  die durch den Steuerstrom  $I_2$  gleichzeitig so erregt werden, dass bei positiven Werten von  $I_2$  die Induktivität  $L_1 L_2$  minimiert und die Induktivität  $L_3 L_4$  abnimmt, während bei negativen Werten von  $I_2$  die Induktivität  $L_1 L_2$  abnimmt und die Induktivität  $L_3 L_4$  zunimmt. Der Isoliertransformator  $T$  hat hierbei eine Mittelanszapfung und speist mit den Teilespannungen  $U_V$ ,  $U_W$  die beiden Stromkreise von  $L_1 L_2$  und  $L_3 L_4$ . In Bild 14 ist die in diesen Stromkreisen fließenden Wechselströme  $I_1$ ,  $I_2$  und der die Widerstand  $R_3$  durchfließende Differentialstrom  $I_3 = I_1 - I_2$  in Abhängigkeit von dem Steuerstrom  $I_2$  dargestellt. Die für die Größe  $R_3$  maßgebende Kennlinie  $I_3 = f(I_2)$  geht durch Null und hat bei kleinen Werten von  $I_2$ , bei 0 bis  $\pm 1A$ , ihre grösste Steilheit.

Bei der aus der Grundschaltung nach Bild 3 hervorgegangenen Differenzschaltung in Bild 15 werden die bei  $I_2 = 0$  vorhandenen Ruhestrome in den Wechselstromwicklungen von  $L_1 L_2$  und  $L_3 L_4$  durch Anwenden der Hilfsgleichströme  $I_H^1$ ,  $I_H^2$  unter Beibehaltung eines bestimmten Verstärkungsfaktors bzw. einer bestimmten Kennlinienstabilität dadurch herabgesetzt, dass in den Drosselpolen  $L_1 L_2$  und  $L_3 L_4$  durch die Hilfsströme  $I_H^1$ ,  $I_H^2$  zusätzliche Gleichstrommagnetisierungen hervorgerufen werden, die den von den Rückkopplungsgleichströmen  $I_G^1$ ,  $I_G^2$  erzeugten Gleichstrommagnetisierungen entgegenwirken. Die Hilfsrelais  $I_H^1$ ,  $I_H^2$  werden einem gemeinsamen, über Vorfiderstände  $R_V$ ,  $R_V'$  an die Sekundärwicklung des mit Mittelanszapfung versehenen Isoliertransformators  $T$  angeschlossenen Gleichrichter  $G$  entnommen und über Vorfiderstände  $R_H^1$  und über einen zum Herbeiführen der Symmetrie dienenden Schleifdrahtwiderstand  $R_S$  den im Sinne der Steuerwicklungen hintereinandergeschalteten Kompensationswicklungen zugeführt. Das Anwenden getrennter Wicklungen für die Hilfsströme  $I_H^1$ ,  $I_H^2$  bringt auch hier einen bestimmten Verlust an Wickelraum für die übrigen Wicklungen mit sich, hat aber den Vorteil, dass die Bemessung der zur Herabsetzen der Ruhestrome dienenden Teile, wie Gleichrichter  $G$ ,

Vorfiderstände

- 29 -

$\Sigma_{\text{V}}$ ,  $\Sigma_{\text{V}}$ ,  $\Sigma_{\text{V}}$  und Kompressionswicklungen für  $I_1'$  und  $I_2'$  von den Abweichungen bzw. von der Anpassung der Steuerwicklungen an den Widerstand des den Steuerstrom  $I_2$  führenden Spannungsverstärkers vollständig umhängig wird. In Bild 14 sind die in den beiden von Transistor T (Teilspannungen)  $V_1$ ,  $V_2$ ) erzeugten Stromrichten fließenden Wechselströme  $I_1'$ ,  $I_2'$  und der die Menge  $I_2$  durchfließende Differenzstrom  $I_2 = I_1' + I_2' - V_2$  in Abhängigkeit von Steuerstrom  $I_2$  dargestellt. Hier zeigt die zur die Menge  $I_2$  umgebende Zonallinie  $I_2 = 0$  ( $I_2$ ) auch null und hat bei kleinen Werten von  $I_2$  eine große Steigung. Allerdings ist der Bereich grösster Steigungswinkel hier etwas oberhalb der die die Hochspannungssteigung bestimmt und die Ausbildung nach Bild 13 (vgl. Bild 14). Bei einem Durchgang des Mittenstromes  $I_2$  gegen die Teilspannungen  $V_1$ ,  $V_2$  um einen  $\alpha^*$  in der Phasen versetzen. Der Strom  $I_2$  und die Werte des Stromes  $V_1$  und den Spannungen  $V_1$ ,  $V_2$  verändern sich entsprechend. Wieder und wieder bei weiterer Anwendung geht  $I_2$  bis  $I_2^*$ . Dies geschieht bei der Verwendung des Verstärkers in Verbindung mit einem Transistor, als Modulator erzielten Zonallinialer-Hochspannungswinkel, dessen Ausbildung unabhängig nicht nur von den Werten, sondern auch von den Abweichungen des der Stromrichtung angehörigen Stromes  $I_2$  abhängig ist. Die Theoriebeschreibt das die Hochspannung umzuteilen, in der Spannungsrichtung fließenden Stromes wird hier zweckmäßig so gewählt, dass der Nullpunkt bei kleinen Werten des Steuerstromes  $I_2$  ein möglichst grosses Bruchmaass erzeugt und somit bei kleinen Abweichungen von Spannungsverstärker mit geringerer Einwirkungskraft arbeitet.

- 19 -

Fig. IV, Fig. 22 und Zusammenwicklungen für  $I_1'$  und  $I_2'$  von den Abhängungen bzw. von der Anpassung des Steuerwinkelwinkels an den Widerstand des den Spannungen  $I_1$  führenden Spannungswinkelwinkels vollständig umfänglich wird. In Bild 16 sind die in den beiden von Transistor T (Teilspannungen)  $V_1$ ,  $V_2$ ) erzeugten Stromrichtungen gleichermaßen Wechselströme  $I_1'$  und  $I_2'$  und das die Menge  $I_1$  durchfließende Differenzstrom  $I_1 = I_1' - I_2'$ ; die Abhängigkeit von Stromströmen  $I_1$  dargestellt. Hier zeigt die die Menge  $I_1$  umgebende Kurve  $I_1 = f(I_1)$  durch Null und hat bei kleinen Werten von  $I_1$  eine große Steigung. Allerdings ist der Bereich grösster Differenzstromdichte hier etwas höher als bei der ohne Reaktionsspannung nach Bild 15 (vgl. Bild 14). In diesem Bereich hat die Mittelstromrichtung  $I_1$  gegen die Teilstromrichtungen  $V_1$ ,  $V_2$  um etwa  $45^\circ$  in der Phase verschoben. Der Winkelwinkel zwischen den Stromen  $I_1$  und den Spannungen  $V_1$ ,  $V_2$  und die Spannungsumkehrwinkel  $\varphi$  ist bei  $I_1 = 0$  gleich  $90^\circ$ . Diese Winkelwinkel ist für das Vervorinthalten des Verstärkers in Verbindung mit einem Transistor, als aufgebaute wirtschaftliche Röhrenschaltung befriedigend, dessen Ausbildung beträchtlich nicht nur von den Röhren, sondern auch von der Phasenlage des der Stromrichtung gegenüberliegenden Stromes  $I_1$  abhängig ist. Die Phasenstellung des die Erhöhung der Spannung bewirkenden, in der Spannungswicklung eingespannten Stromes wird hier zweckmäßig so gewählt, dass der Ballast bei kleinen Werten des Stromes  $I_1$  ein möglichst geringes Bruchmoment erzeugt und somit bei kleinen Abweichungen von Reaktionsspannung mit geringerer Rücksichtskraft arbeitet.

- 20 -

$L'_1$ ,  $L'_2$  und  $L''_1$ ,  $L''_2$  gleichstromvormagnetisierte Drosselspulen

$R_B$  Bürde

$G'$  und  $G''$  Kupferoxydul- oder  
Selen-Trockengleichrichter

$R'_g$  und  $R''_g$  Nebenwiderstände

T Isoliertransformator

$U'$  und  $U''$  Wechselspannungen

$I_g$  Eingangstrom

$I'_B$ ,  $I''_B$  und  $I_B = I'_B - I''_B$   
Ausgangströme

$I'_G$  und  $I''_G$  Rückkopplungs-  
Gleichströme

Bild 13. Aus der Grundschaltung nach Bild 1 hervorgegangene  
symmetrische Differenzschaltung eines magnetischen Nullstrom-  
Verstärkers mit zwei Paaren von richtungsabhängig mit Rück-  
kopplung arbeitenden gleichstromvormagnetisierten Drosselspulen.

Bild 14. Ausgangströme  $I'_B$ ,  $I''_B$  und  $I_B = I'_B - I''_B$  in  
Abhängigkeit von dem Eingangstrom  $I_g$  bei der symmetrischen  
Differenzschaltung nach Bild 13.

- 21 -

|   |   |
|---|---|
| $L'_1$ , $L'_2$ und $L''_1, L''_2$        | gleichstromvormagnetisierte Drosselpulen  |
| $I_B$                                     | Bürde   |
| $G'$ und $G''$                            | Kupferoxydul- oder Selen-Trockengleichrichter   |
| $R'_N$ und $R''_N$                        | Nebenwiderstände  |
| T   | Isoliertransformator  |
| $U'$ und $U''$                            | Wechselspannungen   |
| $I_d$                                     | Eingangsstrom   |
| $I'_B$ , $I''_B$ und $I_B = I'_B + I''_B$ | Ausgangsströme  |
| $I_G$ und $I''_G$                         | Hilfkopplungs-Gleichströme  |
| $I'_H, I''_H$ und $I_H = I'_H + I''_H$    | Hilfgleichströme zum Verkleinern der bei $I_B = 0$ vorhandenen Ruheströme $I'_B$ u. $I''_B$ . |
| G   | Kupferoxydul- oder Selen-Trockengleichrichter<br>dem der Hilfestrom $I_H$ entnommen wird      |
| $R'_Y, R''_Y$ und $R'_M, R''_M$           | Nebenwiderstände  |
| $R_o$                                     | Schleifrichtwiderstände um Herbeiführen<br>der Symmetrie der Differenzschaltung.              |

Bild 15. aus der Grundschaltung nach Bild 5 hervorgegangene  
symmetrische Differenzschaltung eines magnetischen Nullstrom-  
Verstärkers, bei der die bei  $I_B = 0$  vorhandenen Ruheströme  
 $I'_B$  und  $I''_B$  durch die Wirkung der Hilfgleichströme  $I'_H$  und  $I''_H$   
unter Beibehalten einer bestimmten Komplianzteilheit herab-  
gesetzt werden.

- 22 -

Bild 16. Ausgangsströme  $I'_{\beta}$ ,  $I''_{\beta}$  und  $I_{\beta} = I'_{\beta} - I''_{\beta}$  in Abhängigkeit von den Weigangströmen (Halbstromen)  $I_{\beta}$  bei der symmetrischen Differenzschaltung nach Bild 15.

Bild 17 zeigt als Anwendungsbeispiel eine zur elektrischen Fernübertragung von Zeigerstellungen dienende Schaltungseinrichtung, bei der eine Gleichstrom-Brückenschaltung  $R_1 \ x'_1 \ x''_1 \ R'_1 \ x'_2 \ x''_2$  durch ein als Nullmotor wirkendes fremderregtes Induktionszähler-Messwerk A, B, S', S'', das über einen magnetischen Nullstromverstärker nach Bild 13 mit dem Nullsveig der Brückenschaltung verbunden ist, selbsttätig abgeglichen wird. Das Gebergerät z.B. Manometer oder Ringwaage, dessen Zeigerstellung übertragen werden soll, steuert den Schleifkontakt  $K_1$  eines Schleifdrahtwiderstandes  $K_1$ , der über drei Leitungen mit einer zweiten, vom

- 23 -

durch die von Nullmotor 1, 2, 3, 4 bestifteten Schleifdrähteanordnungen  $\tau_1, \tau_2, \tau_3, \tau_4$  und den Mittewiderstandes  $r_1, r_2, r_3, r_4$  verbunden ist. Die so gebildete Brückenschaltung wird von einem über den Vorwiderstand  $R_1$  an den Transistor T angeschlossenen Trockengleichrichter G mit Gleichstrom gespeist. Die Steuerwicklungen des nach Bild 15 geschalteten magnetischen Nullstromverstärkers sind mit den beiden Schleifkontakteen  $\tau_1, \tau_2$  verbunden und werden von einem der jeweiligen Abweichung von Kompensationszustand oder von der Gleichgewichtsbedingung der Brückenschaltung in Bezug auf Größe und Richtung entsprechenden Steuerstrom  $I_s$  durchflossen.

Der Ausgangstrom  $I_s$  des Verstärkers wird der Stromwicklung 3' des Nullmotors mit der Ankerscheibe 4 und dem Bremsmagnet 3 über einen Kondensator  $C''$  zugeführt, dessen kapazitiver Widerstand ( $1/C''$ ) den induktiven Widerstand der Stromwicklung (L) kompensiert ( $L'' = 1/C''$ ). Die aus  $S''$  und  $C''$  bestehende Menge entspricht somit einem reinen Wirkwiderstand  $R_{12}$ , wie er in Bild 15 angedeutet ist. Der die Stromwicklung 3' durchfließende Ausgangstrom  $I_s$  läßt bei kleinen Abweichungen vom Kompensationszustand d.h. bei geringer Aussteuerung des Verstärkers, um annähernd  $90^\circ$  gegen die Spannungen  $U'', U'''$  phasenverschoben. Da zwecks Erzielung eines möglichst großen Drehmomentes des Nullmotors der die Spannungswicklung dieses Motors

- 28 -

durchfliessende Strom  $I$  angeähert um  $90^\circ$  gegen den in der Stromwicklung  $S''$  fliessenden Strom phasenverschoben sein soll, ist die Spannungswicklung  $S'$  mit einem Kondensator  $C'$  in Reihe geschaltet, dessen kapazitiver Widerstand ( $1/ C'$ ) den induktiven Widerstand ( $L'$ ) der Spannungswicklung kompensiert ( $L' = 1/ C'$ ), so dass der Strom  $I$  mit den Spannungen  $U', U''$  phasengleich ist.

Sind die Einstellwinkel  $\alpha_1, \alpha_2$  der Schleifkontakte  $K_1, K_2$  bzw. die diesen Winkel proportionalen Teilwiderstände  $r_1, r_2$  der Schleifdrähte  $R_1, R_2$  einander gleich, dann ist die Brückenschaltung abgeglichen, d.h. der Nullzweig ist stromlos;  $I_B = 0, I_B' = 0$ . Der Nullmotor erzeugt dann kein Drehmoment. Wird aber durch Ändern der Zeigerstellung des Gebergerätes  $\gamma$  bzw. des Einstellwinkels  $\alpha_1$  des Schleifkontakte  $K_1$  das Gleichgewicht in der Brückenschaltung gestört, dann tritt ein der jeweiligen Abweichung vom Gleichgewichtsstand in bezug auf Größe und Richtung entsprechender, die Steuerwicklungen durchfliessender Nullstrom  $I_B$  auf, der einen dieser Abweichung hinsichtlich Größe und Richtung bzw. Phasenlage entsprechenden Aufgangstrom  $I_B'$  und ein entsprechendes Drehmoment des Nullmotors auslöst. Die Drehrichtung der Ankerscheibe  $A$  des Nullmotors wird nun so gewählt, dass  $A$  den Schleifkontakt  $K_2$  im Sinn der angestrebten Kompenstationseinstellung begibt. Dabei ist die jeweilige Drehgeschwindigkeit von  $A$  der Abweichung vom Kompositionszustand proportional. Je näher  $K_2$  an die Kompositionseinstellung herankommt, desto langsamer läuft  $A$ , ein Überschreiten oder Randalieren mit  $K_2$  gekoppelten Anzeige- oder Schreibvorrichtung ist daher ausgeschlossen, wenn die Ankerscheibe durch den Bremsmagneten  $B$  in ausreichend starkem Massen gedämpft wird. Die Anerkennung kann so beweisen werden, dass der Zeiger bzw. die Schreibfeder in etwa 5 bis 7 s über die ganze Skala bzw. nutzbare Schreibbreite läuft, und dass die Einstellzeit bei kleinen Änderungen der Zeigerstellung des Gebergerätes  $\gamma$  nur etwa 1 bis 2 s beträgt. Die betriebsweise auftretenden Spannungs- und Frequenzschwankungen des den magnetischen Nullstromverstärker und den Nullmotor speisenden Wechselstromnetzes, Änderungen des Verstärkungsfaktors u.a. haben, da es sich um ein reines Nullverfahren handelt, keinen Einfluss auf die Messung.

- 26 -

|   |  |
|---|--|
| $L'_1$ , $L'_2$ und $L''_1$ , $L''_2$                             | Gleichstromvormagnetisierte Drosselspulen  |
| $G'$ und $G''$  | Kupferoxydul - oder Selen-Trockengleichrichter   |
| $R'_M$ und $s''_M$  | Nebensideratshäde  |
| $T$   | Isoliertransformator   |
| $U'$ und $U''$  | Wechselspannungen  |
| $I_o$   | Ringstrom (Nullstrom)  |
| $I'_B$ , $I''_B$ und $I_B = I'_B + I''_B$                         | Ausgangströme  |
| $I'_G$ und $I''_G$  | Rückkopplungs-Gleichströme   |
| $A, B, s', s''$ als Nullmotor wirkendes Induktionszähler-Messwerk |  |
| $s'$  | Spannungswicklung dieses Messwerkes  |
| $C'$  | Kondensator für $s'$   |
| $C''$   | Kondensator für $s''$  |
| $M$   | Gebergerät, z.B. Manometer oder Ringwange  |
| $R_1$ , $\alpha_1$ und $R_2$ , $\alpha_2$                         | Schleifdrahtanordnungen m.d. veränderbaren<br>Teilwiderständen $r_1$ und $r_2$ , die den Umschlag-<br>winkeln $\alpha_1$ und $\alpha_2$ den Umschleifkontakte $K_1, K_2$<br>verhältnisgleich sind. |

- 26 -

$r''_1, r''_2$  und  $r''_1, r''_2$

Milfswiderstände

0

Zinnoberoxydul- oder Mangan-Gleichrichter,  
der die Brückenschaltung speist.

4V

Vorwiderstand für den Gleichrichter

1

Milfstrom für die Spannungswicklung  
des Nullmotors

Bild 17. Zur elektrischen Verarbeitung von Leiterstrichen  
dieneende Schaltungsanordnung, bei der eine Gleichstrom-Brückenschaltung  
 $E_1, r'_1, r''_1, R_2, r'_2, r''_2$  durch ein als Nullmotor wirkendes  
transistorregtes Induktivitätsschaltungsmaßwerk A, B, C, D, E, F, G, H, I, J, K, L, M, N, O, P, Q, R, S, T, U, V, W, X, Y, Z, Z', Z'', Z'''  
das über einen magnetischen Gleichstrom-Vorstärker nach Bild 15 mit dem Nullzweig  
der Brückenschaltung verbunden ist, selbsttätig abgeglichen wird.

- 27 -

## 2. Zweite Ausführungsart des einstufigen magnetischen Nullstromverstärkers

In Bild 18 ist die symmetrische Differenzschaltung eines anderen, vom Wechselstromnetz gespeisten magnetischen Nullstromverstärkers dargestellt, der bei einer Gleichstromausgangsleistung von etwa 5 Mikrowatt voll ausgesteuert ist und hierbei eine Gleichstrom-Ausgangsleistung von etwa 5 mA zu entnehmen gestattet, wobei der die Drehspule eines Drehspulmesswerkes ohne mechanische Richtkraft durchfließende Ausgangstrom  $I_3$  in bezug auf Größe und Richtung dem Eingangstrom  $I_3$  (Nullstrom) entspricht. Auch diese Differenzschaltung besitzt zwei Paare von richtungsabhängig arbeitenden Gleichstrommagnetisierten Drosselspulen  $L'_1$ ,  $L'_2$  und  $L''_1$ ,  $L''_2$ , die durch den Steuerstrom  $I_S$  gleichzeitig in der Reihe erregt werden, dass bei positiven Fäden von  $I_S$  die Induktivität  $L'_1$ ,  $L'_2$  zunimmt und die Induktivität  $L''_1$ ,  $L''_2$  abnimmt, während bei negativen Werten von  $I_S$  die Induktivität  $L'_1$ ,  $L'_2$  abnimmt und die Induktivität  $L''_1$ ,  $L''_2$  zunimmt. Die Wechselstromwicklungen der Drosselspulen sind über die Kupferoxydul-Fleckengleichrichter  $G'$  und  $G''$  an die an den beiden Sekundärwicklungen des Isolierraumtransformators  $T$  wirkenden Spannungen  $U'$  und  $U''$  angedeutet;  $U' = U''$ . Der diesen Gleichrichtern über die Vorwiderstände  $R'_V$ ,  $R''_V$  entnommene Differenzstrom  $I_B - I'_B - I''_B$  wird der mit Gleichstrom zu speisenden Bürde  $R_B$  und außerdem den im Sinne der teuerwicklungen hintereinandergeschalteten Rückkopplungswicklungen mit Nebenwiderstand  $R_H$  zugeführt. Die Primärwicklung des Transformators  $T$  ist einerseits mit dem Wechselstromnetz, andererseits über die hochohmigen Vorwiderstände  $R'_H$ ,  $R''_H$  mit einem dritten Kupferoxydul-Fleckengleichrichter  $G$  verbunden, der über zwei Vorwiderstände  $R'_H$ ,  $R''_H$  und über einen zum Einstellen der Schaltungssymmetrie dienenden Schleifdrahtwiderstand  $R_0$  an die im Sinne der Steuerwicklungen hintereinandergeschalteten Polarisiierungswicklungen angelegt ist;  $R'_H = R''_H$ . Die in den Polarisiierungswicklungen fließender konstanten Hilfströme  $I'_H$ ,  $I''_H$  führen eine konstante Vormagnetisierung der Drosselspulen  $L'_1$ ,  $L'_2$ ,  $L''_1$ ,  $L''_2$  und hierdurch die erforderlich Richtungsabhängigkeit (Polarisierung) der Differenzschaltung herbei. Wenn der Steuerstrom  $I_S = 0$  ist, wird die Gleichstrommagnetisierung von  $L'_1$ ,  $L'_2$  und  $L''_1$ ,  $L''_2$  nur durch die konstanten Hilfströme  $I'_H$ ,  $I''_H$  hervorgerufen. In diesem Falle sind, da  $I'_H = I''_H$  und  $U' = U''$  ist, die Induktivitäten von  $L'_1$ ,

- 28 -

$L_2'$  und  $L_1' L_2''$  einander gleich, d.h.  $I_B' = I_B''$  und  $I_B = 0$ . Andernfalls tritt in der Bürde  $R_B$  und in den Rückkopplungswicklungen ein Differenzstrom  $I_B = I_B' - I_B''$  auf, der in bezug auf Grösse und Richtung dem Steuerstrom  $I_B$  entspricht. Die Rückkopplungswicklungen sind so angeschlossen, dass die Gleichströme  $I_S$  und  $I_B$  auf die Drosselpulen im gleichen Sinne vormagnetisierend wirken. Die Windungszahl der Rückkopplungswicklungen wird so gewählt, dass einerseits die gewünschte Vergrösserung des Verstärkungsfaktors erreicht und anderseits die erforderliche Stabilität der Arbeitsweise gewährleistet wird, die wie bei allen Rückkopplungsschaltungen bei einer allzu starken Rückkopplung gestört werden muss. Ein Ändern des Verstärkungsfaktors kann nun dadurch erreichen, dass man die Rückkopplungswicklungen durch einen veränderbaren Nebenwiderstand  $R_B$  überbrückt, sodass diesen Wicklungen nur ein Teil des die Bürde  $R_B$  durchfließenden Ausgangsstromes  $I_B = I_B' + I_B''$  zugeführt wird. Die Kennlinie in Bild 19 zeigt, dass bei Anwenden dieser Rückkopplungsschaltung z.B. durch die Bürde  $R_B = 50 \text{ Ohm}$  durchfließenden Ausgangstrom  $I_B = 6 \text{ mA}$  ein der Steuerwicklung (Widerstand  $R_B = 7 \text{ Ohm}$ ) zugeführte Strom  $I_S = 0,2 \text{ mA}$  so geordnet ist, dass also der durch den Ausdruck  $(I_B^2 R_B) : (I_B^2 R_B)$  gegebene Verstärkungsfaktor  $(0,006^2 \cdot 50) : (0,0002^2 \cdot 7) = 6400$  ist.

- 29 -

|   |  |
|---|--|
| $L'_1, L'_2$ und $L''_1, L''_2$                     | gleichstromvermagnetisierte Drosselspulen  |
| $R_3$   | Mürde  |
| $G^+$ und $G^-$                                     | Kupferoxydul-Trockengleichrichter  |
| $r'_y$ und $r''_y$                                  | Vorwiderstände von $G^+$ und $G^-$   |
| $R_y$   | Hochwiderstand   |
| $T$   | Isoliertransformator   |
| $U, U'$ und $U''$                                   | Spannungsanzeigungen   |
| $I_b$   | Eingangsstrom  |
| $I'_{y1}, I''_{y1}$ und $I_y$ ; $I'_{y2}, I''_{y2}$ | Ausgangsstrome   |
| $I'_{y1}, I''_{y1}$ und $I_y$ ; $I'_{y2}, I''_{y2}$ | Mitströme zum Herbeiführen der<br>Haltungswahlmöglichkeit der Differenzschaltung |
| $G$   | Kupferoxydul-Trockengleichrichter, der der<br>Mitsstrom $I_y$ entsteuert wird    |
| $R'_y, R''_y$ und $R'_{y1}, R''_{y1}$               | Vorwiderstände   |
| $R_0$   | Schleifkraft-Widerstand zum Herbeiführen der<br>Symmetrie der Differenzschaltung |

WIM 18. Symmetrische Differenzschaltung eines magnetischen Ballasten-Vervielfächters, bei der der in der Mürde  $R_3$  fließende Ausgangsgleichstrom  $I_y = I'_{y1} + I''_{y1}$  den im Sinne der Spulenwicklungen hintereinandergeschalteten Rückkopplungswicklungen zugeleitet wird, und zwar darauf, dass die Gleichströme  $I_y$  und  $I_y$  auf die Drosselspulen  $L'_1, L'_2$  und  $L''_1, L''_2$  im gleichen Sinne vermagnetisierend wirken.

- 30 -

Die Ausgangssströme  $I'_B$ ,  $I''_B$  und  $I_B = I'_B + I''_B$  in Abhängigkeit von dem Eingangsstrom  $I_B$  bei der Rückkopplungsschaltung nach Bild 18. Bei  $I_X = 0,2$  ist  $I_B = \pm 6 \text{ mA}$ , d.h.  $I_B/I_B = 30$  und  $I_B^2/I_B^2 = 30$  und  $I_B^2/I_B^2 = 900$ .

**Bild 19.** Ausgangssströme  $I'_B$ ,  $I''_B$  und  $I_B = I'_B + I''_B$  in Abhängigkeit von dem Eingangsstrom  $I_B$  bei der Rückkopplungsschaltung nach Bild 18. Bei  $I_X = 0,2$  ist  $I_B = \pm 6 \text{ mA}$ , d.h.  $I_B/I_B = 30$  und  $I_B^2/I_B^2 = 30$  und  $I_B^2/I_B^2 = 900$ .

- 31 -

Bild 20 zeigt als Anwendungsbispiel eine zur Spannungsabhängigen Messung von Widerständen dienende Kompressionsmessseinrichtung, bei der ein den zu messenden Widerstand  $R_3$  (z.B. Widerstandsthermometer) enthaltende Brückenschaltung  $R'_1 R''_1 R'_2 R''_2 R_3 R_4$  durch ein mit dem magnetischen Nullstromverstärker nach Bild 18 zusammenarbeitendes, als Nullmotor wirkendes Drehspulmesswerk  $N$  ohne mechanische Richtkraft selbsttätig abgleichen wird. Die Rückenschaltung ist abgeglichen, d.h. der Steuerstrom  $I_S = 0$ , wenn

$$(R'_1 + R''_1) : (R'_2 + R''_2) = R_3 : R_4$$

ist. Beim Ändern von  $R_3$  tritt der die Steuerwicklungen des Verstärkers durchflossende Ringstrom  $I_S$  auf, der den ihm im bezug auf Größe und Richtung entsprechenden, dem Drehspulinstrument  $N$  zugeführten Ausgangstrom  $I_B$  hervorruft. Die Drehspule  $S$  des Drehspulmesswerkes  $N$  stellt den Schleifkontakt  $\kappa$  des Schleifdrähtes  $R'_1, R'_2$  selbsttätig so ein, dass  $I_B = 0$  wird. Die Widerstandsverhältnisse in der Brückenschaltung werden nun so gewählt, dass 1. bei der dem Skalenanfang entsprechenden Schleifkontakteinstellung, d.h. bei  $R'_1 = 0$ , beim Höchstwert von  $R'_2$  und beim Kleinstwert von  $R_3$ , der  $R'_3$  genannt wird (z.B.  $R'_3 = 100 \text{ Ohm}$ ), die Bedingung

$$R'_3 = R_4 \frac{R'_1}{(R'_2 + R''_2)}$$

erfüllt ist, und dass 2. bei der dem Skalenende entsprechenden Schleifkontakteinstellung, d.h. bei  $R'_1 = 0$ , beim Höchstwert von  $R'_2$  und beim Höchstwert von  $R_3$ , der mit  $R'_3 + \varepsilon R_3$  bezeichnet wird (z.B.

$R'_3 + \varepsilon R_3 = 100 \text{ Ohm} + 10 \text{ Ohm} = 110 \text{ Ohm}$ ), die Bedingung

$$R'_3 + \varepsilon R_3 = R_4 \frac{(R'_1 + R''_1)}{R''_2}$$

erfüllt ist. Dann ist jedes Wert von  $R_3$  ein bestimmter Wert von  $\kappa$ , d.h. ein bestimmter Ausschlagwinkel des Schleifkontakte  $\kappa$  bzw. der Schraubfeder zugeordnet. Der Skalenverlauf ist, wenn  $\varepsilon R_3 = 0.1 \cdot R'_3$  ist, praktisch linear.

- 32 -

- $L_1$ ,  $L_2$  und  $L_3$ ,  $L_4$       gleichstromvermagnetisierte Drosselspulen  
 $G'$  und  $G''$       Kupferoxyd-Trockengleichrichter  
 $r_1'$  und  $r_2'$       Vorwiderstände von  $G'$  und  $G''$   
 $R_1$       Leitwiderstand  
 $T_1$       Isolierttransformator  
 $U_1$  und  $U_2$       Wechselspannungen  
 $I_{H1}$       Anzugsstrom (Ballstrom)  
 $I_{A1}, I_{A2}$  und  $I_{A3} = I_1 - I_2$       Ausgangsstrom  
 $I_{A1}', I_{A2}'$  und  $I_{A3}' = I_{H1}' + I_{H2}'$       Hilfströme zum Herbeiführen der Haltung  
 $\Theta$       Kupferoxyd-Trockengleichrichter, dem der Hilfstrom  $I_H$  entzogen wird  
 $R_1'$ ,  $R_2'$  und  $R_1'', R_2''$       Vorwiderstände  
 $R_0$       Schleifdruck-Widerstand zum Herbeiführen der Symmetrie der Differenzschaltung  
 $s$       Drehspul-Mallinstrument ohne mechanische Richtkraft, das als Nullmotor wirkt und den Schleifkontakt  $K$  der Schleifdrahtanordnung  $N_1$ ,  $B_2$  steuert  
 $R_1^M$  und  $R_2^M$       Vorwiderstände von  $N_1$ ,  $B_2$   
 $R_3$ ,  
 $R_4$ ,  
 $E_V$ ,  
 $U_M$       Widerstandsthermometer  
 unveränderlicher Vergleichswiderstand  
 Vorwiderstand  
 Messspannung

- 33 -

$I_H$

$S$

$S_H$

#### Messstrom

erste Drehspul-Wicklung, die von dem Ausgangstrom  $I_H$  durchflossen wird.

$R_H$  mit der die Hilfströme  $I_H^1$ ,  $I_H^2$  führenden Wicklungsgruppe den die differenzierende Rückführung bewirkenden Strom  $I_S$  aufweist.

Bild 20. Schaltungsaufbau eines zur spannungsabhängigen Messung von Widerständen ( $R_S$ ) dienenden Gleichstromkompensators, der durch ein als Nullmotor wirkendes Drehspulmesswerk ohne mechanische Rückkraft selbsttätig abgeglichen wird. Der Nullstrom  $I_N$  wird den Eingangswicklungen des magnetischen Nullstrom-Vermehrers nach Bild 18 zugeführt.

Das Messen ist grundsätzlich unabhängig von Änderungen der an der Brückenschaltung vorkommenden Spannung, weil die Gleichgewichtsbedingung nur Widerstandsgrößen enthält. Unter Voraussetzung einer der vollen Aussteuerung des Verstärkers entsprechenden Eingangsspannung von 5 mV ist es beispielsweise möglich, bei einer Widerstandsthermometermessung den Messbereich 100 bis 112 Ohm (0 bis 30°C) auszuführen, wobei die Strombelastung des Platinwiderstandsthermometers  $R_S$  nur etwa 5 mA beträgt, ein störender Magnetisierungsfehler also nicht auftreten kann.

Die Untersuchung eines nach Bild 20 geschalteten selbsttätigen Gleichstromkompensators wurde mit einem Drehspul-Tintenschreiber (Drehspulwiderstand 50 Ohm) durchgeführt, der für den vorliegenden Zweck mit einem hochohmigen Schleifdrähtewiderstand ( $R_f + R_g = 200$  Ohm für eine Schleifkontaktebewegung von 90°) ausgerüstet war. Die in einer kräftigen Zapfenlagerung gelagerte Achse der Drehspule trägt einen aus zwei dünnen Blatindrähten bestehenden Schleifkontakt; die Stromzuführung zur Drehspule und zum Schleifkontakt geschieht dabei über drei dünne, praktisch rückkreifreie Metallbändchen. Die über dem durch ein Uhrwerk angetriebenen Registrierstreifen mit 120 mm nutzbarer Schreibbreite sich bewegende Schreibfeder ist über einen Klimmenlenker für linearen Skalenverlauf mit der Achse der Drehspule gekuppelt. Als Dämpfungsvorrichtung kann bei derartigen Tintenschreibern entweder eine magnetische Dämpfung, z.B. Kupfer- bzw. Aluminiumrahmen, auf dem sich die Drehspulwicklung befindet, oder kurzgeschlossene Zusatzwicklung oder eine L-dämpfung vorgesehen werden.

- 34 -

Zunächst zeigte sich, dass das Schreibgerät bei dem genannten Messbereich eine praktisch vollständig anstrechende Einstellkraft entwickelt: Die Schreibfeder stellte sich im ganzen Skalenbereich auf etwa  $\pm 0,5$  mm genau ein. Die Einstellgenauigkeit beträgt also etwa  $\pm 0,5\%$  von Skalenumfang. Weiterhin wurde beobachtet, dass ein einspannfreier Einstellvergang zunächst nur bei Anwesen einer starken Regelung erreichbar war, wobei die Einstellzeit etwa 3 s betrug. Wenn das Schreibgerät nicht genügend stark gedämpft ist, pendelt der Zeiger des Gerätes unangenehm zwischen den Zeigerstellungen hin und her. Diese Frecheinigung des Regelschwingens, die auch bei den sogenannten selbstkompensierenden Gleichstromverstärkern F30V, insbesondere bei den mit thermischer Trägheit behafteten Polanometer-Vorstärkern festgestellt wurde /23/, ist im vorliegenden Fall auf die durch die Instabilitäten der Stromkreise des magnetischen Nullstromverstärkers verursachte magnetische Trägheit zurückzuführen, die durch eine Zeitkonstante von etwa 0,3 bis 0,5 s beschrieben werden kann. Wie bei den selbstkompensierenden Vorstärkern, so kann auch bei der vorliegenden Drosselstufenanordnung der Einstellvergang durch Anwesen einer elastischen Rückführung wesentlich verbessert bzw. verstärkt werden. In Bild 20 ist eine dargestigte Ausführung mit differenzierender Rückführung dargestellt, bei der das Drehspulennetzwerk II zwei voneinander isolierte und mit je zwei praktisch richtkraftfreien Stromumkehrungswinden versehene Wicklungen besitzt, von denen die erste S von den Ausgangssätzen  $I_1$  durchflossen wird, während die zweite S<sub>2</sub> über einen hochohmigen Verwiderstand R<sub>2</sub> an die Polarisierungswicklungen angeschlossen ist. Der dieser Wicklung zugeleitete, die differenzierende Rückführung bewirkende Strom I<sub>2</sub> entspricht jeweils der Drehgeschwindigkeit der Drehspule U, S<sub>D</sub>, die bei dem Einstellvergang von einem bestimmten Endwert ausgehend stetig abnimmt und nach Erreichen des Kompensationszustandes, d.h. bei stillstehender Drehspule, gleich Null ist. Durch Verändern der Größe des Verwiderstandes R<sub>2</sub> kann man den Einfluss der differenzierenden Rückführung auf den zeitlichen Verlauf des Einstellvergangen verändern und leicht erreichen, dass der Zeiger des Schreibgerätes sich periodisch einstellt, wobei die Einstellzeit nur etwa 1 s beträgt.

- 35 -

### 3. Eigenschaften und Einflussgrößen der einstufigen magnetischen Nullstromverstärker.

Die beschriebenen, richtungsschaltung mit Rückkopplung arbeitenden Differenzschaltungen mit zwei Paaren von gleichstromvormagnetisierten Drosselpulpen ermöglichen die Schaffung hochempfindlicher magnetischer Nullstromverstärker, deren Eigenschaften und Einflussgrößen im folgenden gekennzeichnet sind:

Die Verstärker müssen eine durch Null gehende Komplianz  $I_p = f(I_g)$  auf, die bei kleinen Werten von  $I_g$ , d.h. bei kleinen Abweichungen vom Sättigungszustand, ihre grösste Steilheit hat und hier den Höchstwert des Verstärkungsfaktors ergibt. Der durch das Verhältnis zwischen Ausgangs- und Eingangsleistung definierte Verstärkungsfaktor, der in den Bereich der grössten Komplianzteilheit seinen Höchstwert hat, kann auf Werte von 1000 bis 3000 bzw. 4000 bis 10 000 gebracht werden, die zum Betätigen von Relaisstufen ausreichen. Die Verstärker sind bei einer Eingangsleistung von etwa 1 mW bzw. 5 uW vollausgenutzt und erzeugen hierbei eine Ausgangsleistung von etwa 0,5 mW bzw. 5 mW (Verstärkungsfaktor 500 bzw. 1000). Ihre Ansprechempfindlichkeit beträgt etwa  $10^{-8} \text{ A}$  bzw.  $10^{-11} \text{ A}$ . Die Nullpunktsicherheit, die darin besteht, dass der magnetische Verstärker beim Eingangsstrom Null keinen sich in unzulässiger Masse auswirkenden Ausgangstrom hervorruft und in derselben Größenordnung wie die Ansprechempfindlichkeit liegen soll, ist für die praktische Brauchbarkeit eines derartigen Verstärkers von entscheidender Bedeutung. Die Auswirkung der verschiedenartigen in Betracht kommenden Einflussgrößen auf die Nullpunktsicherheit liegt innerhalb der praktisch zulässigen Grenzen.

Die Zeitkonstanten der einzelnen Stromkreise des magnetischen Nullstromverstärkers können so gewählt werden, dass störende Verzögerungerscheinungen nicht auftreten. Die minimalen Zeitkonstanten des Verstärkers mit einem im Ausgangstromkreis liegenden Ampermesser beträgt bei dem Verstärkungsfaktor 50 nur etwa 1,5 s.

- 36 -

Eine störende Beeinflussung der Nullpunktsicherheit durch magnetische Hysterese tritt nicht auf. Bei der angewandten Wechselstrommagnetisierung mit etwa 3000 Gauss und Jen in Betracht kommenden Gleichstrommagnetisierungen sind Hystereseschwingungen nicht nachweisbar.

#### 4. Bauliche Ausführung der einstufigen magnetischen Nullstromverstärker

Wie aus Bild 21 zu erkennen ist, sind die vier Drosselspulen  $L_1^u$ ,  $L_2^u$ ,  $L_1^v$ ,  $L_2^v$ , die drei Kupferzyndl-Dreieckgleichrichter /46/  $G'$ ,  $G''$ ,  $G$ , der Isoliertransformator  $T$ , der als Nullpunktsteller dienende Schleiferahtwiderstand  $R_1$  und die einzelnen Hilfswiderstände  $R_f$ ,  $R_g^u$ ,  $R_g^v$ ,  $R_h^u$ ,  $R_h^v$ ,  $R_{\text{V}}$  des nach Bild 15 bzw. 18 geschilderten einstufigen magnetischen Nullstromverstärkers in zylindrische Hülle eingebaut, das die Abmessungen  $23 \times 16 \times 15 \text{ cm}^3$  hat. Eine merkbare Erwärmung dieser Teile tritt nicht auf, da der Energieverbrauch dieser Verstärker nur etwa 2 bis 4 VA beträgt. Die Verstärker können durch entsprechendes Bemessen der Anfangs- und Ausgangswicklungen der jeweils vorliegenden Widerstandsverhältnisse des Eingangs- (Steuer-) und Ausgangs- (Birden-) Stromkreises leicht angepasst werden.

#### 5. Zweistufige magnetische Nullstromverstärker

Denn wenn in den Ausgangsstromkreis eines als Eingangsstufe wirkenden Nullstromverstärkers die Steuerwicklungen eines zweiten derartigen Verstärkers, der als Ausgangsstufe wirkt, einfigt, gelangt man zu einem zweistufigen magnetischen Nullstromverstärker, dessen Verstärkungsfaktor gleich dem Produkt der Verstärkungsfaktoren der Eingangs- und Ausgangsstufe ist. Eine solche Anordnung hat den Verstärkungsfaktor  $10^7$ , der mit einem zweistufigen magnetischen Verstärker erstaunlich erreicht werden konnte.

- 57 -

In Bild 22 ist als Beispiel ein zweistufiger magnetischer Nullstromverstärker in Kaskadeanschaltung dargestellt, der aus zwei Differenzschaltungen nach Bild 15 besteht, die über einen gemeinsamen Isoliertransformator T mit zwei voneinander isolierten Sekundärwicklungen an das Schmelzstromnetz angeschlossen sind. Die Burde  $R_B$  liegt hier an der Sekundärwicklung eines Differenztransformators  $T_D$ , dessen voneinander isolierte Primärwicklungen von den beiden Teilströmen  $I_g^1$  und  $I_g^2$  der Ausgangsstufe kurzgeschlossen werden. Die beiden Teilströme der Eingangsstufe werden durch die Gleichrichter  $G^1$ ,  $G^2$  gleichgerichtet und als Gleichströme  $I_g^1$ ,  $I_g^2$  in den eine Gleichstrombirde darstellenden Steuerwicklungen der Ausgangsstufe überlagert, sodass in diesen Steuerwicklungen der Differenzstrom  $I_D = I_g^1 - I_g^2$  fließt.

Allesverständlich ist die Nullpunktsicherheit bei einer Kettenanordnung, auf eine besonders hohe Verstärkung verzasteten zweistufigen Nullstromverstärker geringer als bei den beschriebenen einstufigen Anordnungen, weil sich die verschiedenartigen Einflussgrößen bei einer mehrstufigen Anordnung stärker bemerkbar machen. Der zweistufige magnetische Nullstromverstärker nach Bild 22 mit einem Verstärkungsfaktor von  $10^7$ , dessen Kennlinien  $I_B = f(I_g)$  für die Burdenwiderstände  $R_B = 100 \text{ Ohm}$  und  $R_B = 4,1 \text{ Ohm}$  in Bild 23 dargestellt sind, ist für kurzeitige Messungen, bei denen keine stärkeren Temperaturschwankungen vorkommen, praktisch brauchbar, zumal der Nullpunkt jederzeit leicht kontrolliert und durch Verändern eines als Nullpunktateller dienenden, stetig regelbaren Hilfswiderstandes in einfacher Weise nachgestellt werden kann. Die zweistufigen Anordnungen eignen sich für solche Sonderaufgaben im Betracht, bei denen es weniger auf eine vorzügliche Konstanz des Nullpunktes als auf einen grossen Verstärkungsfaktor ankommt, beispielsweise auch für Relaiseinrichtungen, denen ein Ausgangstrom von veränderlicher Richtung entnommen wird, wobei der Ausgangstrom den Eingangsstrom in Bezug auf Grösse und Richtung entspricht.

- 38 -

 $I_B + I_B' = 15$ 

Eingangsstrom der Eingangsstufe

Bild 19. Fussadernennzeichnung eines zweistufigen magnetischen Ballistron-Verstärkers, der aus zwei symmetrischen Stufen mit gleicher Stufenzahl besteht.

Bild 21. Realische Ausführung eines nach Bild 15 bzw. 16 geschalteten einstufigen magnetischen Ballistron-Verstärkers.

Während die Bezeichnungen  $I_B + I_B'$  die unterschiedlichen Größen der zugehörigen Spulen für die Gleichstromvermagnetisierung des Ringeisens kennzeichnen, sind die Bezeichnungen  $I_{B_1}$ ,  $I_{B_2}$  und  $I_{B_3}$  mit diesen nicht gleichzusetzen.

#### Erläuterungen zu den Bezeichnungen:

$I_{B_1}$ ,  $I_{B_2}$  und  $I_{B_3}$  sind die Bezeichnungen der Gleichstromvermagnetisierungsströme der drei einzelnen Stufen.

$I_{B_1}$ ,  $I_{B_2}$  und  $I_{B_3}$  sind die Bezeichnungen der Gleichstromvermagnetisierten Drosselspulen der Ringeisengruppe.

$I_{B_1}$ ,  $I_{B_2}$  und  $I_{B_3}$  sind die Bezeichnungen der Gleichstromvermagnetisierten Drosselspulen der Ausgangsstufe.

$G_1$ ,  $G_2$ ,  $G_3$  und  $G_4$  sind die Bezeichnungen der Eisen-Trockengleichrichter der Viergangsstufe.

$G_2$  und  $G_2'$  sind die Bezeichnungen der Eisen-Trockengleichrichter der Ausgangsstufe.

$T_1$  ist die Bezeichnung des Invertiertransistorformators.

$R_P$  ist die Bezeichnung des Bleiweges.

$T_D$  ist die Bezeichnung des Differenztransformators.

$I_B^1$ ,  $I_B^2$  und  $I_B^3$  sind die Ausgangsstrome.

$I_B$  ist die Bezeichnung des Eingangsstroms der Eingangsstufe.

- 39 -

$I_1 = I_2 = I_3 = \dots$  Ring augmentation with superpotency.

Bild 22. Zuschaltung einer zweistufigen magnetischen Nullstromverstärkers, der aus zwei symmetrischen Differenzschaltungen nach Bild 1 besteht.

Bild 23. Kondensator-Längenf (Lg.). Der aus der zentralen magnetischen Nullstrahl-Festkörper- und Endstrahlabschirmung entstehende ZF-Feld ist um 41% längerenwirksamer.  $E_p = 140$  und 400 MHz erreichbar. Verstärkungsfaktor von  $10^7$ . Nach dem Vierpolen-Resonanzfilter wird direkt eine 1000

**AUFGABE 10:** **WIRKUNG VON VERSTÄRKE**  
Zahlreich sind die Ausbreitungsgebiete der beschriebenen magnetischen Verstärker; diese können in Verbindung mit Kompressions- und Brückenschaltungen aller Art, insbesondere auch bei elektrisch-tätig abgleichenden Hochbrücken und Kommutatoren, benutzt werden.

Bei den auf dem Markt befindlichen Verstärkern 827/ berührungsseitigen Gleichstromkomplementoren, die bekanntlich nur leistungsgleiche Mischung von Strömen und Spannungen und zum Gedanken von sehr kleinen, z.B. von elektrischen Messgeräten erzeugten Drehmomenten verwendet werden, kann man den einen Komplementationsverstärker Y287 mit Polimeter- oder Photosellenaufordnung oder dgl. entnommene Gleichstrom der Steuerwicklungen des magnetischen Verstärkers zuführen; den Ausgangsgleichstrom dieses beispielweise nach Bild 18 geschalteten Verstärkers kann man

- 40 -

zum Speisen des die zu messende Grösse anzeigen den, aufzeichnenden oder integrierenden Strommesser und des Kompensationswiderstandes verwenden. An letzterem wird sie zur Kompensation der zu messenden Spannung dienende Vergleichsspannung oder der zur Kompensation des zu messenden Stromes bzw. Drehmomentes dienende Vergleichsstrom abgenommen.

Eine andere Möglichkeit besteht darin, den dem Kompensationsmessverstärker entnommenen und der zu messenden Grösse verhältnisgleichen Gleichstrom mit einem auf dem Schleifdrahtverfahren 329/ beruhenden selbsttätigen Gleichstromkompensator mit einem magnetischen Verstärker fortlaufend zu messen und an einer von einem Nullmotor gesteuerten und von einem konstanten Strom durchflossenen Schleifdrahtanordnung mit Anzeige- oder Schreibwerk als Schleifdrahtlinie bzw. Ausschlagsinkel eines Schleifkontaktees linear abzubilden. Hierbei wird der von Kompensationsverstärker entnommene Gleichstrom oder ein von ihm an einen Hilfswiderstand herverursachter Spannungsabfall oder die von ihm durch eine Steuerwicklung erzeugte elektromagnetische Wirkung selbsttätig kompensiert durch eine entsprechende, mit der Schleifdrahtanordnung stetig regelbare Vergleichsgrösse, wobei die beiden durch Strom-, Spannungs- oder Amperewindungsüberlagerung gegenseitig kompensierten Größen gleichzeitig und in entgegengesetztem Sinne auf die Steuerwicklungen der beiden Drosselspulenpaare des magnetischen Nullstromverstärkers einwirken.

Die Steuerwicklungen der beschriebenen magnetischen Verstärker, die der Wicklung eines Nullgalvanometers entsprechen, können, wie dies in den beiden Anwendungsbeispielen nach Bild 17 und 20 dargestellt ist, aus einer einzigen Wicklungsgruppe bestehen, die von dem in dem Nullstromkreis der Kompensations- oder Brückenschaltung fliessenden Ausgleichstrom durchflossen wird. Um bei Summen- und Differenzschaltungen eine Summen- bzw. Differenzbildung von Strömen oder Spannungen zu ermöglichen, kann man die auf die Drosselspulenpaare des magnetischen Verstärkers gleichzeitig einwirkenden Steuerwicklungen durch mehrere magnetisch verkettete Wicklungsgruppen ersetzen, denen mehrere miteinander zu vergleichende Strome einzeln zugeführt werden. Beispielsweise können diese Teilströme

- 41 -

ähnlich wie bei einem Differentialgalvanometer aus zwei gleichartigen Wicklungen, z.B. aus zwei isolierten, gleichzeitig aufgewickelten Drähten, bestehen, in denen zwei nacheinander zu vergleichende Ströme, etwa die beiden Zweigströme einer Differenzschaltung, fließen. Bei Gleichheit dieser beiden Ströme sind die resultierenden Amperewindungen der Ständerwicklungen und der Ausgangstrom des magnetischen Verstärkers gleich null; andernfalls ergibt sich ein den Niederspannungswiderstand durchfließender Ausgangstrom, der hinsichtlich Größe und Richtung der jeweiligen Differenz dieser beiden Ströme entspricht. Derartige Schaltungen sind auch für Permamessungen /34/ verwendbar.

Die Anwendungsmöglichkeiten der beschriebenen, an sich als Gleichstromverstärker wirkenden magnetischen Verstärker erstrecken sich auch auf viele Gebiete der Techno-elektron-messtechnik. Hier können die verschiedenartigen Wechselstromgrößen und ihre Vektor- und Blotkomponenten mit phasenabhängig arbeitenden Gleichrichteranordnungen in entsprechende Gleichstromgrößen umgeformt und dann mit den erwähnten, für Gleichstrommessungen üblichen Verfahren gemessen werden.

#### ZUSAMMENFASSUNG

Durch besondere Schaltungseinrichtungen mit entsprechend bemessenen Gleichstromvormagnetisierten Drosselpulpen ist es möglich, mit verhältnismäßig schwachen Gleichströmen bedeutend stärkere Wechselströme gesetzmäßig zu verstärken und auf diese Weise eine Verstärkerwirkung zu erreichen. Hierbei ist der Verstärkungsfaktor definiert durch das Verhältnis zwischen der dem Stromverbraucher, z.B. Glühlampe, Relais oder Kesselschiff, zugeführten Ausgangsleistung und der aus der Stärke des Gleichstromes und dem Widerstand der Ständerwicklung sich ergebenden Eingangsleistung.

Nach einem geschichtlichen Überblick über die Entwicklung dieser mit Gleichstromvormagnetisierten Drosselpulpen arbeitenden sogenannten magnetischen Verstärker, die vielfach auch Eisenverstärker genannt werden, werden folgende Ausführungsarten von magnetischen Verstärkern und ihre Anwendungen beschrieben:

- 42 -

1. Als kontaktfreies Relaiswirkendes magnetische Verstärker, mit denen durch Ein- und Ausschalten oder durch Verändern eines von Steuerwicklungen ausgeführten Eingangstromes ein bedeutend stärkerer Ausgangstrom erstaunlich beeinflusst und beispielsweise mit einer Eingangsleistung von etwa 1 bis 3 mW eine Ausgangsleistung von etwa 0,3 bis 1 W gesteuert werden kann. Die zwischen dem Eingangs- und Ausgangstrom bestehende Gesetzmässigkeit erfährt durch die in Betracht kommenden Einflussgrössen keine praktische unzulässige Störung, sammelt es bei der Verwendung eines magnetischen Verstärkers als Teil des lediglich darauf ankommt, dass im Ausgangstromkreis liegenden Gerät bei einem bestimmten Wert des Eingangstromes einen zum sicheren Anstreichen dieses Gerätes ausreichenden Ausgangstrom zur Verfügung zu stellen.

2. magnetischer Messverstärker, der ermöglicht, einen z.B. einen Drehspul-Tatenschreiber oder Gleichstrom-Amperestandsmüller auszuführenden Ausgangstrom zu erzeugen, der praktisch nur vom Eingangstrom abhängig ist, von den verschiedenartigen Einflussgrössen jedoch nur in sehr geringem Massse, etwa 1 bis 3 % vom Sollwert, beeinflusst wird. Zur Beseitigung des Spannungseinflusses ist ein kleiner elektromagnetischer Spannungsgleichhalter vorgesehen, der auch den Einfluss von Frequenzschwankungen nahezu aussgleicht. Um den hauptsächlich durch den in Rückkopplungsstromkreis liegenden Kupferoxydul- oder Salen-Trockengleichrichter hervergerufenen Temperatureinfluss, der auch durch besondere Anschaltungen mit temperaturempfindlichen Hilfswiderständen nicht in ausreichendem Massse ausgeglichen werden kann, auf die bei einem Messverstärker zulässige Grössse zu bringen, wurde dieser Gleichrichter durch einen synchrone erregten Schwinggleichrichter ersetzt, der bekanntlich keinen störenden Temperatureinfluss verursacht, wenn seine Erregwicklung von einem Strom durchflossen wird, dessen Phasenlage temperaturunabhängig ist.

- 43 -

3. Erste Ausführungsart eines einstufigen magnetischen Nullstromverstärkers für mit einem Wechselstrom-Millmotor (Induktionsmotor-Schaltwerk) arbeitende selbsttätige Messbrücken und Kompensatoren, der bei einer Gleichstrom-Risikoleistung von etwa 1 mW voll ausgenutzt ist und hierbei eine Wechselstrom-Ausgangsleistung von etwa 0,5 % zu entnehmen gestattet, wobei der Ausgangstrom in Bezug auf Größe und Richtung bzw. Phasenlage des Eingangstroms (Nullstrom) entspricht. Bei kleinen Anstellungen bzw. geringen Abweichungen vom Kompensationsszustand ist der Verstärkungsfaktor gleich 1000 bis 3000. Die Auswirkung der verschiedenartigen Einflussgrößen auf die Nullpunktssicherheit liegt innerhalb der praktisch zulässigen Grenzen.
4. Zweite Ausführungsart eines einstufigen magnetischen Nullstromverstärkers für mit einem Gleichstrom-Hallmotor (Drehspul-Kesslertyp) ohne mechanische Richtkraft arbeitende selbsttätige Messbrücken und Kompensatoren, der bei einer Gleichstrom-Risikoleistung von etwa 5 Mikrowatt voll ausgenutzt ist und hierbei eine Gleichstrom-Ausgangsleistung von etwa 5 % zu entnehmen gestattet, dabei der Ausgangstrom in Bezug auf Größe und Richtung des Eingangstroms (Nullstrom) entspricht. Bei kleinen Anstellungen bzw. geringen Abweichungen vom Kompensationsszustand ist der Verstärkungsfaktor gleich 6000 bis 10 000. Die Auswirkungen der verschiedenenartigen Einflussgrößen auf die Nullpunktssicherheit liegt auch hier innerhalb der praktisch zulässigen Grenzen.
5. Zweistufige magnetische Nullstromverstärker zur Lösung von solchen Sonderanforderungen, bei denen es weniger auf eine vorsprüngliche Konstanz des Nullpunktes als auf einen sehr grossen Verstärkungsfaktor ankommt, z.B. für Kurzzeitige Drosselungen oder für Helaiseinrichtungen. Derartige Anordnungen (Ankopplungsschaltungen) bringen den Verstärkungsfaktor  $10^7$ , der mit einem zweistufigen magnetischen Verstärker erstmalig erreicht werden konnte.

- 44 -

Die beschriebenen magnetischen Verstärker, die zahlreiche Anwendungsmöglichkeiten der Mess- und Regeltechnik haben, bieten die wertvolle Möglichkeit, einerseits die durch Einführen der Elektrorenöhre in die Mess- und Regeltechnik gebrachten Vorteile mit Be- satz der intermittierend arbeitenden Verfahren durch stetige beizubehalten, anderseits über die mit Transistorverstärkern auf manchen Anwendungsbereichen verbotenen Nachteile hinwegzutreten, wie begrenzte Lebensdauer der Röhren, Nachteile der Röhren bei rauen Betriebsverhältnissen, Schwierigkeiten beim Verstärken kleiner Gleichspannungen, usw. vornekommt. Die magnetisch verstärkten Verstärker, die rein elektrisch, also ohne irgendwelche mechanisch bewegten Teile, gearbeiten arbeiten, traktionsmäßig übertragen sind und sich somit durch besondere Zuverlässigkeit und Betriebssicherheit auszeichnen, dürften daher für die Mess- und Regeltechnik eine große Bedeutung erlangen.

#### Über die patentierte

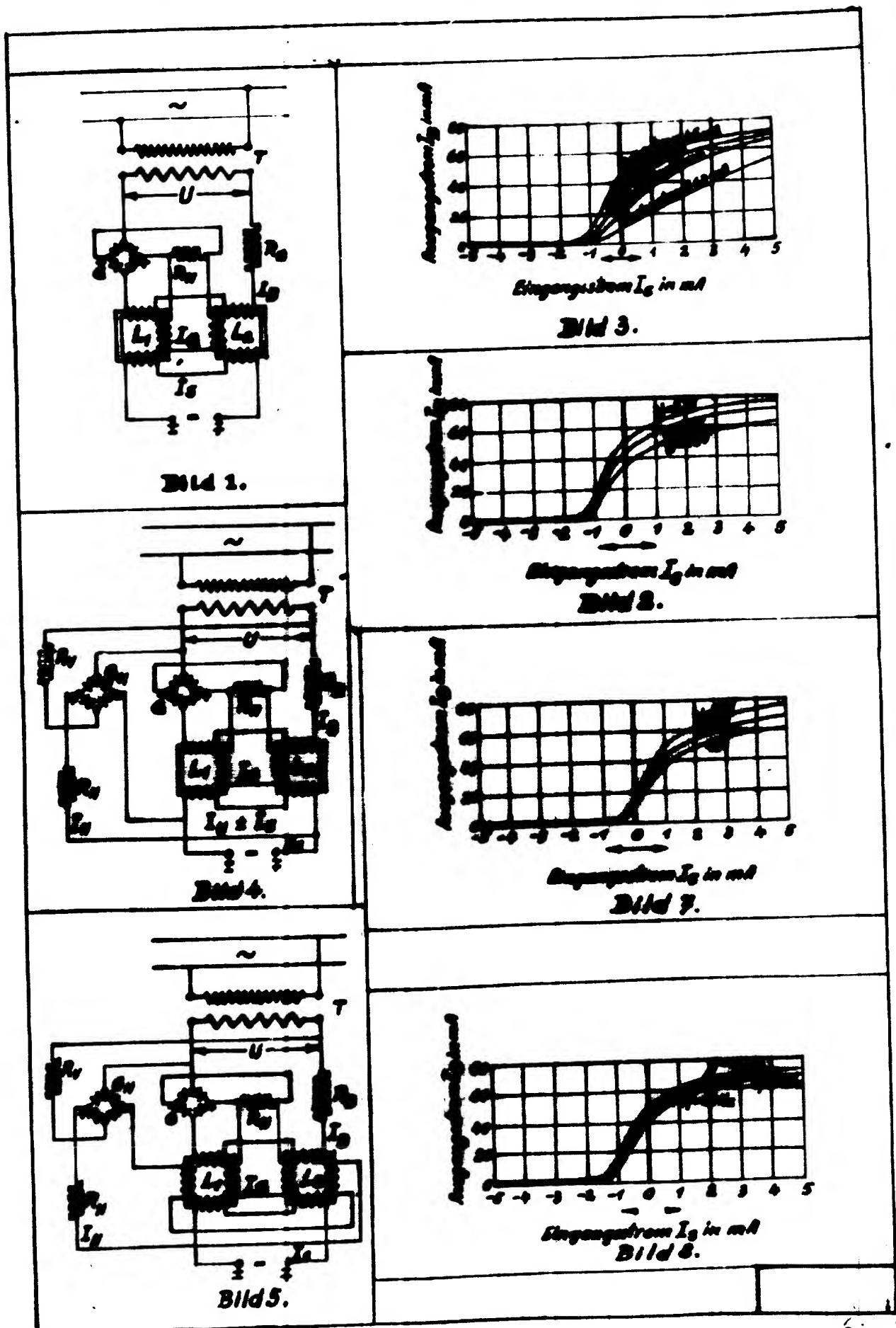
- /1/ G. HAGENAUER: Gleichstromverstärkende Drosselspulen. PTZ 58 (1937) S. 995 u. 996. - Beitrag zur qualitativen Theorie gleichstromverstärkter Eisenprozessspulen. Arch. Elektrotech. 59 (1937) S. 41. W. SCHNECK: Der Techniklasse einer Eisenprozessspule mit überlagelter Gleichstromverstärkung. Arch. Elektrotech. 52 (1935) S. 425. Th. WASSERBL. Zur qualitativen Theorie gleichstromverstärkter Eisenprozessspulen. Arch. Elektrotech. 51 (1937) S. 814. W. SCHNECK: Über schwingende Berechnung von gleichstromverstärkenden Drosseln. Arch. Elektrotech. 55 (1939) S. 555. K. KLEIN: Die Verstärkerdrossel. Arch. Elektrotech. 53 (1939) S. 777.
- /2/ J. STEPHEN, DEP 149 762 vom 26. VIII. 1902.
- /3/ J. M. A. JULY, Frans. Patent EP. 418 909 vom 22. III. 1910 und Ind. electr. 14 (1911) S. 195.
- /4/ G. VALLAURI, PTZ 32 (1911) S. 988 und Electrician 68 (1912) S. 582.
- /5/ Arch. Elektrotech. 2 (1911) S. 343.
- /6/ L. BLASIG, DEP 272 746 vom 21. 8. 1913 und EP 40 (1919) S. 496; vergl. auch G. MUTHATH, Arch. techn. Messen, Blatt V 3212 (Dezember 1932).
- /7/ L. KOTTSIEPER, Arch. techn. messen, Blatt V 3216 bis 1 (August 1933).
- /8/ L. KHAMER, AET 58 (1937) S. 1309; 59 (1938) S. 1295 und Arch. techn. messen, Blatt V 3213 bis 3 (November 1939).

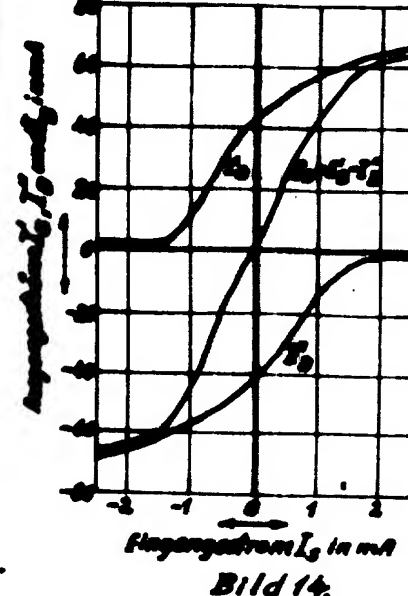
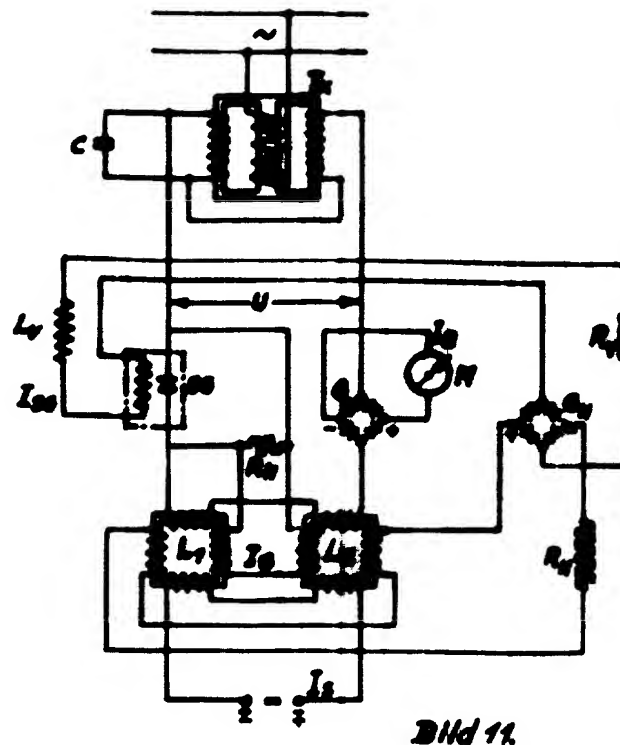
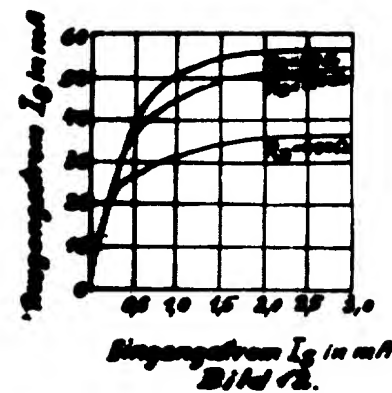
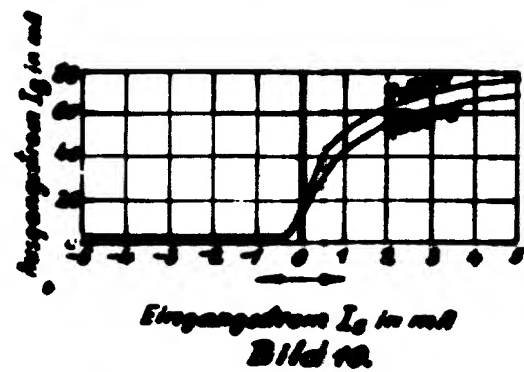
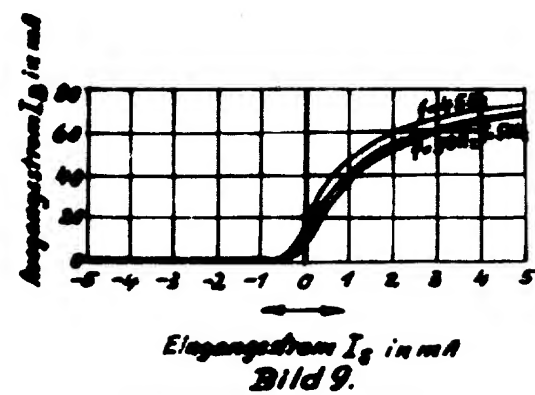
- 45 -

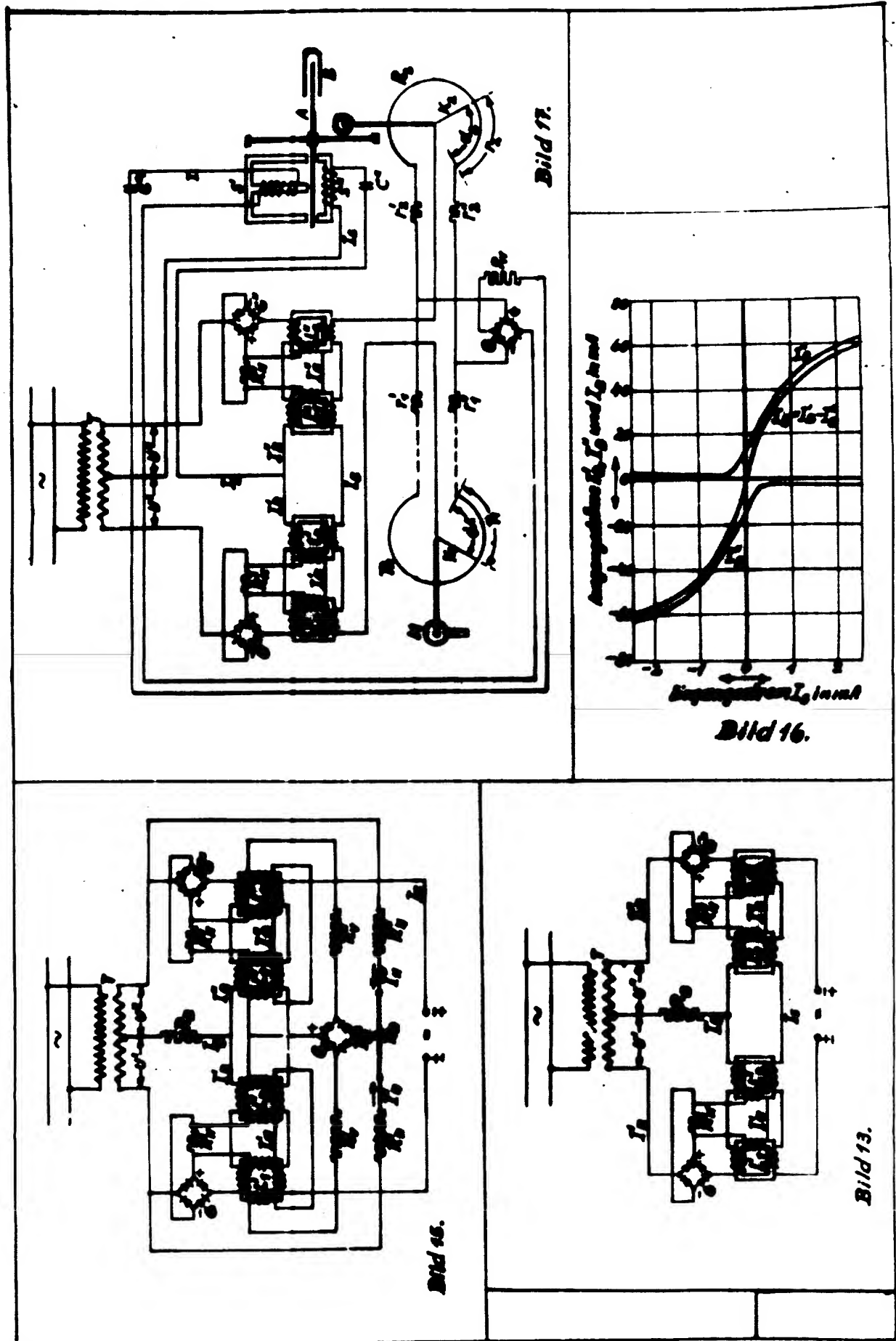
- /9/ H. RITZ, Arch. techn. Messen, Blatt V 3213 bis 2 (September 1930)
- /10/ E.P.W. ALEXANDERSON, USA. Patente Nr. 1206 643 vom 7.12.1912 und Nr. 1 328 610 vom 21.1.1916; vergl. auch DRP 305 162 vom 2.5.1917 und DRP 615 136 vom 28.1.1930. E.P.W. ALEXANDERSON und S.P. NEDOJKOV, Proc. Institute Radio Engrs., N.Y. 4 (1918) S. 101.
- /11/ L. KÜHN, ETZ 35 (1914) S. 515 und 76. trichtlose Telegr. 9 (1915) S. 502; vergl. auch A. PETER, Elektr. u. Chr.-Techn. 2 (1925) S. 96; A. KUHN, Hochfrequenz-Messtechnik, 2. Aufl., Verlag J. SPRINGER, Berlin 1928, S. 77.
- /12/ L. MANDALOTAM und N. PARLEKXI, DRP 496 vom 22.IX.1927; vergl. J. LEHMERT, Sensatoren und Kompassatoren. Band 1, Voelkig R. GLASSMANN, München und Berlin 1935, S. 238.
- /13/ Ph. THOMAS, USA-Patent Nr. 1 730 254 vom 3. V. 1928; vergl. auch DRP 678 473 vom 23.V.1929.
- /14/ W. STEINBACH und O. SCHMITZ, Siemens-Z. 15 (1935) S. 20L.
- /15/ A.S. Fitzgerald, Electr. Eng. N.Y. 107 (1937) S. 1592 und Electronics N.Y. 10 (1937) S. 28; Referat in ETZ 59 (1938) S. 1221. Vergl. auch DRP. 650 553 vom 1.7.1933 (Priorität Grossbritannien vom 1.VII. und 3.IX. 1932 und 3.XII. 1932) und FRANZ. Patent Nr. 796 673 vom 23.7.1933 (Priorität V.S. Amerika vom 23.VII. 1934).
- /16/ G. LEIMATH, Messung von Gleichströmen durch Vormagnetisierung von Wechselstrom-Drosseln. Arch. techn. Messen, Blatt V 3210 bis 1 (März 1935); vergl. auch: DRP 386 332 vom 1.II.22
- /17/ P.H. DOWLING, USA-Patent Nr. 1 739 579 vom 20.VI. 1928; O. SCHMITZ, DRP 657 679 vom 28.VIII. 1932; E.T. BURKE, USA-Patent Nr. 2.164 383 vom 29.III.1934; FRANZ.-Patent Nr. 831 459 vom 30.XII.1937 (Priorität USA vom 2.1.1937); SCHWEIZ.-Patent Nr. 200 465 vom 2.VI. 1937 (Priorität Schweiz, 10.III.1936); BRIT.-Patent Nr. 499 960 vom 15.VI. 1937 (Priorität Schweiz, 10.VII.1936); FRANZ.-Patent Nr. 802 672 vom 18.II.1938.
- /18/ Vergl. G. HAUPPE, ETZ 58 (1937) S. 938.
- /19/ Vergl. G. HAUPPE, ETZ 58 (1937) S. 939.
- /20/ Vergl. S. GEYER, Selbsttätige Strom- und Spannungsregler, Beschreibung, Eigenschaften und Perschritte der elektromagnetischen Verfahren. Arch. techn. Messen, Blatt J 062-7 (November 1937), J 062-8 (Dezember 1934), J 062-15 (Februar 1937), und Elektromagnetische Spannungs-Gleichhalter für Messzwecke. Siemens-Z. 15 (1935) H. 4.64.

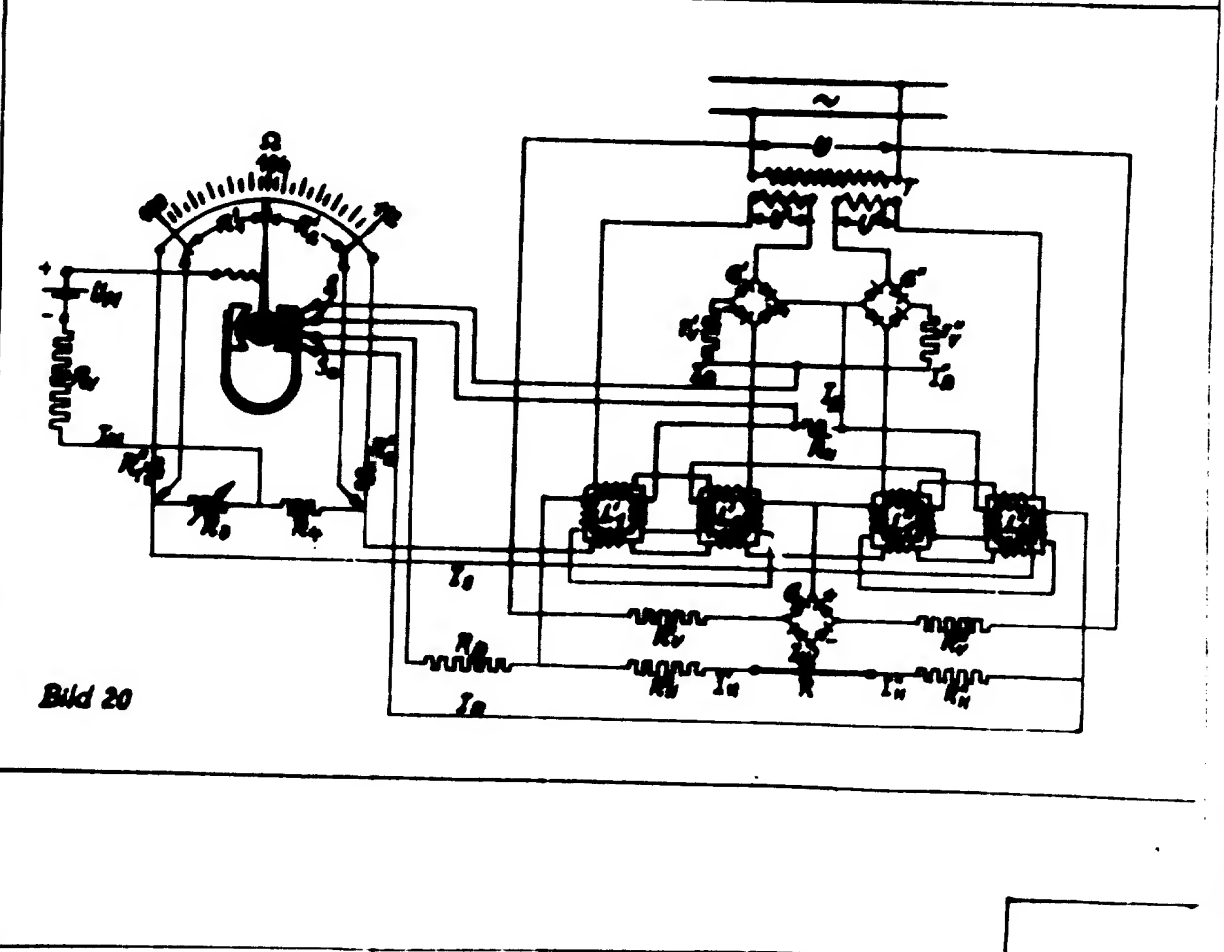
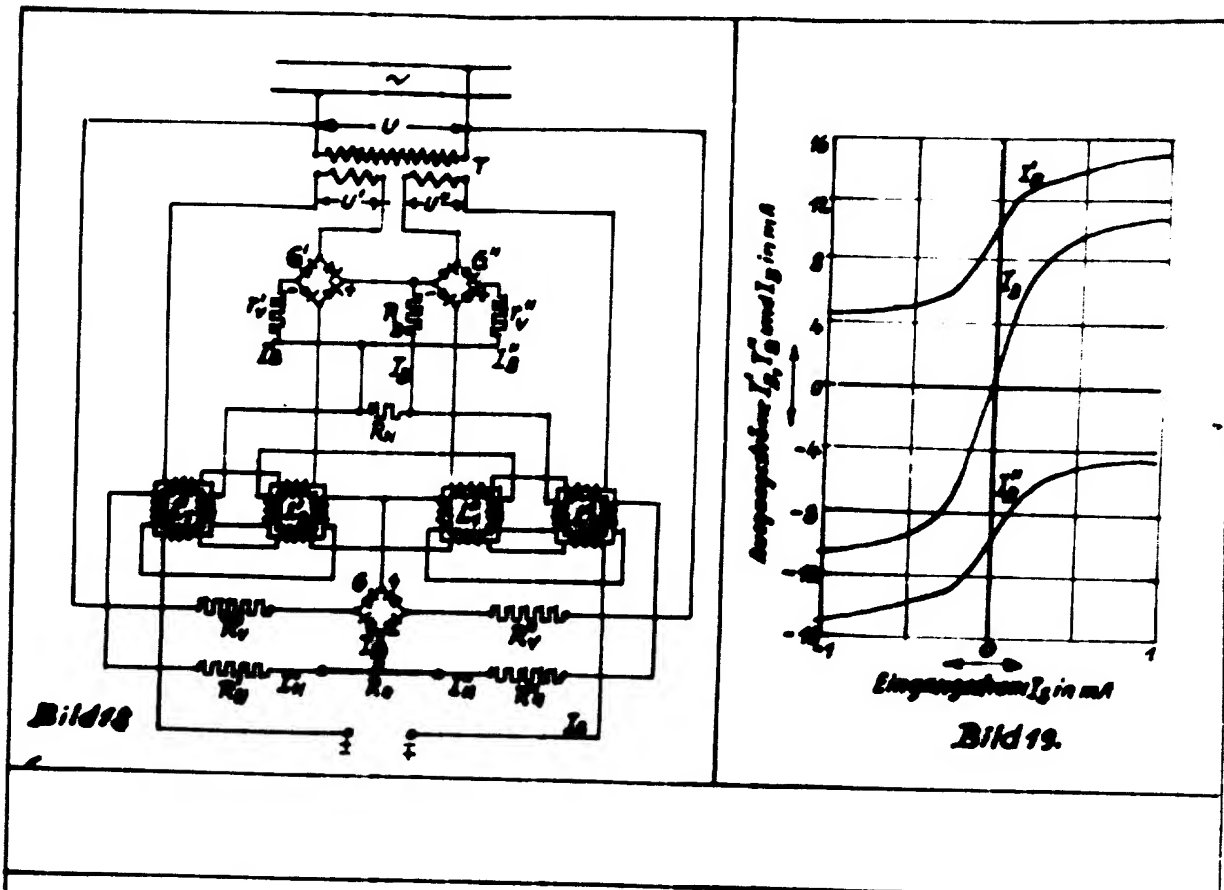
- 46 -

- ✓21/ Vergl. H. PFANN MÜLLER, mechanische Gleichrichter für Messzwecke, Arch. techn. messen, Blatt Z 540 - 1 (Februar 1932).
- ✓22/ Vergl. z.B. GEYGER, Gleichstrom-Kompensatoren mit selbsttätiger Abgleichung, Arch. techn. messen, Blatt J 932 - 1 (März 1936) und J 932 - 2 (Mai 1936); F. SICHI R., Kompensationsgeräte mit selbsttätiger Abgleichung, Arch. techn. messen Blatt J 634 - 1 (Dezember 1936) und J 634 - 1 (Juni 1937).
- ✓23/ Vergl. z.B. GEYGER, Selbsttätige Abgleichung von komplexen Kompensation- und Brückenschaltungen mit phasenabhängigen Nullmotoren, Arch. elektrotechn. 29 (1935) S. 842. - Ein neuer Kompensations-Schreibapparat für Gleichstrommessungen, Arch. Elektrotechn. 29 (1935) S. 850. - Ein einfacher Kompensator - Schnellschreiber für Gleichstrom-Messurwen, Diss. Veröff. Siemens-Werk IV (1936) S. 109.
- ✓24/ Vergl. L. HERZ, Theorie der selbstkompenzierenden Gleichstrom-Vorstärker mit direkt wirkender mechanischer Steuerung, Arch. elektrotechn. 31 (1937) S. 1.
- ✓25/ Vergl. L. MEINZ, u.H. WIEPPL, Messung kleiner Ströme und Spannungen und kleiner Längenänderungen mit dem holometrischen Kompensator, Diss. Veröff. Siemens-Werk XVIII/2 (1939) S. 23.
- ✓26/ Vergl. H. HANNEHALL, Elektrische Messgleichrichter, Arch. techn. messen, Blatt Z 50 - 1 (Mai 1937). - Kupferoxydal-Gleichrichter für Messzwecke, Arch.techn. messen Blatt Z 52 - 2 (September 1937).
- ✓27/ Vergl. z.B. GEYGER, Gleichstrom-Kompensatoren mit selbsttätiger Abgleichung, Strommesser-Verfahren, Arch.techn. messen Blatt J 932 - 2 (Mai 1936).
- ✓28/ Vergl. z.B. H. SEELI, Bolometer-Vorstärker, Arch. techn. messen Blatt Z 64 - 1 (August 1934); L. MERZ, Bolometer-Vorstärker, Neuerungen, Arch. techn. messen, Blatt Z 64-2 (Februar 1937); L. MERZ, Licht-elektrische Gleichstrom-Vorstärker, Arch. techn. messen, Blatt Z 64 - 3 (Dez. 1937); L. BRANDENBURGER, Gleichstrom-Vorstärker mit durch Hochfrequenz gesteuertem Kegelorgan, Arch. techn. messen Blatt Z 634 - 3 (November 1936); J. GEYGER, VFA-Wachberichte 10 (1938) S. 111 bis 113, L. BRANDENBURGER, SCHMID, Siemens-Z. 20 (1940) S. 93.
- ✓29/ Vergl. GEYGER, Gleichstrom-Kompensatoren mit selbsttätiger Abgleichung, Schleifdraht-Verfahren, Arch.techn. messen Blatt J 932 - 1 (März 1936).
- ✓30/ Vergl. z.B. GEYGER, Fernübertragung von Messwerten mit Leiterstands-Übern, Kompensationsverfahren, Arch. techn. messen, Blatt V 3821 - 3 (Februar 1936).









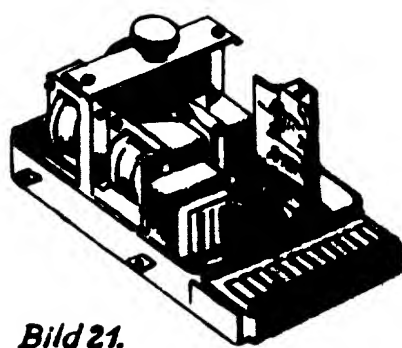


Bild 21.

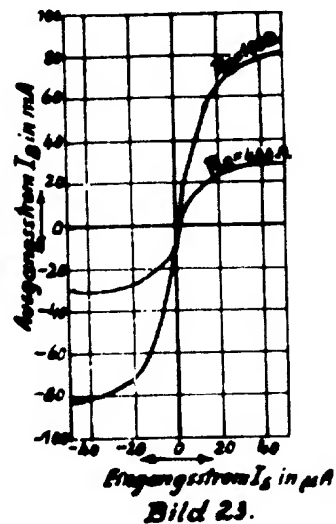
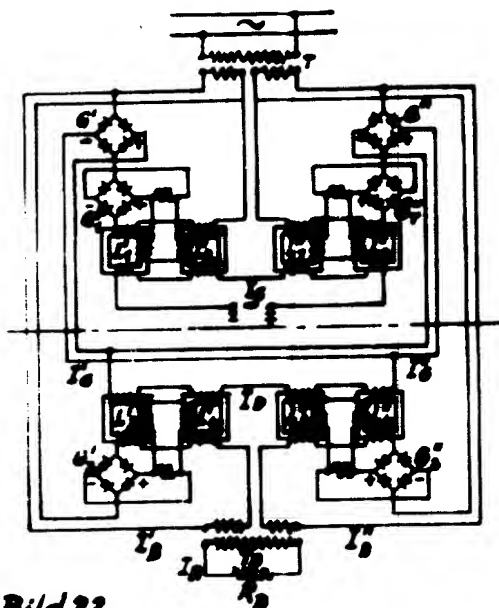


Bild 23.



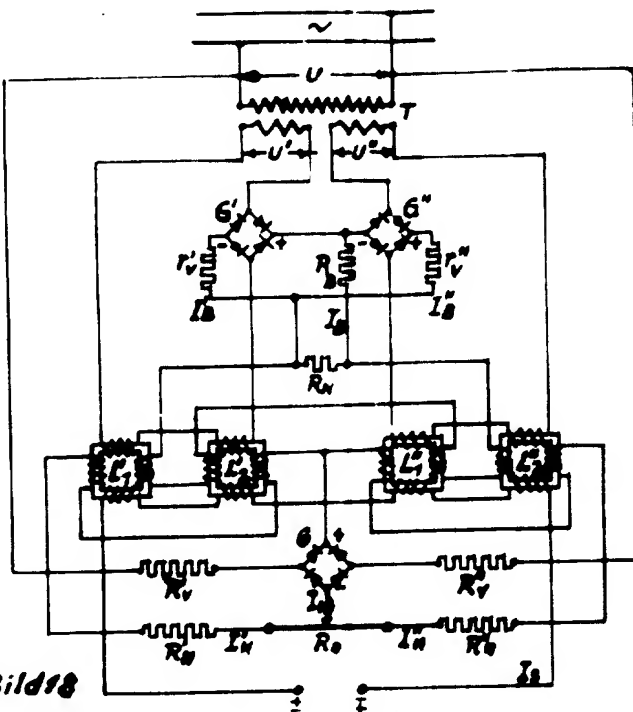
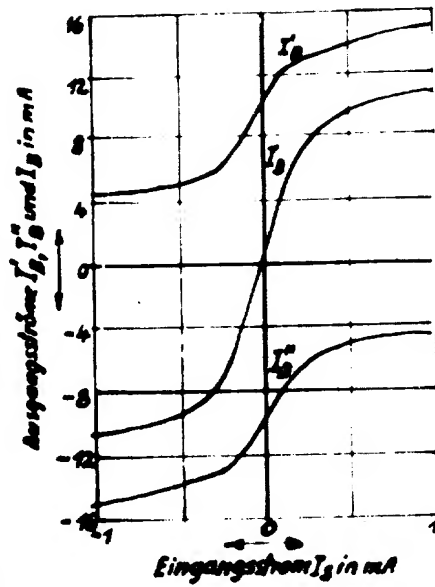


Bild 18



Eingangstrom  $I_B$  in mA

Bild 19.

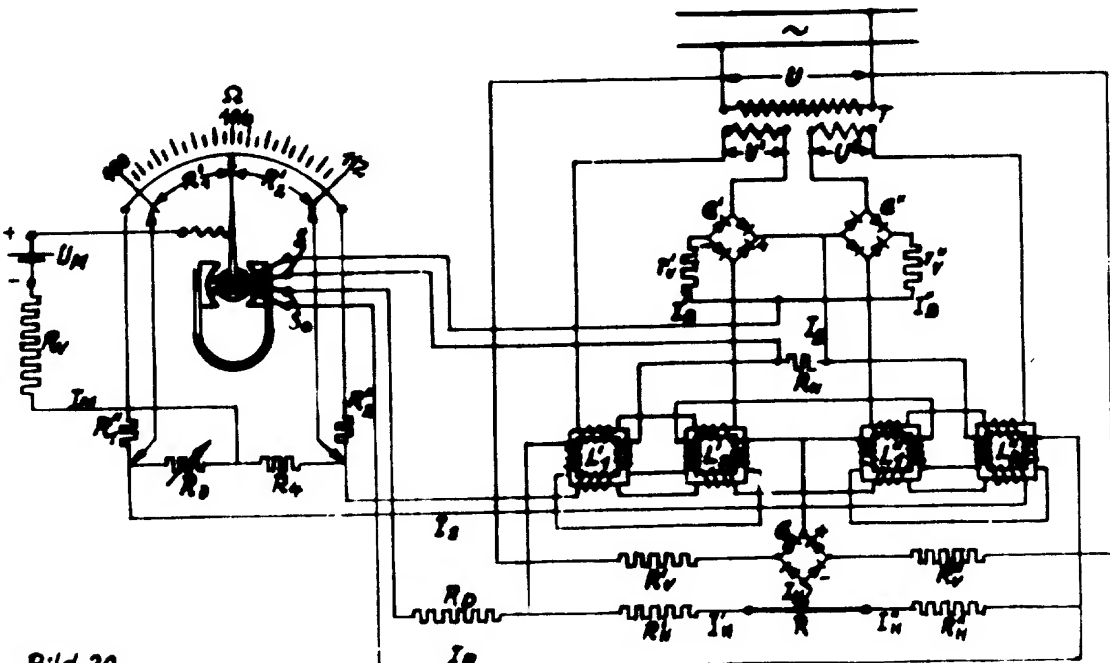


Bild 20

Figure 1

Rev. 7

19 ————— 11 ————— 25

7

24

|   |     |         |          |      |
|---|-----|---------|----------|------|
| L | 1+2 | 5001166 | 0.6° Col | 1.22 |
| E | 4+5 | 2000+   | 92° +    | 100+ |
| D | 5+3 | 15+     | 62° +    | 78+  |
| E | 3+6 | 15+     | 92° -    | 138+ |
| E | 6+7 | 2000+   | 66° +    | 100+ |

Trotter

1

卷之二

331 ab.

|   |      |         |      |       |             |
|---|------|---------|------|-------|-------------|
| I | 84.2 | country | 6.37 | 39.50 | apple tree  |
| E | 24.3 | 600 "   | 1.00 | 42.00 | "           |
| E | 94.5 | 605 "   | 4.37 | 35.00 | peach tree  |
| E | 34.6 | 600 "   | 1.00 | 26.00 | "           |
| E | 24.8 | 75. "   | 1.00 | 44.00 | orange tree |
| E | 84.3 | 600 "   | 1.00 | 39.50 | "           |

TANZ

1884-5

1

3

|   | 5-6 | occ wdg. | 4-6 | 5-6 | occ wdg. |            |
|---|-----|----------|-----|-----|----------|------------|
| E | 1-2 | 1400     | "   | 6-7 | 258-     | 1000/10000 |
| G | 2-4 | 1400     | "   | 6-7 | 265-     | 3000/10000 |

L 546. 500 kg 21° 142 4114/500 kg  
L 142. 40 - 23° 92 4114/500 kg  
L 142. 200. 11 42 0 500/500 kg

Trans. 5

100

*E* 9-46 4000 10000 4000 5000  
*A* 1-48 700 " 4000 600  
*S* 1-47 700 " 5000 6500

| Zeichnungs-Nr. | Werkstoff | Fertigstellung | Vorarbeiten | Werkzeuge     | Zeichnungs-Nr. | Fertigstellung |
|----------------|-----------|----------------|-------------|---------------|----------------|----------------|
|                |           |                |             |               |                |                |
| 100            | Basis     | Stahl          | Metall      | Zeichnung-Nr. |                |                |
| 101            | Gruppe    |                |             |               |                |                |
| 102            | Gruppe    |                |             |               |                |                |
| 103            | Gruppe    |                |             |               |                |                |
| 104            | Gruppe    |                |             |               |                |                |
| 105            | Gruppe    |                |             |               |                |                |
| 106            | Gruppe    |                |             |               |                |                |
| 107            | Gruppe    |                |             |               |                |                |
| 108            | Gruppe    |                |             |               |                |                |
| 109            | Gruppe    |                |             |               |                |                |
| 110            | Gruppe    |                |             |               |                |                |
| 111            | Gruppe    |                |             |               |                |                |
| 112            | Gruppe    |                |             |               |                |                |
| 113            | Gruppe    |                |             |               |                |                |
| 114            | Gruppe    |                |             |               |                |                |
| 115            | Gruppe    |                |             |               |                |                |
| 116            | Gruppe    |                |             |               |                |                |
| 117            | Gruppe    |                |             |               |                |                |
| 118            | Gruppe    |                |             |               |                |                |
| 119            | Gruppe    |                |             |               |                |                |
| 120            | Gruppe    |                |             |               |                |                |
| 121            | Gruppe    |                |             |               |                |                |
| 122            | Gruppe    |                |             |               |                |                |
| 123            | Gruppe    |                |             |               |                |                |
| 124            | Gruppe    |                |             |               |                |                |
| 125            | Gruppe    |                |             |               |                |                |
| 126            | Gruppe    |                |             |               |                |                |
| 127            | Gruppe    |                |             |               |                |                |
| 128            | Gruppe    |                |             |               |                |                |
| 129            | Gruppe    |                |             |               |                |                |
| 130            | Gruppe    |                |             |               |                |                |
| 131            | Gruppe    |                |             |               |                |                |
| 132            | Gruppe    |                |             |               |                |                |
| 133            | Gruppe    |                |             |               |                |                |
| 134            | Gruppe    |                |             |               |                |                |
| 135            | Gruppe    |                |             |               |                |                |
| 136            | Gruppe    |                |             |               |                |                |
| 137            | Gruppe    |                |             |               |                |                |
| 138            | Gruppe    |                |             |               |                |                |
| 139            | Gruppe    |                |             |               |                |                |
| 140            | Gruppe    |                |             |               |                |                |
| 141            | Gruppe    |                |             |               |                |                |
| 142            | Gruppe    |                |             |               |                |                |
| 143            | Gruppe    |                |             |               |                |                |
| 144            | Gruppe    |                |             |               |                |                |
| 145            | Gruppe    |                |             |               |                |                |
| 146            | Gruppe    |                |             |               |                |                |
| 147            | Gruppe    |                |             |               |                |                |
| 148            | Gruppe    |                |             |               |                |                |
| 149            | Gruppe    |                |             |               |                |                |
| 150            | Gruppe    |                |             |               |                |                |
| 151            | Gruppe    |                |             |               |                |                |
| 152            | Gruppe    |                |             |               |                |                |
| 153            | Gruppe    |                |             |               |                |                |
| 154            | Gruppe    |                |             |               |                |                |
| 155            | Gruppe    |                |             |               |                |                |
| 156            | Gruppe    |                |             |               |                |                |
| 157            | Gruppe    |                |             |               |                |                |
| 158            | Gruppe    |                |             |               |                |                |
| 159            | Gruppe    |                |             |               |                |                |
| 160            | Gruppe    |                |             |               |                |                |
| 161            | Gruppe    |                |             |               |                |                |
| 162            | Gruppe    |                |             |               |                |                |
| 163            | Gruppe    |                |             |               |                |                |
| 164            | Gruppe    |                |             |               |                |                |
| 165            | Gruppe    |                |             |               |                |                |
| 166            | Gruppe    |                |             |               |                |                |
| 167            | Gruppe    |                |             |               |                |                |
| 168            | Gruppe    |                |             |               |                |                |
| 169            | Gruppe    |                |             |               |                |                |
| 170            | Gruppe    |                |             |               |                |                |
| 171            | Gruppe    |                |             |               |                |                |
| 172            | Gruppe    |                |             |               |                |                |
| 173            | Gruppe    |                |             |               |                |                |
| 174            | Gruppe    |                |             |               |                |                |
| 175            | Gruppe    |                |             |               |                |                |
| 176            | Gruppe    |                |             |               |                |                |
| 177            | Gruppe    |                |             |               |                |                |
| 178            | Gruppe    |                |             |               |                |                |
| 179            | Gruppe    |                |             |               |                |                |
| 180            | Gruppe    |                |             |               |                |                |
| 181            | Gruppe    |                |             |               |                |                |
| 182            | Gruppe    |                |             |               |                |                |
| 183            | Gruppe    |                |             |               |                |                |
| 184            | Gruppe    |                |             |               |                |                |
| 185            | Gruppe    |                |             |               |                |                |
| 186            | Gruppe    |                |             |               |                |                |
| 187            | Gruppe    |                |             |               |                |                |
| 188            | Gruppe    |                |             |               |                |                |
| 189            | Gruppe    |                |             |               |                |                |
| 190            | Gruppe    |                |             |               |                |                |
| 191            | Gruppe    |                |             |               |                |                |
| 192            | Gruppe    |                |             |               |                |                |
| 193            | Gruppe    |                |             |               |                |                |
| 194            | Gruppe    |                |             |               |                |                |
| 195            | Gruppe    |                |             |               |                |                |
| 196            | Gruppe    |                |             |               |                |                |
| 197            | Gruppe    |                |             |               |                |                |
| 198            | Gruppe    |                |             |               |                |                |
| 199            | Gruppe    |                |             |               |                |                |
| 200            | Gruppe    |                |             |               |                |                |
| 201            | Gruppe    |                |             |               |                |                |
| 202            | Gruppe    |                |             |               |                |                |
| 203            | Gruppe    |                |             |               |                |                |
| 204            | Gruppe    |                |             |               |                |                |
| 205            | Gruppe    |                |             |               |                |                |
| 206            | Gruppe    |                |             |               |                |                |
| 207            | Gruppe    |                |             |               |                |                |
| 208            | Gruppe    |                |             |               |                |                |
| 209            | Gruppe    |                |             |               |                |                |
| 210            | Gruppe    |                |             |               |                |                |
| 211            | Gruppe    |                |             |               |                |                |
| 212            | Gruppe    |                |             |               |                |                |
| 213            | Gruppe    |                |             |               |                |                |
| 214            | Gruppe    |                |             |               |                |                |
| 215            | Gruppe    |                |             |               |                |                |
| 216            | Gruppe    |                |             |               |                |                |
| 217            | Gruppe    |                |             |               |                |                |
| 218            | Gruppe    |                |             |               |                |                |
| 219            | Gruppe    |                |             |               |                |                |
| 220            | Gruppe    |                |             |               |                |                |
| 221            | Gruppe    |                |             |               |                |                |
| 222            | Gruppe    |                |             |               |                |                |
| 223            | Gruppe    |                |             |               |                |                |
| 224            | Gruppe    |                |             |               |                |                |
| 225            | Gruppe    |                |             |               |                |                |
| 226            | Gruppe    |                |             |               |                |                |
| 227            | Gruppe    |                |             |               |                |                |
| 228            | Gruppe    |                |             |               |                |                |
| 229            | Gruppe    |                |             |               |                |                |
| 230            | Gruppe    |                |             |               |                |                |
| 231            | Gruppe    |                |             |               |                |                |
| 232            | Gruppe    |                |             |               |                |                |
| 233            | Gruppe    |                |             |               |                |                |
| 234            | Gruppe    |                |             |               |                |                |
| 235            | Gruppe    |                |             |               |                |                |
| 236            | Gruppe    |                |             |               |                |                |
| 237            | Gruppe    |                |             |               |                |                |
| 238            | Gruppe    |                |             |               |                |                |
| 239            | Gruppe    |                |             |               |                |                |
| 240            | Gruppe    |                |             |               |                |                |
| 241            | Gruppe    |                |             |               |                |                |
| 242            | Gruppe    |                |             |               |                |                |
| 243            | Gruppe    |                |             |               |                |                |
| 244            | Gruppe    |                |             |               |                |                |
| 245            | Gruppe    |                |             |               |                |                |
| 246            | Gruppe    |                |             |               |                |                |
| 247            | Gruppe    |                |             |               |                |                |
| 248            | Gruppe    |                |             |               |                |                |
| 249            | Gruppe    |                |             |               |                |                |
| 250            | Gruppe    |                |             |               |                |                |
| 251            | Gruppe    |                |             |               |                |                |
| 252            | Gruppe    |                |             |               |                |                |
| 253            | Gruppe    |                |             |               |                |                |
| 254            | Gruppe    |                |             |               |                |                |
| 255            | Gruppe    |                |             |               |                |                |
| 256            | Gruppe    |                |             |               |                |                |
| 257            | Gruppe    |                |             |               |                |                |
| 258            | Gruppe    |                |             |               |                |                |
| 259            | Gruppe    |                |             |               |                |                |
| 260            | Gruppe    |                |             |               |                |                |
| 261            | Gruppe    |                |             |               |                |                |
| 262            | Gruppe    |                |             |               |                |                |
| 263            | Gruppe    |                |             |               |                |                |
| 264            | Gruppe    |                |             |               |                |                |
| 265            | Gruppe    |                |             |               |                |                |
| 266            | Gruppe    |                |             |               |                |                |
| 267            | Gruppe    |                |             |               |                |                |
| 268            | Gruppe    |                |             |               |                |                |
| 269            | Gruppe    |                |             |               |                |                |
| 270            | Gruppe    |                |             |               |                |                |
| 271            | Gruppe    |                |             |               |                |                |
| 272            | Gruppe    |                |             |               |                |                |
| 273            | Gruppe    |                |             |               |                |                |
| 274            | Gruppe    |                |             |               |                |                |
| 275            | Gruppe    |                |             |               |                |                |
| 276            | Gruppe    |                |             |               |                |                |
| 277            | Gruppe    |                |             |               |                |                |
| 278            | Gruppe    |                |             |               |                |                |
| 279            | Gruppe    |                |             |               |                |                |
| 280            | Gruppe    |                |             |               |                |                |
| 281            | Gruppe    |                |             |               |                |                |
| 282            | Gruppe    |                |             |               |                |                |
| 283            | Gruppe    |                |             |               |                |                |
| 284            | Gruppe    |                |             |               |                |                |
| 285            | Gruppe    |                |             |               |                |                |
| 286            | Gruppe    |                |             |               |                |                |
| 287            | Gruppe    |                |             |               |                |                |
| 288            | Gruppe    |                |             |               |                |                |
| 289            | Gruppe    |                |             |               |                |                |
| 290            | Gruppe    |                |             |               |                |                |
| 291            | Gruppe    |                |             |               |                |                |
| 292            | Gruppe    |                |             |               |                |                |
| 293            | Gruppe    |                |             |               |                |                |
| 294            | Gruppe    |                |             |               |                |                |
| 295            | Gruppe    |                |             |               |                |                |
| 296            | Gruppe    |                |             |               |                |                |
| 297            | Gruppe    |                |             |               |                |                |
| 298            | Gruppe    |                |             |               |                |                |
| 299            | Gruppe    |                |             |               |                |                |
| 300            | Gruppe    |                |             |               |                |                |
| 301            | Gruppe    |                |             |               |                |                |
| 302            | Gruppe    |                |             |               |                |                |
| 303            | Gruppe    |                |             |               |                |                |
| 304            | Gruppe    |                |             |               |                |                |
| 305            | Gruppe    |                |             |               |                |                |
| 306            | Gruppe    |                |             |               |                |                |
| 307            | Gruppe    |                |             |               |                |                |
| 308            | Gruppe    |                |             |               |                |                |
| 309            | Gruppe    |                |             |               |                |                |
| 310            | Gruppe    |                |             |               |                |                |
| 311            | Gruppe    |                |             |               |                |                |
| 312            | Gruppe    |                |             |               |                |                |
| 313            | Gruppe    |                |             |               |                |                |
| 314            | Gruppe    |                |             |               |                |                |
| 315            | Gruppe    |                |             |               |                |                |
| 316            | Gruppe    |                |             |               |                |                |
| 317            | Gruppe    |                |             |               |                |                |
| 318            | Gruppe    |                |             |               |                |                |
| 319            | Gruppe    |                |             |               |                |                |
| 320            | Gruppe    |                |             |               |                |                |
| 321            | Gruppe    |                |             |               |                |                |
| 322            | Gruppe    |                |             |               |                |                |
| 323            | Gruppe    |                |             |               |                |                |
| 324            | Gruppe    |                |             |               |                |                |
| 325            | Gruppe    |                |             |               |                |                |
| 326            | Gruppe    |                |             |               |                |                |
| 327            | Gruppe    |                |             |               |                |                |
| 328            | Gruppe    |                |             |               |                |                |
| 329            | Gruppe    |                |             |               |                |                |
| 330            | Gruppe    |                |             |               |                |                |
| 331            | Gruppe    |                |             |               |                |                |
| 332            | Gruppe    |                |             |               |                |                |
| 333            | Gruppe    |                |             |               |                |                |
| 334            | Gruppe    |                |             |               |                |                |
| 335            | Gruppe    |                |             |               |                |                |
| 336            | Gruppe    |                |             |               |                |                |
| 337            | Gruppe    |                |             |               |                |                |
| 338            | Gruppe    |                |             |               |                |                |
| 339            | Gruppe    |                |             |               |                |                |
| 340            | Gruppe    |                |             |               |                |                |
| 341            | Gruppe    |                |             |               |                |                |
| 342            | Gruppe    |                |             |               |                |                |
| 343            | Gruppe    |                |             |               |                |                |
| 344            | Gruppe    |                |             |               |                |                |
| 345            | Gruppe    |                |             |               |                |                |
| 346            | Gruppe    |                |             |               |                |                |
| 347            | Gruppe    |                |             |               |                |                |
| 348            | Gruppe    |                |             |               |                |                |
| 349            | Gruppe    |                |             |               |                |                |
| 350            | Gruppe    |                |             |               |                |                |
| 351            | Gruppe    |                |             |               |                |                |
| 352            | Gruppe    |                |             |               |                |                |
| 353            | Gruppe    |                |             |               |                |                |
| 354            | Gruppe    |                |             |               |                |                |
| 355            | Gruppe    |                |             |               |                |                |
| 356            | Gruppe    |                |             |               |                |                |
| 357            | Gruppe    |                |             |               |                |                |
| 358            | Gruppe    |                |             |               |                |                |
| 359            | Gruppe    |                |             |               |                |                |
| 360            | Gruppe    |                |             |               |                |                |
| 361            | Gruppe    |                |             |               |                |                |
| 362            | Gruppe    |                |             |               |                |                |
| 363            | Gruppe    |                |             |               |                |                |
| 364            | Gruppe    |                |             |               |                |                |
| 365            | Gruppe    |                |             |               |                |                |
| 366            | Gruppe    |                |             |               |                |                |
| 367            | Gruppe    |                |             |               |                |                |
| 368            | Gruppe    |                |             |               |                |                |
| 369            | Gruppe    |                |             |               |                |                |
| 370            | Gruppe    |                |             |               |                |                |
| 371            | Gruppe    |                |             |               |                |                |
| 372            | Gruppe    |                |             |               |                |                |
| 373            | Gruppe    |                |             |               |                |                |
| 374            | Gruppe    |                |             |               |                |                |
| 375            | Gruppe    |                |             |               |                |                |
| 376            | Gruppe    |                |             |               |                |                |
| 377            | Gruppe    |                |             |               |                |                |
| 378            | Gruppe    |                |             |               |                |                |
| 379            | Gruppe    |                |             |               |                |                |
| 380            | Gruppe    |                |             |               |                |                |
| 381            | Gruppe    |                |             |               |                |                |
| 382            | Gruppe    |                |             |               |                |                |
| 383            | Gruppe    |                |             |               |                |                |
| 384            | Gruppe    |                |             |               |                |                |
| 385            | Gruppe    |                |             |               |                |                |
| 386            | Gruppe    |                |             |               |                |                |
| 387            | Gruppe    |                |             |               |                |                |
| 388            | Gruppe    |                |             |               |                |                |
| 389            | Gruppe    |                |             |               |                |                |
| 390            | Gruppe    |                |             |               |                |                |
| 391            | Gruppe    |                |             |               |                |                |
| 392            | Gruppe    |                |             |               |                |                |
| 393            | Gruppe    |                |             |               |                |                |
| 394            | Gruppe    |                |             |               |                |                |
| 395            | Gruppe    |                |             |               |                |                |
| 396            | Gruppe    |                |             |               |                |                |
| 397            | Gruppe    |                |             |               |                |                |
| 398            | Gruppe    |                |             |               |                |                |
| 399            | Gruppe    |                |             |               |                |                |
| 400            | Gruppe    |                |             |               |                |                |
| 401            | Gruppe    |                |             |               |                |                |
| 402            | Gruppe    |                |             |               |                |                |
| 403            | Gruppe</  |                |             |               |                |                |

Tunc. 2

A. C. 1.

197  
198  
199

I 5-26 = East Wdg 418 282 32  
I 4-4 1937 " 418 282 "  
I 3-1 1937 " 418 262 "

1

1

2200  
28 N.

| <i>E</i> | <i>T-1</i>  | <i>1788.0000</i> | <i>0.0000</i> | <i>37.00</i> |
|----------|-------------|------------------|---------------|--------------|
| <i>H</i> | <i>1788</i> | <i>0.00</i>      | <i>0.0000</i> | <i>0.00</i>  |
| <i>G</i> | <i>1788</i> | <i>0.00</i>      | <i>0.00</i>   | <i>0.00</i>  |

|  |                         | Formular-Nr.            | Werks-Nr. | Farbzeichnung  |
|--|-------------------------|-------------------------|-----------|----------------|
|  |                         | 194 - Design Name       | Modell    | Zeichnungs-Nr. |
|  |                         | Basis                   |           |                |
|  |                         | Geprägt                 |           |                |
|  |                         | Marke geprägt           |           |                |
|  |                         | Ersetzt für             |           |                |
| Prod.:   | Ab. Ausg. Ent. Art. Nr. | Datum                   | Name      |                |
| Nummer   | Zeichen                 |                         |           |                |
| Nicht bearbeitet<br>Möglich nach   |                         | Registrierung<br>Angabe | Bemerkung |                |
| Fertig 12/05<br>Revis. 3/05  |                         |                         |           |                |
| <p><i>Trafo 1</i><br/>Röhre 7</p> <p>I</p> <p>E 1+2 500/1000 0,6°Cd 8,750<br/>E 4+5 2080 " 0,27 " 800 "<br/>H. 6+3 85 " 4,2 " 73 "<br/>H. 3+6 95 " 4,2 " 133 "<br/>E 6+7 2080 " 0,6 " 270 "</p> <p><i>Trafo 2</i><br/>Röhre 7 Schleifer 3510h</p> <p>I</p> <p>E 1+2 600/1000 0,3 " 3510 " 3510 " 3510 " 3510 "</p> <p>E 2+3 600 " 0,3 " 42 " 42 " 42 " 42 "</p> <p>E 4+5 600 " 0,3 " 26 " 26 " 26 " 26 "</p> <p>E 5+6 500 " 0,3 " 53 " 53 " 53 " 53 "</p> <p>E 6+7 2080 " 0,6 " 100 " 100 " 100 " 100 "</p> <p><i>Trafo 3</i></p> <p>I</p> <p>E 5+6 400/1000 0,1 " 55 " 110 " 100 " 100 "</p> <p>E 1+2 1400 " 0,1 " 230 " 140 " 140 " 140 "</p> <p>H. 2+4 140 " 0,1 " 265 " 900 " 900 " 900 "</p> <p><i>Trafo 4</i><br/>Röhre 1</p> <p>I</p> <p>E 5+6 400/1000 0,2 " 140 " 150 " 150 " 150 "</p> <p>E 1+2 40 " 0,3 " 90 " 90 " 90 " 90 "</p> <p>H. 2+4 200 " 0,2 " 8 " 55 " 55 " 55 "</p> <p><i>Trafo 5</i></p> <p>I</p> <p>E 5+6 400/1000 0,1 " 55 " 110 " 100 " 100 "</p> <p>E 1+2 100 " 0,2 " 62 " 62 " 62 "</p> <p>H. 2+4 100 " 0,2 " 65 " 65 " 65 "</p> <p>500/1000</p> |                         |                         |           |                |

184. 2

四百一

50  
2000  
1000  
500

I 5:6 1936 Wdg 27° 48' S

三

四

2261  
38 H.  
21

1. *For a* *right wing* *left*  
2. *to* *the* *left*  
3. *to* *the* *right*

| Fab.<br>nr.                    | Ab-<br>miete | Ausg.<br>Bd-Nr., Datum | Name | Fertiggestellt         | Ausgabe | Reparatur  |
|--------------------------------|--------------|------------------------|------|------------------------|---------|------------|
|                                |              |                        |      | 1948                   | Datum   | Name       |
|                                |              |                        |      | Geprüft                |         |            |
|                                |              |                        |      | Geprägt                |         |            |
|                                |              |                        |      | Norm<br>gepräft        |         |            |
|                                |              |                        |      |                        |         | Ersatz für |
|                                |              |                        |      |                        |         | Benennung  |
| Nicht tolerierte<br>Möbe nach: |              |                        |      | Registrier-<br>Eingang |         |            |
| Ersterneige<br>Verwendung:     |              |                        |      |                        |         |            |

Approved For Release 2001/12/05 : CIA-RDP83-00415R005300090003-0

25X1A

Approved For Release 2001/12/05 : CIA-RDP83-00415R005300090003-0